

Р А Д И О С Т А Н Ц И Я Р-143

ТЕХНИЧЕСКОЕ ОПИСАНИЕ

42-000-772-00
/ЯГ1.201.034 ТО/

Выпуск 01

199... г.

С О Д Е Р Ж А Н И Е

| | |
|---|----|
| 1. ВВЕДЕНИЕ | 5 |
| 2. НАЗНАЧЕНИЕ И ТЕХНИЧЕСКИЕ ДАННЫЕ РАДИОСТАНЦИИ | 7 |
| 3. СОСТАВ РАДИОСТАНЦИИ | 9 |
| 4. УСТРОЙСТВО И РАБОТА РАДИОСТАНЦИИ | 11 |
| 4.1. Устройство радиостанции | 11 |
| 4.2. Работа радиостанции | 11 |
| 4.3. Синтезатор частот. Функциональная схема | 19 |
| 5. УСТРОЙСТВО И РАБОТА СОСТАВНЫХ ЧАСТЕЙ РАДИОСТАНЦИИ | 21 |
| 5.1. Приемопередатчик | 21 |
| 5.2. Микротелефон | 51 |
| 5.3. Дополнительная аккумуляторная батарея | 52 |
| 5.4. Антеннное имущество | 53 |
| 5.5. Телеграфный ключ | 53 |
| 6. ИНСТРУМЕНТ И ПРИНАДЛЕЖНОСТИ | 54 |
| 7. МАРКИРОВАНИЕ И ПЛОМБИРОВАНИЕ | 54 |
| 8. ТАРА И УПАКОВКА | 54 |
| Приложение 1. Схема электрическая функциональная приемо- передатчика | 57 |
| Приложение 2. Схема электрическая функциональная СЧ | 58 |
| Приложение 3. Схема электрическая принципиальная приемо- передатчика | 59 |
| Приложение 4. Перечень элементов приемопередатчика | 60 |
| Приложение 5. Электромонтажный чертеж приемопередатчика | 63 |
| Приложение 6. Схема электрическая принципиальная Прм | 64 |
| Приложение 7. Перечень элементов Прм | 65 |
| Приложение 8. Сборочный чертеж платы Прм | 71 |
| Приложение 9. Схема электрическая принципиальная блока ЧТ | 72 |
| Приложение 10. Перечень элементов блока ЧТ | 73 |
| Приложение 11. Сборочный чертеж платы блока ЧТ | 74 |
| Приложение 12. Схема электрическая принципиальная ФУ | 75 |
| Приложение 13. Перечень элементов ФУ | 76 |
| Приложение 14. Сборочный чертеж платы ФУ | 81 |
| Приложение 15. Схема электрическая принципиальная УМ | 82 |
| Приложение 16. Перечень элементов УМ | 83 |
| Приложение 17. Сборочный чертеж платы УМ | 87 |
| 42-000-772-00 | 3 |

| | |
|--|-----|
| Приложение 18. Электромонтажный чертеж УМ | 88 |
| Приложение 19. Схема электрическая принципиальная БСН | 89 |
| Приложение 20. Перечень элементов БСН | 90 |
| Приложение 21. Электромонтажный чертеж БСН | 92 |
| Приложение 22. Схема электрическая принципиальная СЧ | 93 |
| Приложение 23. Перечень элементов СЧ | 94 |
| Приложение 24. Схема электрическая принципиальная ГУН | 95 |
| Приложение 25. Перечень элементов ГУН | 96 |
| Приложение 26. Сборочный чертеж платы ГУН | 97 |
| Приложение 27. Схема электрическая принципиальная ДФКД | 98 |
| Приложение 28. Перечень элементов ДФКД | 99 |
| Приложение 29. Сборочный чертеж платы ДФКД | 101 |
| Приложение 30. Схема электрическая принципиальная ДПКД | 102 |
| Приложение 31. Перечень элементов ДПКД | 103 |
| Приложение 32. Сборочный чертеж платы ДПКД | 104 |
| Приложение 33. Схема электрическая принципиальная платы БС | 105 |
| Приложение 34. Перечень элементов платы БС | 106 |
| Приложение 35. Сборочный чертеж платы БС | 107 |
| Приложение 36. Схема электрическая принципиальная БОЧ | 108 |
| Приложение 37. Перечень элементов БОЧ | 109 |
| Приложение 38. Сборочный чертеж платы БОЧ | 110 |
| Приложение 39. Схема электрическая принципиальная платы УМЧ | 111 |
| Приложение 40. Перечень элементов УМЧ | 112 |
| Приложение 41. Сборочный чертеж платы УМЧ | 113 |
| Приложение 42. Схема электрическая принципиальная МТ | 114 |
| Приложение 43. Перечень элементов МТ | 115 |
| Приложение 44. Сборочный чертеж платы МТ | 115 |
| Приложение 45. Антенна "Симметричный вибратор" | 116 |
| Приложение 46. Цоколевка -реле | 118 |
| Приложение 47. Цоколевка полупроводниковых приборов и микросхем | 119 |

1. ВВЕДЕНИЕ

Техническое описание предназначено для изучения радиостанции Р-143 и содержит:

технические характеристики и необходимые сведения об устройстве и принципе работы радиостанции;

описание электрической принципиальной схемы радиостанции;
описание конструкции радиостанции.

В техническом описании приняты следующие сокращения:

АРУ - автоматическая регулировка усиления;

АТ - амплитудное телеграфирование;

АЧХ - амплитудно-частотная характеристика;

БД - быстродействие;

БК - балансирующий каскад;

БМ - балансный модулятор;

БОЧ - блок опорных частот;

БС - блок согласующий;

БСН - блок согласования и настройки;

ВЧ - высокая частота;

Ген.АТ - генератор амплитудного телеграфирования;

Г'кв - кварцевый генератор;

ГУН - генератор, управляемый напряжением;

ГЧТ - генератор частотного телеграфирования;

ДМ - демодулятор;

ДН - датчик напряжения;

ДПКД - делитель частоты с переменным коэффициентом деления;

ДТ - датчик тока;

ДТ[°] - датчик температуры;

ДТАРУ - детектор АРУ;

ДЧ - делитель частоты;

ДФКД - делитель частоты с фиксированным коэффициентом деления;

ЗИП - запасное имущество и приспособления;

Кл - электронный ключ;

Ключ ТЛГ - телеграфный ключ;

КФ - кварцевый фильтр;

МТ - микротелефон;

2. НАЗНАЧЕНИЕ И ТЕХНИЧЕСКИЕ ДАННЫЕ РАДИОСТАНЦИИ

Радиостанция Р-143 предназначена для ведения связи в коротковолновом диапазоне частот. Стабильность частоты и режимы работы радиостанции позволяют вести беспоисковую связь с однотипными радиостанциями, а также с радиостанциями типа Р-129, Р-130М, Р-140 и Р-134.

Радиостанция Р-143 обеспечивает следующие виды работ:

прием и передачу телефонных сигналов при однополосной модуляции на верхней боковой полосе частот;

прием и передачу телеграфных сигналов при частотном телеграфировании со сдвигом частоты ± 250 Гц от номинальной частоты;

прием и передачу телеграфных сигналов с амплитудной манипуляцией;

прием и передачу тонального вызова с частотой 1000^{+500}_{-200} Гц в режиме ОМ;

работу на передачу в режиме ЧТ с аппаратурой Р-014, подключенной к розетке БД.

Радиостанция имеет 18500 фиксированных частот через 1 кГц в диапазоне 1,5-19,999 МГц.

Источником питания радиостанции Р-143 являются две аккумуляторные батареи типа 10НКБН-3,5 с номинальным напряжением 12,5 В каждая или дополнительная аккумуляторная батарея, состоящая из 10 аккумуляторов типа 2НКП-24М.

Радиостанция работает со следующими типами антенн: "Штырь-2м", "Штырь-4м" и "Симметричный вибратор".

Радиостанция работоспособна в интервале температур от минус 50°C до плюс 50°C и относительной влажности воздуха до 98% при температуре 40°C .

Масса комплекта радиостанции в укладочном ящике не превышает 85 кг.

Основные тактико-технические данные радиостанции при номинальном напряжении питания и при нормальных климатических условиях приведены в табл. 1.

Таблица 1.

| Наименование параметра | Величина параметра |
|--|-------------------------|
| 1. Диапазон частот, МГц | 1,5-19,999 |
| 2. Шаг перестройки, кГц | 1 |
| 3. Относительная нестабильность частоты радиостанции в режиме АТ, не более | $\pm 3,0 \cdot 10^{-6}$ |
| 4. Сдвиг частоты в режиме ЧТ, измеренный относительно частоты в режиме АТ, Гц, не более | $\pm 250 \pm 50 /$ |
| 5. Выходная мощность передатчика в режимах АТ, ЧТ или пиковая мощность в режиме ОМ, Вт, не менее: | |
| при 100% мощности: | |
| в диапазоне 1,5-4 МГц | 5 |
| в диапазоне 4-19,999 МГц | 8 |
| при 10% мощности: | |
| в диапазоне 1,5-19,999 МГц | 1-4 |
| 6. Подавление напряжения несущей частоты на выходе передатчика по отношению к напряжению частот верхней боковой полосы, дБ, не менее | 26 |
| 7. Подавление гармоник основного сигнала, дБ, не менее | 35 |
| 8. Подавление побочных комбинационных излучений передатчика, дБ, не менее | 30 |
| 9. Завал частотной характеристики телефонного канала Прм в диапазоне частот 350-3200 Гц, в сторону верхних частот, дБ | 13 ± 5 |
| 10. Чувствительность Прм в режимах ОМ, ЧТ, АТ при отношении сигнал/шум 20 дБ, мкВ, не хуже | 2 |
| 11. Избирательность Прм, дБ, не менее: | |
| а/ по соседнему каналу при расстройке на: | |
| ± 11 кГц | 60 |
| ± 30 кГц | 70 |
| $\pm 10\%$ от номинальной частоты | 85 |
| б/ по зеркальному каналу и по первой промежуточной частоте в диапазоне частот: | |
| 1,5-12 МГц | 80 |

| Наименование параметра | Величина параметра |
|---|--------------------|
| 12-16 МГц | 70 |
| 16-19,999 МГц | 60 |
| 12. Коэффициент гармоник Прм, %, не более | 5 |
| 13. Неравномерность частотной характеристики передатчика, дБ, не более | 6 |
| 14. Время непрерывной работы радиостанции в режиме АТ при питании от свежезаряженных аккумуляторов при соотношении времени приема и времени передачи 5:1, ч, в нормальных условиях, не менее: | |
| при 100% мощности | 10 |
| при 10% мощности | 15 |
| 15. Потребляемый ток* при номинальных напряжениях аккумуляторных батарей, А, не более: | |
| при приеме в режимах ОМ, АТ, Чт | 0,2 |
| при передаче по цели 25 В | 1,35 |
| по цели 12,5 В | 0,5 |
| 16. Эффективность АРУ при изменении выходного напряжения не более, чем в 2 раза, дБ | 80 |
| 17. Величина ослабления неиспользуемой нижней боковой частоты, дБ, не менее | 46 |
| 18. Коэффициент гармоник передатчика, %, не более | 10 |
| 19. Габариты радиостанции, мм | 105x310x350 |
| 20. Масса рабочего комплекта, кг, не более | 11 |

3. СОСТАВ РАДИОСТАНЦИИ

3.1. В комплект радиостанции Р-143 входят:

рабочий комплект радиостанции;
запасное и вспомогательное имущество.

3.2. Рабочий комплект радиостанции состоит из:

приемопередатчика с ремнями;
антенной упаковки в чехле с ремнями;

дополнительной аккумуляторной батареи с ремнями;
сумки радиоста;
сумки с аккумуляторными батареями;
сумки с документацией.

- 3.3. Состав отдельных частей рабочего комплекта следующий:
- приемопередатчик с ремнями, в нем:
 - две аккумуляторные батареи 10НКБН-3,5;
 - антенна упаковка в чехле с ремнями, в ней:
 - опорная мачта с оттяжками верхнего и нижнего яруса, основание мачты и колья для оттяжек;
 - антенна "Симметричный вибратор";
 - подставка антенны "Штырь-4 м";
 - кронштейн;
 - дополнительная аккумуляторная батарея с подушкой, с ремнями, в ней:
 - корпус батареи;
 - 10 аккумуляторов 2НКП-24М;
 - кабель;
 - сумка радиоста, в ней:
 - МТ;
 - ключ Тлг;
 - антенна "Штырь-2 м";
 - сумка с инструментом / нож, отвертка, приспособление для заливки электролита, ключ, ключ торцовый S5,5, ключ гайки контактной, ключ специальный/;
 - сумка с аккумуляторными батареями, в ней:
 - четыре батареи аккумуляторные 10НКБН-3,5.

3.4. Запасное и вспомогательное имущество помещается в ящике ЗИП.

3.5. Для транспортировки рабочий комплект радиостанции, запасное и вспомогательное имущество помещают в укладочный ящик, разделенный на отсеки.

4. УСТРОЙСТВО И РАБОТА РАДИОСТАНЦИИ

4.1. Устройство радиостанции

4.1.1. Основной составной частью радиостанции является приемопередатчик /приложения 3, 5/, к которому придается антенное имущество, источник питания, инструмент и принадлежности /ЗИП/, документация.

Весь комплект радиостанции, кроме укладочного ящика и приспособления для крепления в автомобиле, приспособлен для переноски с помощью ремней.

Конструкция приемопередатчика блочная. Монтаж блоков выполнен на печатных платах, кроме блока согласования и настройки.

Контуры, полосовые фильтры, ФНЧ, блок ЧТ, чувствительные к воздействию влаги, герметичны.

Корпус аккумуляторного отсека используется в качестве радиатора для мощных транзисторов усилителя мощности. Для обеспечения ремонтоспособности ФУ, Прм, УМ, СЧ сочленяются между собой при помощи низкочастотных и высокочастотных разъемов. Остальные блоки и узлы соединены в общий монтаж с минимальным числом паяк.

4.2. Работа радиостанции

4.2.1. Радиостанция выполнена по симплексной схеме с диапазонно-кварцевой стабилизацией частоты.

Схема электрическая функциональная приемопередатчика приведена в приложении 1.

Приемопередатчик радиостанции конструктивно состоит из следующих блоков, в которых применены реле, полупроводниковые приборы и микросхемы /см. приложения 46, 47/:

- блока согласования и настройки;
- формирующего устройства;
- усилителя мощности;
- синтезатора частот;
- приемника;
- блока частотного телеграфирования;

передней панели.

К приемопередатчику подключаются микротелефон, антenna и ключ телеграфный.

Переход с приёма на передачу осуществляется нажатием тангента МТ. При этом корпус через контакт Н/6 контакты 1 и 2 кнопки К2, контакт Н/10 МГ, контакт Н9/10, резистор R32 ПП, провод 24, контакт S6/3 УМ подается на контакт Б линейного реле J1 блока УМ.

На контакт А реле J1 подается +12,5 В от батареи Е2 через контакты 1, 3 тумблера К1 УМ.

Реле J1 срабатывает и подает напряжение +12,5 В через свои контакты 2, 3 на обмотку реле J2 /контакты 4, 2/.

На контакты 6, 8 обмотки реле J2 через нормально замкнутые контакты 11, 21, резистор R53 подан корпус.

Реле J2 срабатывает и своими контактами 22, 32 и 51, 61 переключает батареи Е1 и Е2 из параллельного соединения /в режиме приема/ в последовательное /в режиме передачи/.

Контакты 21 и 11 размыкаются, отключая корпус от контактов 6, 8 обмотки реле J2, а контакты 21 и 12 замыкаются, подключая корпус к контактам 5, 7 обмотки реле J2. Этим реле J2 обесточивается и подготовлено к переходу на прием.

4.2.2. Прием сигналов в режиме ОМ происходит следующим образом.

Сигнал рабочей частоты с гнезда АНТЕННА через БСН, нормально замкнутые контакты 2 и 1 реле J2 БСН, провод 16, аттенюатор УСИЛЕНИЕ 1:1, 1:10 /переключатель К4/ПП, провод 17 поступает на гнездо S1 вход Прм.

Прм построен по супергетеродинной схеме с тройным преобразованием частоты.

В зависимости от выбора поддиапазона рабочих частот сигнал проходит через один из восьми полосовых фильтров пф1-пф8. Переключение фильтров осуществляется ручками десятков и единиц мегагерц /переключатели К1 и К2 СЧ/ путем подачи напряжения +12,5 В на соответствующий полосовой фильтр. Кроме того, на фильтры пода-

ется корпус через контакты 43, 53 реле J2 УМ.

После предварительной селекции соответствующим полосовым фильтром сигнал через ограничитель ОГр поступает на вход апериодического широкополосного УВЧ. Ограничитель обеспечивает защиту УВЧ при воздействии на вход Прм сильной помехи от близкорасположенных мощных радиостанций. Усиленный УВЧ сигнал рабочей частоты проходит через ФНЧ1 и поступает на вход f1 СМ1.

ФНЧ1 имеет полосу пропускания от 0 до 20 МГц и предназначен для ослабления частот выше 20 МГц /в частности, частоты 23 МГц/.

На вход f2 СМ1 через усилитель У поступает напряжение гетеродинной частоты в диапазоне от 24,5 до 42,999 МГц с блока СЧ /минимальный шаг перестройки 1 кГц/, при помощи которого принимаемый сигнал преобразуется в напряжение первой промежуточной частоты f3 /23 МГц/. Нагрузкой смесителя является кварцевый фильтр КФ, настроенный на частоту 23 МГц и согласованный с выходным сопротивлением СМ1 и входным сопротивлением УПЧ-23 МГц с помощью резонансных контуров. После селекции КФ и усиления УПЧ-23 МГц напряжение первой промежуточной частоты f1 преобразуется в СМ2 с помощью гетеродинного напряжения /f2/ частоты 22,5 МГц, поступающего с СЧ через контакт H4 СЧ, провод 12, контакт S3 Прм, в напряжение второй промежуточной частоты f3 /500 кГц/. Далее напряжение второй промежуточной частоты через открытый напряжением +12,5 В ОМ Прм Кл1 поступает на вход ЭМФ1, в котором осуществляется основная селекция частот 500 кГц-Фм /496,6-499,7 кГц/, а с его выхода через Кл3 - на двухкаскадный резонансный усилитель второй промежуточной частоты УПЧ1 - 500 кГц. Усиленное напряжение второй промежуточной частоты поступает на ДМ, на гетеродинный вход которого поступает напряжение частоты 500 кГц /f2/ с СЧ через контакт H1/14 СЧ, провод 14, контакты 7 и 8 К1в ПП, провод 15, контакт S4/32 Прм. Полученное в результате преобразования напряжение звуковой частоты /f3/ от 300 до 3400 Гц с выхода ДМ после фильтрации ФНЧ2 через контакты S4/31 Прм, Е1/31 ПП, регулятор УСИЛЕНИЕ НЧ, резистор R5 ПП, контакты H1/29 ПП, S4/29 Прм поступает на трехкаскадный УНЧ /У1, У2, У3/.

После усиления напряжение НЧ не менее 1,5 В через контакты S4/24 Прм и H1 МТ поступает на телефоны У МТ, а через контакт

S4/37, провод 26, контакт S6/10, контакты 13 и 23 реле J2 УМ, конденсатор С49 на клеммы ЛИНИЯ/Sz10, Sz9/.

При приеме сигнала тонального вызова путь его прохождения и преобразование аналогичен режиму ОМ. При этом на выходе приемника прослушивается тон частоты 1000^{+500}_{-200} Гц.

4.2.3. Преобразование сигналов при приеме в режимах АТ и ЧТ происходит аналогично преобразованию сигнала в режиме ОМ до получения второй промежуточной частоты 500 кГц.

Основная селекция телеграфных сигналов производится ЭМФ2, который подключается между выходом СМ2 и входом УПЧ1 - 500 кГц с помощью Кл2 и Кл4, открытых напряжением +12,5 В ЧТ, АТ Прм.

После усиления двухкаскадным резонансным усилителем УПЧ1-500 кГц и УПЧ2-500 кГц напряжение второй промежуточной частоты 500 кГц поступает на ДМ.

В качестве гетеродинного напряжения на ДМ поступает:

в режиме ЧТ напряжение частоты 500,25 кГц с блока ЧТ через контакты FT/4 ЧТ, S4/28 Прм, открытый напряжением +12,5 В ЧТ Прм Кл5;

в режиме АТ напряжение частоты $500^{+0,8}$ кГц с генератора ГЕН. АТ, перестраиваемого регулятором ТОН АТ /резистор R3 ПП/.

Напряжение звуковой частоты /Fm/ 500 Гц в режиме ЧТ или 800Гц в режиме АТ, полученное в результате преобразования на выходе ДМ, поступает на вход трехкаскадного /У1, У2, УЗ/ УНЧ и дальше проходит по тем же цепям, что и в режиме ОМ.

В приемнике предусмотрены ручная регулировка усиления РРУ в режимах ОМ, ЧТ и АТ, осуществляемая ручками УСИЛЕНИЕ ВЧ, НЧ /резисторы R5 и R10 ПП/, и автоматическая регулировка усиления АРУ только в режиме ОМ.

При ручной регулировке усиления переключатель АРУ-РРУ /тумблер К3 ПП/ устанавливают в положение РРУ. При этом на УПЧ-23 МГц и УПЧ1-500 кГц подается управляющее напряжение с движка резистора R10, через контакты 1, 3 тумблера К3а, контакт Н1/25 ПП, провод 19 и контакт S4/25 Прм.

Включение АРУ производится установкой переключателя АРУ-РРУ в положение АРУ /тумблер К3 ПП/. При этом управляющее напряжение на УПЧ-23 МГц и УПЧ1-500 кГц подается с детектора ДтАРУ Прм через контакт S4/17 Прм, провод 20, контакт Н1/17, контакты 3 и 1 тумблера К3а, контакт Н1/25 ПП, провод 19 и контакт S4/25 Прм.

4.2.4. Передача сигнала в режимах ОМ происходит следующим образом.

Напряжение низкой частоты Fm, получаемое с МТ при произношении перед его микрофоном речевого сигнала, поступает через контакт Н/4 МТ, провод 31, контакт S9/4, контакты 1 и 3 тумблера К2б /или резистор R23/, контакт Н7/34 ПП, провод 30, контакт S4/34 ФУ через ФНЧ1 на вход f1 балансного модулятора БМ. С помощью гетеродинного напряжения частоты 500 кГц, поступающего с СЧ через контакт Н1/14 СЧ, провод 14, контакт S4/27 ФУ, напряжение преобразуется в БМ в напряжение первой промежуточной частоты /500 кГц +FM/ и поступает на ЭМФ основной селекции. Электромеханический фильтр осуществляет подавление частоты 500 кГц /несущей/ и верхней боковой полосы /500 кГц+FM/. Далее сигнал первой промежуточной частоты проходит через открытый напряжением +12,5 В ОМ Прд Кл.10 на вход резонансного усилителя УПЧ-500 кГц, усиливается им, поступает на вход СМ1.

В СМ1 напряжение первой промежуточной частоты преобразуется в напряжение второй промежуточной частоты 23 МГц с помощью гетеродинного напряжения 22,5 МГц, поступающего с СЧ через контакт Н5 СЧ, провод 13, контакт S1 ФУ. Затем напряжение второй промежуточной частоты поступает на СМ2 через кварцевый фильтр.

КФ, настроенный на частоту 23 МГц и согласованный с выходным сопротивлением СМ1 и входным сопротивлением СМ2, с помощью резонансных контуров, обеспечивает необходимую фильтрацию продуктов преобразования после СМ1. С помощью гетеродинного напряжения частоты 24,5-42,999 МГц, поступающего с СЧ через контакт Н3 СЧ, провод 11, контакт S2 ФУ, напряжение второй промежуточной частоты в СМ2 переносится в диапазон рабочих частот 1,5-19,999 МГц. В зависимости от положения ручек установки частоты десятков и единиц мегагерц сигнал рабочей частоты проходит через один из фильтров ФНЧ2, ПФ1, ПФ2, ПФ3 на вход апериодического трансформа-

торного УВЧ ФУ и усиливается им до напряжения не менее 0,5 В, необходимого для работы блока УМ. Переключение фильтров осуществляется ручками десятков и единиц мегагерц СЧ /переключатели К1 и К2 СЧ/ путем подачи отпирающего напряжения +12,5 В на электронные ключи фильтра, который соответствует выбранному диапазону частот: Кл.1 и Кл.5, Кл.2 и Кл.6, Кл.3 и Кл.7, Кл.4 и Кл.8. Кроме того на эти ключи через резисторы R27 и R53 подается корпус через контакт S4/8 ФУ, провод 32, контакт S6/14, контакты 63 и 53 реле J2 УМ.

В блоке УМ напряжение рабочей частоты усиливается трехкаскадным апериодическим широкополосным усилителем УВЧ1, УВЧ2, УВЧ3 до напряжения, необходимого для получения заданной мощности на выходе широкополосного двухтактного усилителя мощности УВЧ4. С выхода УМ усиленный по мощности сигнал рабочей частоты поступает через контакты 3 и 2 реле J2 БСН на гнездо АНТЕННА.

БСН обеспечивает оптимальное согласование выходного сопротивления блока УМ с антенной во всем диапазоне рабочих частот ручками НАСТРОЙКА АНТЕНН: ПЛАВНО, ГРУБО, СВЯЗЬ.

Для поддержания постоянной мощности, исключения искажения сигнала рабочей частоты и перегрузки выходного каскада УВЧ4 в передатчике предусмотрены внешняя и внутренняя АРУ. Управляющее напряжение внешней АРУ подается на УПЧ-500 кГц ФУ с ЭП УМ через контакт S6/4 УМ, провод 27, контакт Н10/4, контакты 1 и 3 /или 1 и 2/ К2а, контакт Н7/24 /или Н7/25/ ПП, провод 28 /или 29/, контакт S4/24 /или S4/25/ ФУ. На ЭП управляющее напряжение поступает с ДТ или ДН блока УМ в зависимости от величины рассогласования выходного сопротивления блока УМ с антенной /нагрузкой/.

Если сопротивление, пересчитанное посредством БСН к выходу УМ, больше оптимального /больше 50 Ом/, управляющее напряжение АРУ определяется ДН.

Если сопротивление, пересчитанное посредством БСН к выходу УМ, меньше оптимального /меньше 50 Ом/, управляющее напряжение АРУ определяется ДТ.

Напряжение АРУ поддерживает мощность передатчика постоянной в рабочем диапазоне частот посредством изменения выходного

напряжения ФУ. Для получения неискаженного сигнала в режимах полной /1,0/ и пониженной /0,1/ мощности напряжения АРУ на УПЧ-500 кГц ФУ подается через диодно-емкостные цепи D11, D10 и D13, C46, D12.

Внутренняя АРУ УМ состоит из ДТ и РЛУ.

Управляющее напряжение ДТ, поступает на РЛУ и уменьшает коэффициент усиления УВЧ1 при выходе из строя внешней АРУ и тем самым защищает УМ от перегрузки и выхода из строя транзисторов выходного каскада УВЧ4.

При работе в режиме ОМ с вынесенного телефонного аппарата ТА-57, подключенного к клеммам ЛИНИЯ, напряжение Fm поступает на модуляционный вход ФУ через конденсатор С49, контакты 23 и 33 реле J2 контакт S6/12 УМ, провод 25, контакт S4/20, резистор R13 ФУ. При передаче сигнала тонального вызова на модуляционный вход ФУ поступает напряжение $F_m = 1000_{-200}^{+500}$ Гц с МТ, в котором микрофонный усилитель при нажатии ТОН-ВЫЗОВ переводится в режим генерации, через контакт Н/4 МТ, провод 31, контакт S9/4, контакты 1 и 3 К2б /или резистор R23/, контакт Н7/34 ПП, провод 30, контакт S4/34 ФУ.

Для исключения прохождения напряжения гетеродинной частоты 500 кГц на вход УПЧ-500 кГц и тем самым увеличения уровня несущей частоты вход Кл.12 зашунтируется на корпус ключом Кл.13, который открыт подачей на него напряжения +12,5 В ОМ Прд через дополнительный ключ Кл.15.

4.2.5. Передача сигналов в режиме АТ происходит следующим образом.

Напряжение частоты 500 кГц с СЧ подается на вход УПЧ-500 кГц через контакт Н1/14 СЧ, провод 14, контакт S4/27 ФУ, резистор R58 открытый Кл.12/при нажатом ключе Тлг подаваемое на него напряжение +12,5 В Прд замыкается на корпус/, открытый напряжением +12,5 В АТ Прд Кл.9. При этом Кл.13 закрыт, так как подаваемое на него через Кл.14 напряжение +12,5 В АТ Прд шунтируется на корпус через диод D14 телеграфным ключом Тлг.

При отжатом ключе Тлг Кл.12 закрыт, а Кл.13 открыт. Открытый Кл.13 шунтирует на входе Кл.12 напряжение частоты 500 кГц, обеспечивая чистую паузу. Далее тракт формирования сигнала аналогичен описанному для режима ОМ.

4.2.6. Передача сигналов в режиме ЧТ происходит следующим образом.

Напряжение частоты $500 \pm 0,25$ кГц с блока ЧТ подается на вход УПЧ-500 кГц через контакт F1/4 ЧТ, провод 22, контакт S4/36 ФУ и открытый напряжением +12,5 В ЧТ Прд Кл.11. С помощью Кл.16 обеспечивается шунтирование гетеродинной частоты 500 кГц на входе Кл.12 открытым ключом Кл.13.

Далее тракт формирования сигнала аналогичен описанному для режима ОМ.

4.2.7. При приеме и передаче в режиме ЧТ используется ГЧТ.

ГЧТ состоит из электронного ключа Кл, кварцевого генератора, делителей частоты ДЧ1 и ДЧ2, Кл управляет ключом Тлг и предназначен для управления частотой Гкв. При отжатом ключе Тлг частота Гкв равна 10005 кГц, при нажатом - 9995 кГц. Напряжение с выхода Гкв поступает на ДЧ1 и ДЧ2, суммарный коэффициент деления которых равен 20. В результате деления частота напряжения на выходе блока ЧТ при отжатом ключе Тлг равна 500,25 кГц, при нажатом - 499,75 кГц.

4.2.8. Микротелефон предназначен для переключения радиостанции в режим приема или передачи тангентой НАЖАТЬ ПЕРЕДАЧА /переключатель К2/.

При нажатии тангента МТ через обмотку реле J1 УМ протекает ток, реле срабатывает и переводит радиостанцию на передачу.

В режиме ОМ напряжение питания через контакт Н/2 подается на усилитель У. Напряжение звуковой частоты поступает с выхода микрофона В на вход усилителя У через нормально замкнутые контакты 3 и 1 кнопки ТОН-ВЫЗОВ /К1/. С выхода усилителя У напряжение звуковой частоты на вход ФУ через переключатель К2 ПП.

При нажатии кнопки ТОН-ВЫЗОВ контакты 1, 3 переключателя К1 размыкаются и замыкаются контакты 1, 2. От входа усилителя при этом отключается микрофон и замыкается цепь положительной обратной связи. Усилитель переводится в режим генерации. Напряжение частоты 1000 ± 500 Гц подается на вход блока ФУ.

В режиме приема напряжение звуковой частоты подается на телефоны МТ с выхода блока Прм.

4.3. Синтезатор частот. Функциональная схема.

4.3.1. СЧ предназначен для формирования сетки частот в диапазоне 24,5...42,999 МГц с шагом перестройки 1 кГц и фиксированных частот 22,5 МГц и 500 кГц.

СЧ /приложение 2/ представляет собой систему с кольцом частотно-фазовой автоподстройки частоты, содержащим в цепи обратной связи делитель частоты с переменным коэффициентом деления. Для понижения входной частоты делителя с переменным коэффициентом деления диапазон рабочих частот СЧ разбит на 4 поддиапазона и введен СМ. Стабильность частот, формируемых СЧ, обеспечивается термокомпенсированным кварцевым генератором.

4.3.2. В состав СЧ входят следующие основные блоки и узлы /приложения 23 ... 41/:

- генератор, управляемый напряжением;
- делитель частоты с фиксированным коэффициентом деления;
- делитель частоты с переменным коэффициентом деления;
- блок согласующий;
- блок опорных частот;
- умножитель частоты;
- переключатели для установки рабочей частоты радиостанции;
- термокомпенсированный кварцевый генератор 10 МГц.

4.3.3. В состав блока ГУН входят четыре генератора, управляемых напряжением, один из которых перекрывает диапазон частот 3,5 МГц /24,5...27,999 МГц/, остальные - по 5 МГц /28...32,999 МГц; 33...37,999 МГц, 38...42,999 МГц/.

4.3.4.ДФКД состоит из делителей частоты ДЧ3, ДЧ4. Конструктивно на одной печатной плате с ДФКД размещены ФИ, ЧФД, СН1 и БК.

4.3.5.В состав ДПКД входят собственно делитель частоты с переменным дробным коэффициентом деления / $k=200,1\dots700,0$ / и усилитель-ограничитель УО2.

4.3.6. БС включает в себя ФНЧ частотно-фазового детектора, СН2 и два согласующих буферных каскада.

4.3.7. БОЧ содержит четыре коммутируемых полосовых фильтра опорных частот /30, 35, 40 и 45 МГц/, согласующий буферный каскад, СМ, а также полосовой фильтр для выделения фиксированной частоты 500 кГц.

4.3.8. УМЧ предназначен для выделения фиксированной частоты 22,5 МГц, состоит из усилителя-ограничителя У01, делителей частоты ДЧ1, ДЧ2, полосового фильтра и согласующего каскада.

4.3.9. Управление ДПКД, а также коммутация ГУН и фильтров БОЧ осуществляется с помощью переключателей К набора рабочей частоты радиостанции.

4.3.10. Принцип работы СЧ.

Переменное напряжение частоты 10 МГц кварцевого генератора поступает через У01 на делители частоты ДЧ1 - ДЧ4. Импульсы 5 МГц с выхода делителя ДЧ1 поступают через формирователь импульсов наносекундной длительности на входы полосовых фильтров опорных частот, выделяющих шестую, седьмую, восьмую, девятую гармоники /соответственно 30, 35, 40, 45 МГц/ в зависимости от положения переключателей установки единиц и десяткой МГц. Напряжение опорной частоты подается на вход СМ.

На другой вход СМ через буферные согласующие каскады поступает напряжение от соответствующего генератора, управляемого напряжением. Напряжение разностной частоты /2,001-7,000 МГц/ с выхода СМ через У02 подается на вход ДПКД.

Последовательность импульсов с выхода ДПКД поступает на ЧФД, где сравнивается по частоте и фазе с последовательностью импульсов частоты 10 кГц, поступающей на другой вход детектора с выхода ДФКД - делителя ДЧ4. ЧФД начинает работать в режиме поиска, т.е. в зависимости от знака разности выходных частот ДФКД и ДПКД вырабатывает изменяющееся в сторону увеличения или уменьшения напряжение до тех пор, пока частота повторения выходных импульсов ДПКД не приблизится к значению 10 кГц. В этот момент происходит захват частоты кольцом фазовой автоподстройки, ЧФД осуществляет слежение за частотой ГУН, ФНЧ, включенный между выходом ЧФД и входом

управления ГУН, предназначен для подавления пульсаций выходного напряжения ЧФД.

Формирование фиксированной частоты 500 кГц осуществляется путем выделения первой гармоники импульсной последовательности частоты 500 кГц, получаемой на выходе делителя ДЧ3, с помощью полосового фильтра, расположенного в БОЧ.

Частота 22,5 МГц формируется путем выделения полосовым фильтром девятой гармоники из меандров 2,5 МГц, снимаемых с делителя частоты ДЧ2, и поступает на выход СЧ через согласующий буферный каскад.

5. УСТРОЙСТВО И РАБОТА СОСТАВНЫХ ЧАСТЕЙ РАДИОСТАНЦИИ

5.1. Приемопередатчик

5.1.1. Прм и ФУ имеют подобные конструкции. Они выполнены на печатных платах, помещенных в кассеты, состоящие из четырех литых алюминиевых планок, соединенных винтами. Сверху и снизу блоки закрываются экраном. Они подключены к схеме приемопередатчика с помощью низкочастотного разъема и двух высокочастотных разъемов. Крепление блоков к шасси ПП производится с помощью винтов.

5.1.2. Блок ЧТ выполнен на одной печатной плате, размещенной в герметично запаянном экране. Выводы из блока осуществляются через герметичные изоляторы. Электрические соединения блока осуществляются пайкой к жгуту. Блок ЧТ крепится к блоку БСН с помощью четырех винтов.

5.1.3. УМ выполнен на печатной плате, закрепленной на литом алюминиевом каркасе, который одновременно является задней стенкой кожуха и частью аккумуляторного отсека. Он же выполняет роль радиатора для мощных транзисторов. Транзисторы устанавливаются на основании каркаса. В кармане каркаса размещено реле, коммутирующее питание радиостанции на прием, передачу, и реле для работы со входа линия. Реле закреплены на монтажной планке, которая крепится к основанию каркаса.

Снаружи аккумуляторного отсека размещены:
тумблер ВЫКЛ. - ВКЛ.;
клеммы ЛИНИЯ;
розетка БАТАРЕЯ;
розетка БД.

Для крепления аккумуляторов в аккумуляторном отсеке применяется цельнотянутый алюминиевый поддон, снабженный резиновым уплотнением.

Для присоединения к УМ поддона аккумуляторного отсека на корпусе установлены защелки и шарнирный соединитель, позволяющие быстро сменить аккумуляторы в аккумуляторном отсеке.

В аккумуляторном отсеке устанавливаются две аккумуляторные батареи 10НКБН-3,5, которые подключаются с помощью специальных пружинных токосъемов.

В аккумуляторном отсеке установлено два плавких предохранителя, основное назначение которых - защита радиостанции при коротком замыкании.

УМ крепится к шасси с помощью двух винтов и к кожуху - с помощью четырех винтов и специальных гаек.

5.1.4. БСН конструктивно состоит из вариометра, трех монтажных планок, двух переключателей, которые крепятся к каркасу, выполненному из дюралюминиевого листа.

Блок настройки антенны крепится к ПП приемопередатчика с помощью двух винтов и трех гаек /с сальниковыми уплотнениями/.

Электрическая связь с другими блоками осуществляется с помощью ВЧ разъема и посредством пайки соединительных проводов.

5.1.5. ПП изготавливается из алюминиевого сплава методом литья под давлением. К ней крепится литое шасси.

На ПП с шасси устанавливаются органы управления приемопередатчика, блок настройки антенны, монтажная планка и крепится жгут, с помощью которого осуществляются электрические соединения всех составных частей приемопередатчика.

Соединение жгутов со всеми блоками приемопередатчика, кроме блоков ЧТ и БСН, осуществляется с помощью разъемов.

К ПП крепится СЧ четырьмя винтами и гайками /с сальниковыми уплотнениями/ переключателей.

На лицевой стороне ПП приемопередатчика расположены:

- пять ручек установки частоты;
- переключатель рода работ ОМ-ЧТ-АТ;
- две ручки НАСТРОЙКА АНТЕНН /12 положений/;
- ручка переключателя связи с антенной СВЯЗЬ на десять положений;
- тумблер для ослабления входного сигнала Прм 1:1, 1:10;
- ручка регулятора громкости УСИЛЕНИЕ НЧ;
- ручка регулятора усиления по ВЧ - УСИЛЕНИЕ ВЧ;
- тумблер РРУ-АРУ;
- тумблер установки выходной мощности - номинальной 100% и пониженной до 10% - МОЩН. 1,0-0,1;
- ручка регулятора тона - ТОН АТ;
- измерительный прибор для контроля индикации настройки антенны при работе радиостанции на передачу и напряжения источников питания при работе на прием;
- антенный ввод с изолятором АНТЕННА;
- гнездо для подключения антенны "Симметричный вибратор" - ДИПОЛЬ;
- гнезда для подключения ключа ТЛГ - КЛЮЧ ТЛГ;
- разъем для подключения МТ.

Часть ПП, на которой расположены органы управления, для предотвращения от механических повреждений закрывается крышкой. Крышка крепится к ПП с помощью специального замка и петли, установленных на ПП.

На ПП и ее монтажной планке расположены элементы /резисторы, конденсаторы, транзисторы/, изображенные на принципиальной электрической схеме приемопередатчика /приложение 3/.

Транзистор T15 образует электронный ключ, с помощью которого замыкаются или размыкаются контакты 29 и 35 разъема приемника и тем самым включается или выключается коррекция частотной характеристики приемника.

При подаче на контакт 8 разъема S9 напряжения 12,5 В ключ на транзисторе T15 закрывается, и контакты 29 и 35 приемника разом-

кнуты. В этом случае частотная характеристика приемника имеет неравномерность не более 6 дБ в полосе частот 350-2700 кГц. При снятии напряжения с контакта 3 разъема S9 ключ на транзисторе T15 открыт, и частотная характеристика приемника имеет завал в сторону верхних частот 6 дБ на октаву. При работе приемопередатчика в составе радиостанции Р-143 ключ всегда открыт.

На корпусе БСН расположена печатная плата электронной тангента, предназначенный для автоматического перевода приемопередатчика в режим передачи при нажатии ключа ТЛГ.

Электронная тангента представляет собой электронный ключ, выполненный на транзисторах T16 /2Т312Б/ и T17 /2П103Д/, который подключен параллельно тангенте МТ и управляемся ключом ТЛГ.

При отжатии ключа ТЛГ конденсатор С4 заряжается до напряжения отсечки транзистора T17 через делитель напряжения, состоящий из резисторов R26, R27. При этом электронный ключ через 0,5-2 с закрывается, и приемопередатчик переходит в режим приема.

При нажатии ключа ТЛГ конденсатор С4 мгновенно разряжается на корпус, электронный ключ открывается, и приемопередатчик переходит в режим передачи.

При манипуляции ключом ТЛГ приемопередатчик находится в режиме передачи, так как электронный ключ не успевает закрываться из-за большой постоянной времени заряда конденсатора С4.

Назначение остальных элементов приведено в дальнейшем описании работы составных частей приемопередатчика.

5.1.6. Кожух приемопередатчика выполнен из листового дюралюминия. На наружной поверхности кожуха размещены планка установки ТЛГ ключа и петли присоединения ремней для переноски приемопередатчика. Кожух приемопередатчика крепится между ПП и корпусом УМ, имеющими для уплотнения специальные канавки, в которые вклеиваются резиновые уплотнительные прокладки.

Кожух зажимается между ПП и аккумуляторным отсеком с помощью восьми винтов и специальных гаек.

5.1.7. Для переноски и работы на ходу, приемопередатчик снабжен заплечными ремнями, изготовленными из капроновой ленты. Пристегивают ремни к приемопередатчику с помощью специальных карabinов к петлям, расположенным на кожухе и поддоне аккумуляторного отсека.

Для удобства использования на правом ремне нанесена маркировка ПРАВЫЙ.

5.1.8. Прм предназначен для работы в диапазоне частот 1,5-19,999 МГц в режимах ОМ, ЧТ, АТ.

Прм выполнен на линейных микросхемах с частичным применением навесных элементов /приложения 6-8/.

В качестве преселектора в Прм применяются полуоктавные полосовые фильтры /в дальнейшем - фильтры/ на следующие частоты: 1,5-2 МГц, 2-3 МГц, 3-4 МГц, 4-6 МГц, 6-8 МГц, 8-12 МГц, 12-16 МГц, 16-20 МГц. Фильтры переключаются с помощью р-і-п диодов типа 2А517А-2, коммутирующее напряжение на которые поступает с переключателей установки частоты радиостанции.

Принимаемый ВЧ сигнал с аттенюатора через ВЧ разъем S1, конденсатор С1 проходит через один из подключенных фильтров. Коэффициент передачи фильтров не хуже 0,5. С выхода фильтров через конденсаторы С9, С10 сигнал поступает на вход УВЧ.

Между выходом полосовых фильтров и входом УВЧ установлена защита входа Прм на полупроводниковых диодах D1 и D2. Диоды открываются при напряжении входного сигнала 0,2 В. При дальнейшем увеличении входного сигнала до 10 В напряжение на входе УВЧ возрастает до 0,6 В. Таким образом, первый транзистор УВЧ Т3 защищен от пробоя.

УВЧ представляет собой двухкаскадный усилитель с непосредственной связью, выполненный на транзисторах Т3, Т4 типа 2Т368А. Режим по постоянному току и коэффициент усиления УВЧ установлен резисторами R11, R5, R8 и конденсатором С20. Коэффициент усиления УВЧ по напряжению составляет 10-20. Применение глубокой отрицательной обратной связи через резисторы R3, R10, R12 и конденсатор С20 обеспечивает входное сопротивление 50 Ом и выходное 300 Ом, что позволяет без применения трансформаторов согласовать выходное

сопротивление полосовых фильтров со входным сопротивлением УВЧ и выходное сопротивление УВЧ со входным сопротивлением ФНЧ.

Введение цепи коррекции С15, R6 и отрицательной обратной связи R10, R11, С20 обеспечивает неравномерность частотной характеристики УВЧ не хуже 1,5 раза в диапазоне частот от 1,5 МГц до 20 МГц. Первый каскад УВЧ развязан со вторым каскадом по цепи питания через фильтр С14, R7.

Напряжение питания на УВЧ поступает от источника постоянного тока 12,5 В через развязывающий фильтр, состоящий из дросселя L1 и конденсатора С22.

Подавление сигналов зеркальной и первой промежуточной частоты осуществляется с помощью ФНЧ /LA11/. Схема приведена в приложении 6. Частота среза ФНЧ 20,5 МГц.

Первый СМ собран по балансной схеме на навесных транзисторах Т8 и Т9 типа 2Т363А и 2Т368А. Режим по постоянному току выбран базовым делителем, состоящим из резисторов R22-R24 и диода D7, одновременно для обоих транзисторов. Коллекторной нагрузкой является сдвоенный контур LA15 на 23 МГц. В коллекторах транзисторов включены развязывающие антипаразитные резисторы R29, R32. Питается СМ напряжением 12,5 В через фильтр, состоящий из дросселя L3 и конденсатора С36, резистора R31 и конденсатора С31. Через разделятельные конденсаторы С25, С26 на базы транзисторов поступает ВЧ сигнал с частотой 1,5-20 МГц. Эмиттеры транзисторов по постоянному току соединены через резистор R28.

Для согласования сопротивления СМ1 по гетеродинному входу с выходным сопротивлением синтезатора применяется усилитель РII. Схема которого приведена на электрической схеме ПРм. Коэффициент усиления усилителя установлен равным 2-3 подбором резисторов R2, R3. Неравномерность частотной характеристики в полосе 24,5-43МГц обеспечивается не хуже 1,5 раза.

Сигнал 24,5-43 МГц с СЧ поступает на УС, затем через разделятельные конденсаторы С32, С33 и антипаразитный резистор R30 на эмиттеры транзисторов Т8, Т9.

Выходной сигнал частоты 23 МГц с СМ1 выделяется на сдвоенном контуре LA15 и далее поступает на кварцевый фильтр LQ17.

Согласование фильтра по максимальному коэффициенту передачи осуществляется подбором конденсатора С38^x на входе фильтра.

После первой селекции кварцевым фильтром сигнал поступает на согласующий контур LA 19-23 МГц. С контура сигнал поступает на вход усилителя УПЧ-23 МГц, собранного на микросхеме IC20. Коэффициент усиления микросхемы-порядка 5. Питается микросхема напряжением 12,5 В через фильтр-развязку, состоящий из резистора R44 и конденсаторов С43, С73. Резистор является одновременно гасящим сопротивлением 12,5 В до 6,3 В. Напряжение АРУ и РРУ подводится к выводу 12. Порог срабатывания АРУ и РРУ установлен резистором R42. Усилитель включен по резонансной схеме. Нагрузкой является контур LA21, подключенный к выводам 2, 3 и 4, 5 микросхемы IC20. Для согласования со следующим каскадом в микросхеме используется эмиттерный повторитель. Выходом эмиттерного повторителя является вывод 1 микросхемы. Усиленный сигнал с выхода усилителя УПЧ-23 МГц через конденсатор С48 подается на СМ2. Резистор R66 предотвращает самовозбуждение усилителя.

СМ2 выполнен на микросхеме IC22 и представляет собой двойной балансный СМ на активных преобразующих элементах, что позволяет получить коэффициент преобразования более 1. Изменением сопротивления резистора R49^x, подключенного к выводам 4 и 6 микросхемы, можно регулировать коэффициент передачи СМ2. Дополнительная балансировка СМ2 осуществляется резистором R48^x. Ток СМ2 и крутизна преобразования задаются резистором R50. Конденсаторы С51 и С53 используются в качестве развязывающих элементов. Сигнальным напряжением СМ2 является напряжение с усилителя УПЧ-23 МГц, гетеродинным - напряжение 22,5 МГц с СЧ, подводимое к СМ2 через разъем S3, резистор R52 и конденсатор С54. Нагрузкой СМ2 является симметрирующий трансформатор Tr1. Сигнал с выхода СМ2 поступает на электромеханические фильтры. Напряжение питания на СМ2 IC22 подается через стабилизатор тока, выполненный на полевом транзисторе T16, резисторе R51^x и конденсаторе С52.

Электромеханические фильтры L23, L24 являются фильтрами основной селекции, определяющими ширину полосы пропускания приемного устройства. Различие по ширине спектров принимаемых сигналов ОМ, АТ, ЧТ обусловило применение двух электромеханических фильтров.

В режиме ОМ используется ФЭМ-034Н-500-3,1 /L23/ с шириной полосы пропускания 3,1 кГц, в режимах АТ, ЧТ - ФЭМ-035-500-1,5 /L24/ с шириной полосы пропускания 1,5 кГц. Согласование фильтров по входу и выходу с целью получения оптимальных амплитудно-частотных характеристик осуществляется подбором конденсаторов: на входе C58^x, C67^x и на выходе C62^x, C72^x, соответственно. Подключение фильтров в схему ПРМ осуществляется при помощи ключей, выполненных на диодах 2Д522Б D17, D18 и D19; D20 с развязывающими RC элементами: для L23-C59, C60, C63, C64, R54, R55, R56, R57 и для L24 - C65, C69, C70, R58, R59, R60 и R61. Ключи, коммутируемые напряжением 12,5 В, подаваемым на контакты S4/26 и S4/16 для L24, включены на входе и выходе фильтров. С выхода электромеханических фильтров сигнал поступает на вход первого усилителя УПЧ1-500 кГц. Конденсатор C61 - разделительный.

Первый усилитель УПЧ1-500 кГц выполнен на микросхеме IC25. Нагрузкой усилителя является контур LA26. Коэффициент усиления регулируется резистором R64^x. Использование эмиттерного повторителя микросхемы позволяет осуществить оптимальную передачу сигнала резонансного усилителя на последующий каскад УПЧ2-500 кГц. Усилитель охвачен АРУ, осуществляющей подачей напряжения смещения на вывод 12 микросхемы IC25. Порог срабатывания АРУ установлен подбором резистора R63. Напряжение питания на микросхему IC25 подается через фильтр R62, C68. Резистор R68 предотвращает самовозбуждение усилителя.

С выхода первого усилителя УПЧ1-500 кГц /IC25/ сигнал поступает на вход второго усилителя УПЧ2-500 кГц /IC9/.

Второй усилитель УПЧ2-500 кГц выполнен на микросхеме IC9. Коэффициент усиления каскада можно регулировать изменением номинала резистора R9^x, подключенного к выводам 10-11 микросхемы IC9.

Кроме сигналов, поступающих с электромеханических фильтров ПРМ, на вход усилителя /вывод 8 микросхемы IC9/ может подаваться сигнал с блока ФУ через конденсатор C12^x. Это сделано с целью контроля работоспособности трактов формирования на передачу сигналов путем самопрослушивания. Напряжение питания на микросхему IC9 подается через фильтр R4, C13.

Нагрузкой усилителя является контур LA10. Усиленный сигнал с контура LA10 подается на демодулятор.

Демодулятор ДМ выполнен на микросхеме IC12, подобен СМ2. В качестве гетеродинного напряжения, поступающего через конденсатор C23 на вывод 11 микросхемы IC12, может быть:

напряжение частоты 500 кГц в режиме ОМ, поступающее с СЧ через контакт S4/32;

напряжение частоты $500+0,25$ кГц в режиме ЧТ, поступающее с блока ЧТ через контакт S4/28;

напряжение $500+0,8$ кГц в режиме АТ, поступающее от генератора АТ /IC14/, который коммутируется напряжением 12,5 В, подаваемым на контакт S4/27.

Подключение гетеродинных напряжений осуществляется подачей управляющих напряжений с переключателя рода работ на ключ, выполненный на диоде D5 и резисторах R25, R26, R27, в режиме ЧТ, или на контакт S4/27 в режиме АТ.

В режиме ОМ гетеродинное напряжение подается на демодулятор через переключатель рода работ.

На выходе демодулятора включен Г-образный ФНЧ, собранный на дросселе L2 и конденсаторах C24, C29, для выделения из выходного спектра демодулятора полезного сигнала в диапазоне 300-3200 Гц. Резисторы R17 и R20 являются нагрузкой демодулятора. Регулировкой резистора R14^x обеспечивается требуемый коэффициент передачи демодулятора. Конденсаторы C17, C18 - блокировочные. Резистор R13 определяет ток потребления демодулятора. Сигнал с демодулятора поступает на вход УНЧ через регулятор усиления НЧ. Напряжение питания на микросхему IC12 подается через фильтр R15, C19.

УНЧ собран на транзисторах T10, T13, T15. Он предназначен для получения на головных телефонах /МТ/ напряжения не менее 1,5 В и завала частотной характеристики в сторону высоких частот 6 дБ на октаву.

Сигнал с регулятора громкости через конденсатор C37 поступает на вход усилителя. Первый каскад собран по схеме усилителя с динамической нагрузкой. Нагрузкой транзистора T11, является резистор R40 и транзистор T10.

Резисторы R34, R35, R36, R37 предназначены для выбора режима работы каскада, конденсаторы C39 и C40 обеспечивают завал частотной характеристики в сторону высоких частот 6 дБ на октаву.

Напряжение низкой частоты с эмиттера транзистора T11 подается на базу транзистора T12. Транзистор T12 служит для получения одинаковых по амплитуде и противоположных по фазе напряжений усиливаемого сигнала.

Транзисторы T13 и T15 образуют двухтактную схему. Диод D14 и резистор R46 предназначены для обеспечения требуемого режима по постоянному току транзисторов T13, T14. С выхода усилителя мощности сигнал поступает на оконечную нагрузку - телефоны через разделительный конденсатор C56 и через разделительный конденсатор C57 на клеммы линия. Резистор R43, конденсаторы C34 и C47 образуют фильтр в цепи питания УНЧ. Резистор R69 обеспечивает защиту транзисторов T13, D14 при замыкании на корпус нагрузки приемника.

Генератор АТ выполнен на микросхеме IC14 в виде контурного автогенератора. На частоту настройки автогенератора влияет емкость варикапа D6. Регулируемая величина напряжения с регулятора тона поступает на варикап через контакт S4/19 и позволяет изменять частоту генерируемых колебаний в пределах от 502 до 499 кГц. Генератор АТ работает в режиме приема АТ и в режиме передачи АТ, ЧТ для самопрослушивания при подаче напряжения питания на вывод 14 микросхемы IC14 через развязывающий фильтр R33, C35, с контакта S4/27. Выходное напряжение частоты 502-499 кГц с контура LA13 через делитель напряжения на резисторах R16, R18 подается на демодулятор.

Отличительной особенностью схемы АРУ является работа по однополосному сигналу. В качестве управляющего сигнала используется сигнал, поступающий с контакта 1 микросхемы IC9. В качестве управляемых каскадов используются:

усилитель УПЧ-23 МГц /IC20/, усилитель УПЧ1-500 кГц /IC25/, позволяет получить глубину регулировки АРУ не менее 80 дБ.

Схема АРУ выполнена на микросхеме IC18. Напряжение АРУ подается на микросхемы IC20 и IC25 с вывода 1 микросхемы IC18 через тумблер АРУ-РРУ. Время срабатывания и время отпускания АРУ уста-

навливается конденсатором С42. Уровень напряжения АРУ устанавливается резистором R39^x. Напряжение питания на микросхему IC18 подается при переключении тумблера АРУ-РРУ в положение АРУ через контакт S4/23 и фильтр С49, R47.

5.1.9. Для получения режима частотного телеграфирования в радиостанции в режиме передачи используется кварцевый генератор с манипуляцией частоты 10005 кГц /режим отжатия/ и 9995 кГц /режим нажатия/.

Неточность установки выходной частоты генератора от всех дестабилизирующих факторов должна быть не хуже ± 50 Гц.

Генератор /приложения 9-11/ собран по схеме емкостной трехточки на транзисторе 2Т326Б. С6 и С7 - конденсаторы обратной связи генератора. Резисторы R7 и R8 служат для стабилизации тока коллектора. С5 - блокированный конденсатор. Дроссель L3 - фильтр по цепи питания. Резисторы R5 и R6 служат для создания необходимого смещения в цепи базы.

В управляемом кварцевом генераторе используется резистор с частотой основного резонанса 10 МГц.

Изменение частоты кварца производится элементами L1, C1^x и L2, С4^x.

В начальный момент генератор настраивается на частоту 10005 кГц индуктивностью L2. Эта частота соответствует частоте "отжатия".

Манипуляция частоты кварцевого генератора осуществляется с помощью диодного ключа, который подключает последовательно с кварцевым резонатором эквивалентную емкость, образованную элементами L1, C1^x, а, следовательно, изменяет частоту генератора до 9995 кГц. Эта частота соответствует частоте "нажатия".

Коммутация диодного электронного ключа, который состоит из диодов D1 и D2, резисторов R1, R3, R4 и блокировочных конденсаторов С2, С3, осуществляется ключом ТЛГ. При помощи резисторов R1, R3, R4 устанавливается такое напряжение на диодах, чтобы в режиме отжатия диоды были заперты. При нажатии ключа ТЛГ диод D1 подсоединяется к земле, следовательно, через диоды D1 и D2 течет

ток. Элементы L1 и C1 подсоединяются к кварцевому резонатору /L1 и C1 по высокой частоте подсоединяются на землю/ и изменяют его частоту до величины 9995 кГц.

Сигнал с кварцевого генератора частоты 10005 кГц или 9995 кГц через разделительный конденсатор С8 поступает на вход делителя частоты ДЧ1 /f/20/.

Деление частоты осуществляется двумя регенеративными делителями: делитель ДЧ1 /f/5/ и делитель ДЧ2 /f/4/; собранными на интегральной универсальной микросхеме 435ХП1. Нагрузкой делителя ДЧ2 /f/4/ является контур, состоящий из элементов L4, C12, C13, C14, а нагрузкой делителя ДЧ1 /f/5/ является контур, состоящий из элементов L5, C9, C10, C11.

Выходной сигнал будет иметь частоты 500, 250 кГц /отжатие/ или 499,750 кГц /нажатие/.

Питание генератора осуществляется от первичного источника питания 12,5 В. Полевые транзисторы Т4, Т5 служат для стабилизации тока по цепи питания. Подбором резистора R11^x устанавливают напряжение питания 6,3 В.

5.1.10. ФУ предназначено для формирования в режиме передачи однополосного сигнала ОМ, сигналов АТ, сигналов ЧТ в диапазоне рабочих частот 1,5-19,999 МГц.

При формировании однополосного сигнала в режиме ОМ напряжение 20-40 мВ частоты 300-3200 Гц с МТ поступает на контакт S4/34 и через резистор R1, фильтр низких частот L1, C1, конденсатор С8 - на вывод 4 балансного модулятора IC4 /приложения 12-14/.

На вывод 6 балансного модулятора IC4 с СЧ поступает гетеродинное напряжение 100 мВ частоты 500 кГц через конденсатор С16 и резистор R16.

Балансный модулятор IC4 выполнен на микросхеме 526ПС1 с применением навесных элементов: резисторов R15^x, R18, R19^x, конденсаторов C12, C13, C14, C15, C17, C18, C20, C23, C24, C27, C28, C74 и полевого транзистора Т2 /стабилизатор тока/, обеспечивающих получение требуемого выходного напряжения и подавление несущей частоты.

Стабилитрон D28 предназначен для стабилизации напряжения питания микросхемы при климатических воздействиях.

Нагрузкой балансного модулятора является электромеханический фильтр L8 /ФЭМ-034Н-500-3,1/, подключенный к нему через согласующий симметричный трансформатор Tr2, выполненный на кольцевом ферритовом сердечнике. Резисторы R73, R74 устраняют самовозбуждение балансного модулятора.

В результате преобразования на вход электромеханического фильтра /вывод 2 L8/ поступает напряжение 20-30 мВ нижней боковой полосы 499,7-496,6 кГц, неиспользуемой верхней боковой полосы 500,3-503,4 кГц и подавленной несущей частоты 500 кГц.

На выходе электромеханического фильтра /вывод 5 L8/ выделяется напряжение 5-10 мВ полезной нижней боковой полосы 499,7-496,6 кГц, а напряжения несущей частоты и неиспользуемой верхней боковой полосы ослаблены не менее, чем на 30 и 46 дБ соответственно.

Для обеспечения максимального коэффициента передачи электромеханического фильтра L8 в диапазоне частот 499,7-496,6 кГц и максимального ослабления несущей частоты и верхней боковой полосы параллельно входным /1 и 3/ и выходным /4 и 6/ выводам включены регулируемые конденсаторы С33^{*} и С36^{*}, подбором которых электромеханический фильтр настроен на частоту 499 кГц.

Сформированный однополосный сигнал через открытый электронный диодный ключ D5 поступает на однокаскадный резонансный усилитель частоты 500 кГц /микросхема IC10/, где происходит усиление до напряжения 30-50 мВ.

Усилитель выполнен на микросхеме 435УВ1, представляющей собой каскодный усилитель с динамическим диапазоном выхода 54 дБ, получаемым за счет изменения потенциала общей точки /коллектор-эмиттер/ каскодной схемы с помощью регулируемого транзистора, управляемого напряжением АРУ, подаваемым на вывод 12 микросхемы IC10 с блока УМ.

Нагрузкой регулируемого усилителя является контур LA9, настроенный на частоту 500 кГц, с частичным включением по входу и выходу.

Напряжение АРУ на вывод 12 микросхемы IC10 поступает по цепи R34^x, R33, D11, C46, D12, или по цепи R39^x, C73, R37, D13, C46, D12 и обеспечивает путем изменения коэффициента усиления усилителя номинальную выходную мощность передатчика соответственно в режимах 10% и 100% мощности.

Величина напряжения АРУ подбирается из условия получения необходимого значения 10% и 100% мощности.

Постоянная времени заряда и разряда цепей подобрана из условия получения неискаженного телефонного сигнала передатчика при наименьшей частоте модуляции 300 Гц и с целью повышения средней мощности передатчика в режиме ОМ за счет компрессии однополосного сигнала на частоте 500 кГц без обогащения его выходного спектра.

Другая часть микросхемы IC10 /эмиттерный повторитель/ используется как буферный каскад в цепи самопрослушивания IC10/1, S4/22 на частоте 500 кГц.

Навесные резисторы R35, R36^x, R38, R40^x, R69, R70, конденсатор C48 служат для создания оптимального режима микросхемы.

С вывода 5 контура LA9 напряжение частоты 499,7-496,6 кГц поступает на вывод 8 микросхемы IC2 типа 435XA1 балансного СМ1, нагрузкой которого является кварцевый фильтр LQ6, подключенный к нему через контур LA3 /23 МГц/ и симметричный согласующий широкополосный трансформатор Tr1, выполненный на сдвоенном кольцевом ферритовом сердечнике.

На вывод 12 микросхемы IC2 через гасящий резистор R2 и конденсатор C5 подается напряжение 150 мВ частоты 22,5 МГц. Навесные резисторы R3, R4^x, R5, R10^x, R12^x, R71 и конденсаторы C7, C9, C10 подобраны из условия получения оптимального режима СМ1.

Полезный сигнал СМ1, снимаемый с трансформатора Tr1, напряжением 30-50 мВ через контур LA3, кварцевый фильтр LQ6 /ПФ2П-286/ и контур LA7 поступает на СМ2 /вывод 4 микросхемы IC5/. Работа кварцевого фильтра в согласованном режиме достигнута включением на его входе и выходе колебательных контуров, настроенных на частоту 23 МГц, а также конденсаторов C21^x и C34^x, которые подбираются при регулировании..

СМ2 /IC5/ выполненный на микросхеме 526ПС1, представляет собой двойной балансный СМ, на вывод 6 которого поступает гетеродинное напряжение 100-150 мВ в диапазоне частот 24,5-42,999 МГц через конденсатор C22 и гасящий резистор R20. Навесные резисторы R23^x, R66^x и конденсаторы C19, C25, C26, C31, C32 и C35 подобраны из условия получения оптимального режима СМ. Нагрузкой СМ является один из четырех фильтров LA11, LA12, LA13, LA14, подключенный к нему через разделительный конденсатор C37 и согласующий широкополосный симметричный трансформатор Tr3, выполненный на двойном ферритовом сердечнике.

В результате преобразования частоты на выходе трансформатора Tr3 /вывод 4/ образуется напряжение 50-150 мВ в радиочастотном диапазоне 1,5-20 МГц.

Весь радиочастотный диапазон разбит на 4 поддиапазона: 1,5-8 МГц; 8-12 МГц; 12-16 МГц; 16-20 МГц, каждому из которых соответствует свой, коммутируемый по входу и выходу электронными ключами на p-i-n диодах, LC фильтр.

На первом поддиапазоне 1,5-8 МГц между выходом СМ /вывод 4 трансформатора Tr3/ и выходом выходного усилителя /контрольное гнездо 16/ подключается ФНЧ LA11 с помощью открытых ключей D6 и D20. На втором поддиапазоне 8-12 МГц включается полосовой фильтр LA12 с помощью открытых ключей D7 и D21. На третьем поддиапазоне 12-16 МГц включается полосовой фильтр LA13 с помощью открытых ключей D8 и D22. Резистор R67^x и катушка индуктивности L3 предназначены для уменьшения влияния выходного сопротивления СМ на частотную характеристику фильтра LA13. На четвертом поддиапазоне 16-20 МГц включается полосовой фильтр LA14 с помощью открытых ключей D9 и D23. Резисторы R67^x, R68^x предназначены для уменьшения влияния выходного сопротивления СМ на частотную характеристику фильтра LA14.

Выходной каскад представляет собой широкополосный трансформаторный усилитель высокой частоты на транзисторе 2Т368А. Выходной трансформатор Tr4 - широкополосный и обеспечивает согласование усилителя по выходу с блоком УМ. С целью получения более равномерного коэффициента усиления в эммитерную цепь транзистора T27 включен резистор обратной связи R65^x.

Навесные резисторы R62^x, R63, R64 служат для создания оптимального режима усилителя. Конденсатор C66 - разделительный. Цель L2, C67 - фильтр по напряжению питания. Усилитель обеспечивает выходное напряжение не менее 0,5 В в диапазоне 1,5-20 МГц, необходимое для работы УМ.

При работе с линии НЧ сигнал напряжением 0,775 В по цепи S4/20, C11, R13^x, R14 поступает на балансный модулятор. Далее тракт формирования аналогичен описанному выше.

В режиме АТ напряжение 150 мВ частоты 500 кГц с контакта S4/27 через гасящий резистор R58^x, разделительный конденсатор C57, открытый электронный ключ T16 /при нажатом ключе Тлг контакт S4/26 замыкается на корпус/, разделительный конденсатор C52, открытый электронный ключ D18 поступает на вход усилителя 500 кГц /вывод 8 IC10/.

Электронный ключ D18 выполнен на диоде 2Д522Б и открыт в режиме АТ подачей напряжения 12,5 В АТ Прд с контакта S4/29 через гасящий резистор R50.

Электронный ключ T16, выполненный на полевом транзисторе 2П103Д, является манипулятором напряжения частоты 500 кГц и управляемся ключом Тлг. При отжатом ключе Тлг транзистор T16 закрыт положительным напряжением, снимаемым с делителя R43, R44, подводимым к затвору через резистор R42. При нажатом ключе Тлг запирающее напряжение закорачивается на корпус через диод D17, и транзистор T16 отпирается, в результате чего напряжение частоты 500 кГц через открытый канал транзистора T16 и открытый диод D18 поступает на вход микросхемы IC10. Резистор R45 - нагрузочный резистор ключа.

R42, C51 - времязадающая цепь, определяющая нарастание фронта импульса телеграфного сигнала частоты 500 кГц для получения мягкой манипуляции. Резистор R51 выполняет роль сопротивления утечки при закрытом ключе D18.

Для обеспечения чистой паузы при отжатом ключе Тлг предусмотрено дополнительное блокирование напряжения частоты 500 кГц на корпус транзисторным электронным ключом T25, который отпирается подачей на базу транзистора T25 отпирающего напряжения 12,5 В по цепи S4/29, R41, D15, R61.

При нажатом ключе Тлг /посылка/ отпирающее напряжение замыкается на корпус через диод D14.

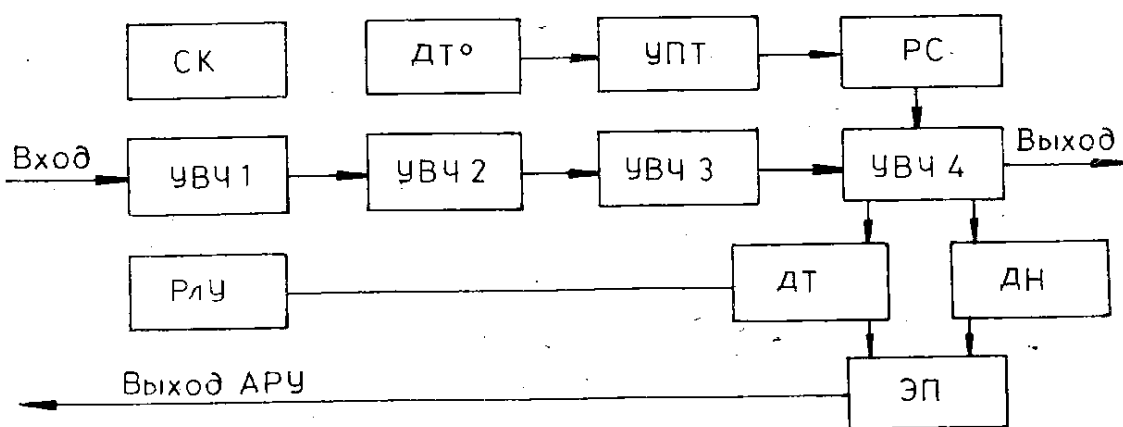
В режимах ОМ и ЧТ напряжение частоты 500 Гц после резистора R58^x блокируется открытым электронным ключом T25. Ключ T25 выполнен на транзисторе 2T312Б. В режиме ОМ ключ открывается напряжением 12,5 В, поступающим с контакта S4/35 через диод D26, резистор R61 на базу транзистора. В режиме ЧТ ключ открывается напряжением 12,5 В, поступающим с контакта S4/30 через диод D24, резистор R61 на базу транзистора. Конденсатор С65 – блокировочный.

Для обеспечения малого изменения выходного напряжения блока при изменении напряжения питания в пределах от 11,25 до 13,75 В питание микросхем IC10, IC2, IC5 и базовой цепи T27 осуществляется стабилизированным напряжением 7,8-8 В через гасящие резисторы.

СН выполнен по компенсационной схеме на транзисторе T3 типа 2T312Б. Опорное напряжение на базу транзистора T3 задается от стабилитрона D4 типа Д818Д, ток через который стабилизируется стабилизатором тока на полевом транзисторе T1 типа 2П103Д.

5.1.11. УМ передатчика собран на транзисторах и микросхемах. Функциональная схема УМ приведена на рисунке.

УМ включает в себя собственно усилитель мощности высокой частоты, схему защиты от короткого замыкания на выходе и АРУ, схему термокомпенсации тока оконечного каскада и схему коммутации цепей питания и управления.



Функциональная схема УМ.

УМ высокой частоты является широкополосным и состоит из апериодических каскадов УВЧ1, УВЧ2, УВЧ3 и УВЧ4.

В схему защиты от короткого замыкания и АРУ входят: ДН, ДТ, ЭП, РЛУ.

ДТ служит для контроля величины тока, потребляемого оконечным каскадом усилителя УВЧ4. ДН контролирует величину выходного напряжения УВЧ4. Если один из контролируемых параметров достигает своего критического значения, соответствующий датчик выдает сигнал перегрузки, который через ЭП поступает на регулируемый каскад /УПЧ-500 кГц/ в ФУ. Величина входного напряжения, поступающего на вход УВЧ1, начинает ограничиваться, и режим оконечного каскада усилителя УВЧ4 автоматически поддерживается в допустимых пределах.

При обрыве антенны передатчика выходное напряжение оконечного каскада /усилителя УВЧ4/ резко увеличивается, ДН выдает сигнал перегрузки по напряжению, который запирает регулируемый каскад в ФУ, и на вход УМ /усилитель УПЧ-500 кГц/ напряжение частоты не поступает.

При закорачивании антенны передатчика ток, потребляемый выходным каскадом /усилителем УВЧ4/, резко увеличивается. ДТ выдает сигнал перегрузки по току, который запирает регулируемый каскад в ФУ, и на вход УМ /усилитель УПЧ-500 кГц/ напряжение высокой частоты не поступает.

В случае отказа в цепи АРУ сигнал перегрузки поступает непосредственно от ДТ на регулируемый каскад УВЧ1 в УМ и, уменьшая его усиление, поддерживает величину потребляемого им тока в допустимых пределах.

Схема термокомпенсации служит для поддерживания неизменного угла отсечки коллекторного тока оконечных транзисторов при изменении температуры окружающей среды. Схема состоит из ДТ^О, УПТ и РС.

Схема коммутации предназначена для перевода радиостанции из режима приема в режим передачи и обратно, а также для дистанционного управления радиостанцией.

Каскады УВЧ1, УВЧ2, УВЧ3 тракта усиления высокочастотного сигнала построены по однотактным схемам с общим эмиттером. Для получения хорошей линейности в них используется режим усиления класса "А" и отрицательные обратные связи по напряжению и току высокой частоты.

Для достижения высокой температурной стабильности в каскадах УВЧ1, УВЧ2, УВЧ3 применена отрицательная обратная связь по постоянному току при фиксированном напряжении смещения база-эмиттер. Кроме того, в каскадах УВЧ2 и УВЧ3 в нижние плечи базовых резисторных делителей включены термостабилизирующие диоды D3 и D6 /приложения 15-17/. В каскаде УВЧ1 используется транзистор T1 типа 2Т368А. Коллекторной нагрузкой транзистора T1 является входное сопротивление каскада УВЧ2. Резисторы R2 и R3 образуют делитель для подачи фиксированного напряжения смещения на базу T1. Резистор R6 служит для создания отрицательной обратной связи по высокочастотной составляющей тока эмиттера и получения необходимого входного сопротивления транзистора T1. Конденсатор C10 исключает отрицательную обратную связь по переменной составляющей через резистор R7. В совокупности резисторы R6 и R7 образуют цепь отрицательной обратной связи по постоянной составляющей эмиттерного тока.

Фильтр L1, С6, С7 служит для развязки по высокой частоте. Резистор R5 исключает возможность самовозбуждения каскада на собственной резонансной частоте дросселя L1.

В каскаде УВЧ2 используются транзисторы T4 и T5 типа 2Т602Б. Базовая и коллекторная цепи являются общими для обоих транзисторов. Резистор R10 предназначен для подачи на вход высокочастотного напряжения отрицательной обратной связи. Конденсатор C11 - разделительный по постоянному току. Конденсаторы C14 и C15 совместно с цепочками C12, R12 и C13, R13 служат для частотно-зависимой коррекции коэффициента усиления каскада УВЧ2. Назначение остальных элементов аналогично рассмотренному выше.

Нагрузкой каскада УВЧ2 является приведенное к его выходу входное сопротивление каскада УВЧ3. В качестве элемента межкаскадной связи используется широкополосный трансформатор Tr1 с коэффициентом трансформации по напряжению 4:1.

В каскаде УВЧ3 применяется транзистор Т7 типа 2Т921А. Цепочка С19, R19 служит для коррекции амплитудно-частотной характеристики каскада. Отрицательная обратная связь по току высокой частоты в каскаде осуществляется через цепочку С21, R22. Широкополосный трансформатор Tr2 необходим для получения требуемого сопротивления коллекторной нагрузки транзистора Т7. Назначение остальных элементов аналогично рассмотренному выше.

Оконечный каскад УВЧ4 собран по двухтактной схеме на транзисторах Т11 и Т12 типа 2Т921А. Транзисторы плеч работают в противофазе в режиме отсечки коллекторного тока. Переход от несимметричного выхода каскада УВЧ3 к симметричному входу каскада УВЧ4 производится при помощи широкополосного трансформатора Tr3.

С помощью резистора R35 производится балансировка токов в транзисторах плеч в режиме покоя.

Широкополосный трансформатор Tr4 осуществляет получение "средней точки" в коллекторной цепи оконечного каскада. При помощи широкополосного трансформатора Tr5 производится переход от симметричной схемы выхода оконечного каскада к несимметричному входу антенного согласующего устройства.

ДН представляет собой резистивный делитель R46, R48, R51 и детектор огибающей D15, C45, L13, C44.

ДТ собран на транзисторе Т13 типа /2Т203А/. Параллельно переходу база-эмиттер транзистора Т13 включен резистор R42, через который протекает ток, потребляемый оконечным каскадом. Падение напряжения на резисторе R42 прикладывается к эмиттерному переходу транзистора Т13, и при достижении током определенной величины транзистор Т13 открывается. Сигнал перегрузки снимается с резистора R44. Резистор R45^{*} служит для установки необходимого порога срабатывания ДТ.

Транзистор Т14 служит для термокомпенсации ДТ. Резистор R43 исключает пробой коллекторного перехода транзистора Т13 при снятой перемычке между 1 и 2 контрольными точками. Сигнал перегрузки с ДТ и ДН поступает на микросхему ICL типа 1НТ251, используемую в качестве эмиттерных повторителей, и подается в цепь АРУ фу.

РЛУ собран на транзисторе Т2 типа 2Т368А. На базу транзистора Т2 через конденсатор С4 и антипаразитный резистор R56 подается входной высокочастотный сигнал, а через резистор R1^x и перемычку между контрольными точками 22 и 23 - сигнал перегрузки от ДТ по проводу 2.

Резистором R1^x устанавливается порог срабатывания АРУ в зависимости от величины тока, потребляемого оконечным каскадом.

Порог срабатывания РЛУ выбран более высоким, чем порог в формирующем устройстве, в связи с чем при нормальной работе передатчика каскад РЛУ УМ не вступает в работу.

В случае отказа в цепи АРУ при появлении сигнала перегрузки транзистор Т2 открывается, и усиленный сигнал ВЧ подается в эмиттер усилильного транзистора Т1, увеличивая глубину отрицательной обратной связи по току и снижая усиление транзистора Т1. Одновременно с этим, из-за уменьшения сопротивления коллектор-эмиттер транзистора Т2, возрастает положительный потенциал на эмиттере транзистора Т1, запирая его.

ДТ^О собран на транзисторе Т9 типа 2Т368А. Транзистор Т9 установлен на радиаторе блока УМ в непосредственной близости от оконечных транзисторов. С увеличением температуры радиатора, а следовательно, и корпуса транзистора Т9 коллекторный ток последнего возрастает, напряжение на коллекторе транзистора Т9 при этом уменьшается. Температурные изменения коллекторного напряжения транзистора Т9 усиливаются УПТ на транзисторе Т25 типа 2Т201Б и подаются на регулятор смещения, выполненный по схеме эмиттерного повторителя на транзисторе Т10 типа 2Т904А.

Выходное напряжение эмиттерного повторителя поступает на резистор R35. Стабилитрон D8 и резистор R27 образуют цепь стабилизации напряжения питания транзистора-термодатчика Т9 и транзистора Т25. Установка требуемого выходного напряжения схемы термокомпенсации осуществляется с помощью резистора R29. Конденсаторы С25, С26, С50 - блокировочные по высокой частоте.

В состав схемы цепей коммутации входят поляризованное реле J2 с конденсаторами С47, С48 и резистором R53, реле J1c диодами D16 и D17.

Показанное на схеме положение контактов реле J1 и J2 соответствует режиму работы радиостанции на прием.

При замыкании контактов 1 и 2 сдвоенного тумблера источники постоянного тока, подключаемые к контактам S2-S5 или вилке S8, соединяются параллельно через контакты 41, 51 реле J2. При этом напряжение 12,5 В через контакты 42, 52 реле J2 и контакт 5 розетки S6 подается на Прм радиостанции. Через контакт 9 розетки S6 в схему радиостанции подается некоммутируемое напряжение 12,5В, которое используется для подачи команд от реле J1 управляемого тангентой МТ, и питания цепей самопрослушивания.

При нажатии тангенты на МТ контакт В реле J1 соединяется с корпусом. Реле J1 срабатывает, замыкая контакты 2, 3, и подает напряжение 12,5 В на контакты 2 и 4 реле J2. Через обмотку реле, контакты 11 и 21 реле и резистор R53 проходит ток, реле срабатывает и размыкает контакты 11 и 21. Таким образом, реле J2 потребляет ток только во время переключения. После переключения реле радиостанции переводится в режим передачи. При этом аккумуляторы через контакты 22, 32 реле J2 соединяются последовательно, и напряжение питания 25 В подается на УМ, а через контакт 13 розетки S6 - на антенное реле, которое отключает вход БСН от Прм и подключает его к УМ. В это же время напряжение 12,5 В через контакты 52, 62 реле J2 подается на УМ, а через развязывающий фильтр L14, C46, контакт 7 розетки S6 на блок ФУ.

При отпускании тангенты МТ контакт В реле J1 отсоединяется от корпуса, цепь питания реле J1 обесточивается. Реле устанавливается в исходное положение, замыкая контакты 1, 2, и подает напряжение 12,5 В на контакты 1, 3 реле J2. При этом ток проходит через вторую обмотку реле, контакты 31, 21 реле и резистор R53, возвращая реле в исходное положение, соответствующее режиму приема.

Конденсаторы С47, С48, резистор R57 служат для достижения устойчивого переключения реле J2, резистор R53 ограничивает ток заряда этих конденсаторов. Диоды D22, D23 устраняют напряжение самоиндукции на обмотках реле J2.

Реле J1 предназначено также для дистанционного переключения радиостанции с приема на передачу.

К клеммам Sz9 и Sz10 через двухпроводную линию подключается телефонный аппарат ТА-57.

Выходной сигнал Прм через контакт 10 розетки S6, контакты 13, 23 реле J2, конденсатор C49, клеммы Sz9, Sz10 и двухпроводную линию поступает на телефонный аппарат. Входное сопротивление телефонного аппарата, работающего в режиме приема, велико и ток через обмотку реле J1 недостаточен для его срабатывания.

При нажатии на тангенту телефонного аппарата клеммы Sz9 и Sz10 соединяются между собой через низкое внутреннее сопротивление телефонного аппарата.

Вследствие этого замыкается цепь питания реле J1 и оно срабатывает. Через замкнутые контакты 2 и 3 этого реле подается напряжение на контакты 2 и 4 реле J2. Реле J2 срабатывает и переводит станцию в режим передачи. Диод D16 служит для устранения короткого замыкания низкочастотного сигнала линии через источник питания. Диод D17 предназначен для гашения напряжения самоиндукции, возникающего на обмотке реле J1 при его выключении.

Предохранители В1 и В2 защищают источники тока от коротких замыканий в станции. Диод D20 служит для защиты от неправильного подключения аккумулятора Е1. При неправильном подключении аккумулятора диод D20 открывается напряжением, приложенным к нему в прямом направлении. При этом полюса аккумулятора Е1 соединяются через низкое прямое сопротивление диода, предохранитель В2 сгорает, размыкая цепь аккумулятора.

Стабилитроны D18 и D19 служат для двухстороннего ограничения переменного напряжения с 60 до 3,3 В частоты 60-70 Гц от индукторного вызова телефонного аппарата ТА-57 за счет перераспределения на делителе напряжения, состоящем из конденсатора С49 и стабилизаторов D18 и D19. Этим обеспечивается защита от повреждения Прм и ФУ. Транзистор T21 является инвертором в цепи манипуляции блока ЧТ от приставки БД, которая подключается к розетке Н11. При работе приставки БД положительный импульс 5 В с контакта Н11/2 через делитель напряжения R55, R54 поступает на базу транзистора T21, в результате чего транзистор открывается, замыкая контакт S6/6 на корпус /режим нажатия/.

5.1.12. БСН предназначен для согласования входного сопротивления антенны с входом - выходом приемопередатчика.

Настройка блока производится в режиме передачи, при работе в режиме приема перестройка его не требуется, так как входное сопротивление приемника и выходное сопротивление передатчика одинаковы.

Настройка блока производится ручкой СВЯЗЬ и двумя ручками НАСТРОЙКА АНТЕНН. Переключатель К1 СВЯЗЬ необходим для дискретного изменения емкости связи /конденсаторы С2, С3, С6...С13/, служащей для согласования по активному сопротивлению антенны /приложения 19-21/. Переключатель К2 ГРУБО необходим для дискретного изменения индуктивности вариометра L, подключения укорачивающих конденсаторов С4, С5 и конденсаторов С14-С22, С25, С26, шунтирующих антенну.

Положение ручек СВЯЗЬ и ГРУБО в зависимости от рабочей частоты и типа используемой антенны указаны в таблице настройки, помещенной на крышке радиостанции.

Трансформатор Tr2 предназначен для перехода от несимметричного выхода блока на симметричную нагрузку с целью обеспечения возможности работы радиостанции на antennу "Симметричный вибратор".

Настройка блока и контроль отдачи мощности в antennу осуществляется с помощью схемы индикации по индикаторному прибору ИП типа М4228-17, расположенному на ПП радиостанции. Схема индикации, расположенная в БСН, обеспечивает контроль настройки радиостанции при работе в режиме 10% мощности. Для обеспечения контроля 100% мощности последовательно резистору R подключается резистор R7^x, расположенный на ПП радиостанции.

Диод D1, шунтирующий обмотку реле J2 уменьшает время отпускания реле.

Диод D3 - выпрямляющий.

Диод D4, шунтирующий обмотку трансформатора Tr1, играет роль переменного сопротивления и ограничивает высокочастотный ток в режиме 100% мощности. Элементы индикации D2, С23, С24 осуществляют фильтрацию высокочастотной составляющей выпрямленного тока.

Реле J2 предназначено для подключения БСН к выходу УМ передат-

чика или ко входу приемника.

5.1.13.СЧ /приложения 22, 23/ предназначен для обеспечения гетеродинными частотами Прм и ФУ.

Каждый из генератора блока ГУН выполнен по схеме индуктивной трехточки на транзисторах T21 - T24 /приложения 24-25/, включенных по схеме с общим коллектором. Резисторы R9 - R12 - сопротивления нагрузки. Коммутация генераторов осуществляется инверторами микросхемы ICL, от которой через резисторы R5 - R8 подается напряжение смещения на базу включаемого генератора путем подачи логического "0" на соответствующий вход управления. Контур генератора образуется катушками индуктивности L5-L8, конденсаторами C5-C8 и группами встречно-параллельно включенных варикапов D1-D12. Связь контура с базой транзистора осуществляется через конденсаторы C9, C11, C13, C15. Конденсаторы C10, C12, C14, C16 - разделительные, C1-C4, C17-C20 - блокировочные. Диоды D13-D20, включенные встречно-параллельно, предназначены для стабилизации напряжения генератора в пределах поддиапазона перестройки.

С целью исключения шунтирования контуров генераторов цепью управления частотно-фазовой автоподстройки, варикапы соединены с последней через дроссели L1-L4 и резисторы R1-R4. Резисторы предназначены для предотвращения возбуждения генератора на нерабочих частотах.

Эмиттерные повторители, выполненные на транзисторах T25-T28 и имеющие общую нагрузку: катушку L9 и резистор R18, служат буферными каскадами. Резисторы R16, R18 определяют режим работы каскада по постоянному току. C22 - блокировочный конденсатор.

На транзисторе T30 собран выходной эмиттерный повторитель, который связан с выходом буферных каскадов цепочкой R17, C23. Транзистор T29 является одновременно динамической нагрузкой повторителя и стабилизатором напряжения 5 В для питания микросхемы ICL. Режим работы транзисторов определяется делителем напряжения на резисторах R13, R15, R19, а также резистором R14. Конденсатор C21 - блокировочный, C24 - разделительный.

Электрическая принципиальная схема, перечень элементов и сборочный чертеж платы УМЧ приведены в приложениях 39, 40, 41.

Переменное напряжение кварцевого генератора частоты 10 МГц через согласующий резистор R1 и разделительный конденсатор С3 поступает на вход усилителя-ограничителя, выполненного на транзисторе T1 по схеме с общим эмиттером. Резистор R3 является сопротивлением нагрузки, резистор R2 определяет режим каскада по постоянному току. Резистор R4 совместно с резистором нагрузки R3 образуют делитель напряжения, определяющий верхний уровень ограничения. Резистор R1 служит для согласования выходного сопротивления кварцевого генератора с входным сопротивлением усилителя-ограничителя. С3 - разделительный конденсатор. Делители ДЧ1 и ДЧ2 с общим коэффициентом деления K=4 выполнены на двух D-триггерах /микросхема IC1/, включенных последовательно. Импульсные последовательности частотой 5 и 2,5 МГц снимаются с прямых выходов триггеров и подаются на плату ДФКД.

Первый контур полосового фильтра L1 подключен к выходам делителя ДЧ2 /верхний по схеме триггер микросхемы IC1/, второй контур связан со входом согласующего каскада - эмиттерного повторителя, собранного на транзисторе T2. Резисторы R6-R8 определяют режим согласующего каскада по постоянному току. С6 - разделительный конденсатор. Фильтр по цепи питания платы УМЧ образован конденсаторами C1, C2, C4, C5 и дросселем L1. Элементы R5, C7, C8 образуют фильтр по цепи питания согласующего каскада.

Электрическая принципиальная схема, перечень элементов, сборочный чертеж платы ДФКД приведены в приложениях 27, 28, 29.

Импульсная последовательность частотой 2,5 МГц с платы УМЧ подается на вход делителя ДЧ3, выполненного на триггерах IC3, IC10 /нижний по схеме триггер/, IC6. Коэффициент деления K=5 достигается путем введения обратной связи с инверсного выхода триггера IC6 на вход триггера IC3.

Делитель ДЧ4 образован последовательно включенными делителями на 2,5 и 5 /микросхемы IC7-IC10/. Коэффициент деления K=5 достигается так же, как и в делителе ДЧ3.

Импульсы ДФКД 10 кГц снимаются с прямого выхода триггера микросхемы IC9 /контакт 9/ и подаются на один из входов частотно-фазового цифро-аналогового детектора, выполненного на микро-

схемах IC4, IC5, IC14. Детектор состоит из цифрового частотно-фазового разделителя /IC4 и нижняя по схеме часть микросхемы IC5 – элемент И-НЕ/, токового ключа /другая часть микросхемы IC5 – инвертор, транзисторы T1, T3, T4 микросхемы IC14, транзистор T5 микросхемы IC11/ и интегратора /транзисторы T2, T5 микросхемы IC14, резисторы R24-R26, конденсаторы C4, C5, C8/. На другой вход ЧФД импульсы частоты 10 кГц ОС /импульсы обратной связи/ подаются с ДПКД через согласующий каскад, выполненный на одной половине микросхемы IC1, резисторах R6, R8 и конденсаторе C1. Согласующий каскад необходим для согласования логических уровней сигналов ДФКД и ДПКД, которые по питанию включены последовательно /напряжение питания ДФКД, корпус – плюс 5 В, ДПКД – плюс 5 В – плюс 10 В/.

Транзистор, выполненный на транзисторе T3 микросхемы IC11, резисторах R9, R10, R13 и второй половине микросхемы IC1 /нижние по схеме инверторы/, используется для схемы коммутации БОЧ и ГУН. Сигнал частоты Упр. 0-4 МГц вырабатывается в ДПКД и через транзистор поступает на переключатель установки рабочей частоты радиостанции K1.

Формирователь импульсов наносекундной длительности частоты 5 МГц выполнен на микросхеме IC2. Формирование импульсов наносекундной длительности обеспечивается соединением прямого выхода триггера со входом R через инвертор, выполненный на транзисторе T5 микросхемы IC12 и резисторах R16, R22.

На транзисторах микросхем IC11-IC13 выполнены балансный каскад и компенсационный стабилизатор напряжения. Балансный каскад и резистор R1 предназначены для вырабатывания токов ДПКД и ДФКД. Опорным напряжением для стабилизатора является напряжение, снимаемое с перехода эмиттер-база транзистора T1 и подаваемое в одно из плеч дифференциального усилителя, выполненного на транзисторах T1, T2 микросхемы IC12, резисторах R3 /сопротивление нагрузки/ и R4. Половой транзистор T2 является стабилизатором тока для источника опорного напряжения. Ток через транзистор определяется резистором R2.

На второй вход дифференциального усилителя поступает напряжение с делителя R5, R7, подключенного к выходу стабилизатора.

Управляющее напряжение с выхода дифференциального усилителя поступает на базы соединенных параллельно транзисторов микросхемы IC12, которые являются управляющими транзисторами стабилизатора. Резисторы R12, R15, R18, R21 предназначены для выравнивания токов

транзисторов /для обеспечения равномерной нагрузки по току/.

Транзистор микросхемы IC11 в диодном включении предназначен для защиты транзисторов микросхемы IC13 от перегрузки при коротком замыкании выхода стабилизатора.

Выходное напряжение 10 В используется для питания последовательно включенных ДПКД и ДФКД, а также для питания БОЧ.

В балансном каскаде в качестве управляющих используются транзисторы микросхемы IC11, включенные параллельно. Для уменьшения рассеиваемой транзисторами мощности эмиттеры их соединены с целью 10 В через резистор R11.

Базы транзисторов подключены к выходу дифференциального усилителя, собранного на транзисторах микросхемы IC12 и резисторах R11, R14, R17. На один из входов усилителя подается напряжение питания ДФКД 5 В, которое сравнивается с опорным напряжением, снимаемым с делителя R19, R20.

Резистор R23 платы ДФКД предназначен для организации уровня логической "1" на неиспользуемых входах R и S микросхем IC2, IC3, IC6. Конденсаторы C2, C3, C6, C7 - развязывающие.

Электрическая принципиальная схема, перечень элементов, сборочный чертеж платы ДПКД приведены в приложениях 30, 31, 32.

Усилитель-ограничитель УО2 выполнен на одной половине микросхемы IC3 /верхний по схеме инвертор/. Вход инвертора соединен с делителем напряжения R1, R2, подключенным к выходу инвертора через обмотку трансформатора, расположенного на плате БОЧ. С1 - блокирующий конденсатор.

Делитель содержит четыре декады, выполненные на микросхемах IC1, IC2, IC5, IC8 /первая/; IC11, IC13 /вторая/; IC16, IC18 /третья/; IC23, IC25 /четвертая/. Последняя четвертая декада предназначена для формирования дробных разрядов ДПКД. Формирование сигнала для установки десятично-дробного коэффициента деления осуществляется элементами IC21, IC22, IC24, IC26, IC27, которые управляются декадой и переключателем установки рабочей частоты радиостанции единиц кГц. Управление остальными декадами осуществляется логическими элементами микросхем IC6, IC7 /первая декада/, IC9, IC12 /вторая декада/; IC14, IC15, IC19, IC20 /третья неполная декада/. С помощью схем И-ИЛИ - НЕ микросхемы IC17

образуются внутренние связи третьей декады, работающей в коде 4-2-1. Цепи обратного сквозного переноса для первых двух декад выполнены на микросхемах IC3 /нижний по схеме элемент И-НЕ/, IC4, IC10.

Для повышения помехоустойчивости ДПКД ко входам управления подключены резисторы R4-R28; соединенные с шиной питания ДПКД. Конденсаторы C2, C3 - развязывающие.

Диоды D1 и D2 позволяют перевести код управления 8-4-2-1 первых двух декад в код 8-4-3-2-1, что позволяет сократить число направлений соответствующих переключателей набора частоты.

Резистор R3 обеспечивает уровень логической "1" на входах R, S микросхем IC1, IC2, IC5, IC8. Диод D3 расширяет функциональные возможности логической микросхемы IC15.

Электрическая принципиальная схема, перечень элементов, сборочный чертеж платы БС приведены в приложениях 33, 34, 35.

На микросхемах IC1, IC2 собран стабилизатор напряжения для питания выходного каскада интегратора, согласующих каскадов и ГУН. Для получения опорного напряжения используется переход эмиттер-база транзистора T2, включенного через стабилизатор тока, собранного на транзисторе T1 и резисторе R1. Опорное напряжение подается на один из входов дифференциального усилителя, собранного на транзисторах микросхемы IC2, микросхемы IC1 /динамическая нагрузка/, резисторах R4, R5, R8. На другой вход усилителя подается напряжение обратной связи, снимаемое с делителя на резисторах R6, R9. Конденсаторы C1, C4 - блокирующие. Питание интегратора, согласующих каскадов и ГУН осуществляется от повторителя на транзисторах T3-T5 микросхемы IC2, включенных параллельно. Транзистор T3 микросхемы IC1 в диодном включении предназначен для защиты транзисторов T3-T5 микросхемы IC2 от перегрузки при коротком замыкании выхода стабилизатора.

Резисторы R2, R7 - сопротивления нагрузки интегратора. Элементы R3, C2, C3 образуют фильтр низких частот.

На транзисторах T3, T4 собраны два согласующих каскада. Для уменьшения потребляемой мощности они включены по питанию последовательно. Режим по постоянному току обеспечивается делителем R12-R14 и нагрузочными резисторами R15, R16. Конденсаторы C7-C9 -

блокировочные, С10 - разделительный. Цепочки С5, R10 и С6, R11 препятствуют самовозбуждению согласующих каскадов. R17 - согласующий резистор.

Электрическая принципиальная схема, перечень элементов, сборочный чертеж платы БОЧ приведены в приложениях 36, 37, 38.

Коммутация полосовых фильтров опорных частот осуществляется логическими элементами микросхемы IC1, используемыми в качестве инверторов. При поступлении на вход управления уровня логического "0" на выходе соответствующего элемента возникает высокий потенциал-уровень логический "1", который поступает в качестве разрешающего сигнала на соответствующую схему И-НЕ микросхемы IC2 и один из эмиттерных повторителей, выполненных на транзисторах Т1-Т4 через резисторы в их базовых цепях.

Полосовые фильтры выполнены в виде двух индуктивно связанных контуров, первый из которых соединен с источником коротких отрицательных импульсов /микросхема IC2/ через диод и работает как контур ударного возбуждения. Второй контур предназначен для подавления соседних частот, кратных 5 МГц, и через емкость связи соединен со входом соответствующего повторителя. Конденсаторы С1-С10 - блокировочные. Резисторы R2-R5 служат для замыкания цепи постоянного тока для диодов. Выходное напряжение полосовых фильтров, снимаемое с общей нагрузки R6 через разделительный конденсатор С12, поступает на вход балансного смесителя, выполненного на микросхеме IC3. На другой вход смесителя через разделительный конденсатор С11 поступает напряжение от ГУН через согласующий каскад. Согласующий каскад выполнен на транзисторе Т5. Транзистор Т6 является одновременно динамической нагрузкой повторителя и стабилизатором напряжения 6 В для питания балансного смесителя. Режим транзисторов Т5, Т6 по постоянному току обеспечивается базовым делителем напряжения R7-R9. Конденсаторы С14-С21 - блокирующие, С13 - разделительный.

Напряжение разностной частоты после балансного смесителя через согласующий трансформатор /служит нагрузкой смесителя/ подается на УО платы ДПКД.

Двухконтурный фильтр L1 с внешнеемкостной связью предназначен для выделения фиксированной частоты 500 кГц из импульсной последовательности частоты 500 кГц, поступающей с платы ДФКД. Резистор R1 служит для согласования входа фильтра с выходом микросхемы.

5.2. Микротелефон

5.2.1. МТ предназначен для:

переключения радиостанции в режим приема или передачи;
усилния сигнала микрофона;
управления сигналом тонального вызова при передаче;
прослушивания звукового сигнала в головных телефонах при приеме;
осуществления звуковой сигнализации о разряде аккумуляторных батарей.

5.2.2. МТ состоит из двух головных телефонов и металлического корпуса с клапаном для переключения радиостанции с приема на передачу и обратно, кнопки тонального вызова.

Внутри металлического корпуса размещены микрофон и усилитель. С помощью кабеля МТ через разъем подключается к колодке с гравировкой МТ на ПП приемопередатчика.

5.2.3. Сигналы звуковых частот с микрофона /приложение 42-44/, дающего подъем АЧХ 6 дБ/окт. в сторону верхних частот, поступают на микрофонный усилитель. Конденсатор C1 служит для исключения возможности попадания в низкочастотную сигнальную цепь высокочастотных наводок и ограничения высокочастотной части спектра речи. МТ усилитель выполнен на микросхеме ICL, имеет коэффициент усиления 20, установленный сопротивлением резистора R1. Схема звуковой сигнализации разряда аккумуляторных батарей в режиме передачи собраны на микросхеме ICL.1 - ICL.4 типа 134ЛБ1А и представляет собой генератор прерывистых колебаний частоты 500 Гц - 1 кГц /приложение 3/. Частота колебаний задается резистором R34 и конденсатором C3, а частота прерывания колебаний - резистором R33 и конденсаторами C1, C2. Напряжение звуковой сигнализации снимается с резистора R35 на вход приемника через резистор R36, конденсатор

C5 и контакт H1/29.

Генератор управляется датчиком разряда аккумуляторных батарей, который выполнен на транзисторе T10 типа 2T203A. Режим датчика установлен выбором резисторов R18, R19, R20, R22 и стабилитрона D9 /2C168A/ таким, что при напряжении аккумуляторных батарей более 11,25 В на выводе 3 микросхемы IC1.1 обеспечивается уровень логического "0" и генерация отсутствует. При напряжении аккумуляторной батареи менее 11,25 В на выводе 3 микросхемы IC1.1 обеспечивается уровень логической "1", что приводит к возникновению генерации и в головных телефонах прослушивается прерывистый тон. Транзистор T11 /2П103Д/ и стабилитрон D12 /2C156B/ служат для стабилизации напряжения питания схемы индикации разряда. В МТ /приложение 42/ предусмотрен тональный вызов /ТОН-ВЫЗОВ/. При нажатии кнопки ТОН-ВЫЗОВ контакты 1 и 3 микропереключателя K1 размыкаются, отключая микрофон от входа микрофонного усилителя /контакт IC1.8/, а контакты 1 и 2 замыкаются, подключая через конденсатор C2 неинвертированный выход усилителя /контакт IC1.1/ к его входу. Этим обеспечивается глубокая положительная обратная связь, и усилитель переводится в режим генерации. С инвертированного выхода усилителя /контакт IC1.2/ напряжение не менее 100 мВ частоты 1 кГц $+500$ Гц через дроссель L, контакт H1/4 поступает на модуляционный вход передатчика.

5.3. Дополнительная аккумуляторная батарея

5.3.1. Дополнительная аккумуляторная батарея предназначена для питания радиостанции от аккумуляторов 2НКП-24М.

5.3.2. Батарея состоит из металлического корпуса, к которому пристегиваются ремни для переноски и подушка для удобства при переноске.

5.3.3. Внутри корпуса размещены 10 аккумуляторов 2НКП-24М, соединяющиеся между собой перемычками. Аккумуляторы соединяются в две батареи по 12,5 В. С помощью гибкого кабеля, на котором имеется разъем, батарея подключается к разъему, расположенному на блоке усилителя мощности приемопередатчика и имеющему гравировку БАТАРЕЯ.

5.4. Антенное имущество

5.4.1. В комплект антенного имущества входят:

антенна "Штырь-2 м";

антенна "Штырь-4 м";

антенна "Симметричный вибратор".

5.4.2. Антенна "Штырь-2 м" выполнена таким образом, что во взвешенном состоянии /при нажатой пружине/ она приобретает жесткость по всей длине. В свободном состоянии /при отпущеной пружине/ имеет гибкость по всей длине.

5.4.3. Антенна "Штырь-4 м" образуется путем соединений антенны "Штырь-2 м" с антенной 42-091-632-00, состоящей из отдельных колен, соединяющихся между собой специальными замками.

5.4.4. Антенна "Симметричный вибратор" /приложение 45/ может быть развернута как на мачте, так и на естественных опорах /шест, деревья, крыша дома и т. п./.

Каждое плечо антенны "Симметричный вибратор" состоит из трех отрезков провода и при помощи одноштырькового разъема можно обрезовать длину плеча 8, 15, 25 м, к которому подходит питающий двухпроводный фидер длиной 15 м. Посреди антенны закреплен фал из капроновой лески длиной 15 м, предназначенный для развертывания антенны на местных предметах или опорной мачте высотой 8 м.

Мачта представляет собой набор из 19 труб, соединенных между собой попарно посредством гибких тросов с пружинами. В комплект мачты входят три растяжки, диск /опора/, кол, ограничитель, держатели.

5.5. Телеграфный ключ

5.5.1. В радиостанции применен малогабаритный Тлг ключ. При работе радиостанции ключ укрепляется на верхней стенке кожуха приемопередатчика или на опоре при работе с колена.

Регулировка величины свободного хода и усилия нажатия рычага ключа осуществляется двумя винтами и гайкой при снятой верхней крышке, которая крепится к основанию ключа двумя винтами.

радиостанции.

8.7. Внутренняя упаковка может быть двух вариантов исполнения: для длительного и кратковременного хранения. Эти способы внутренней упаковки описаны в "Инструкции по эксплуатации 42-000-774-00".

Схема электрическая функциональная приемопередатчика

ADÓ-VEVŐ elektromos funkcionális kapcsolási rajza

ПРИЛОЖЕНИЕ 1
1. МЕЛЛЕКЛЕТ

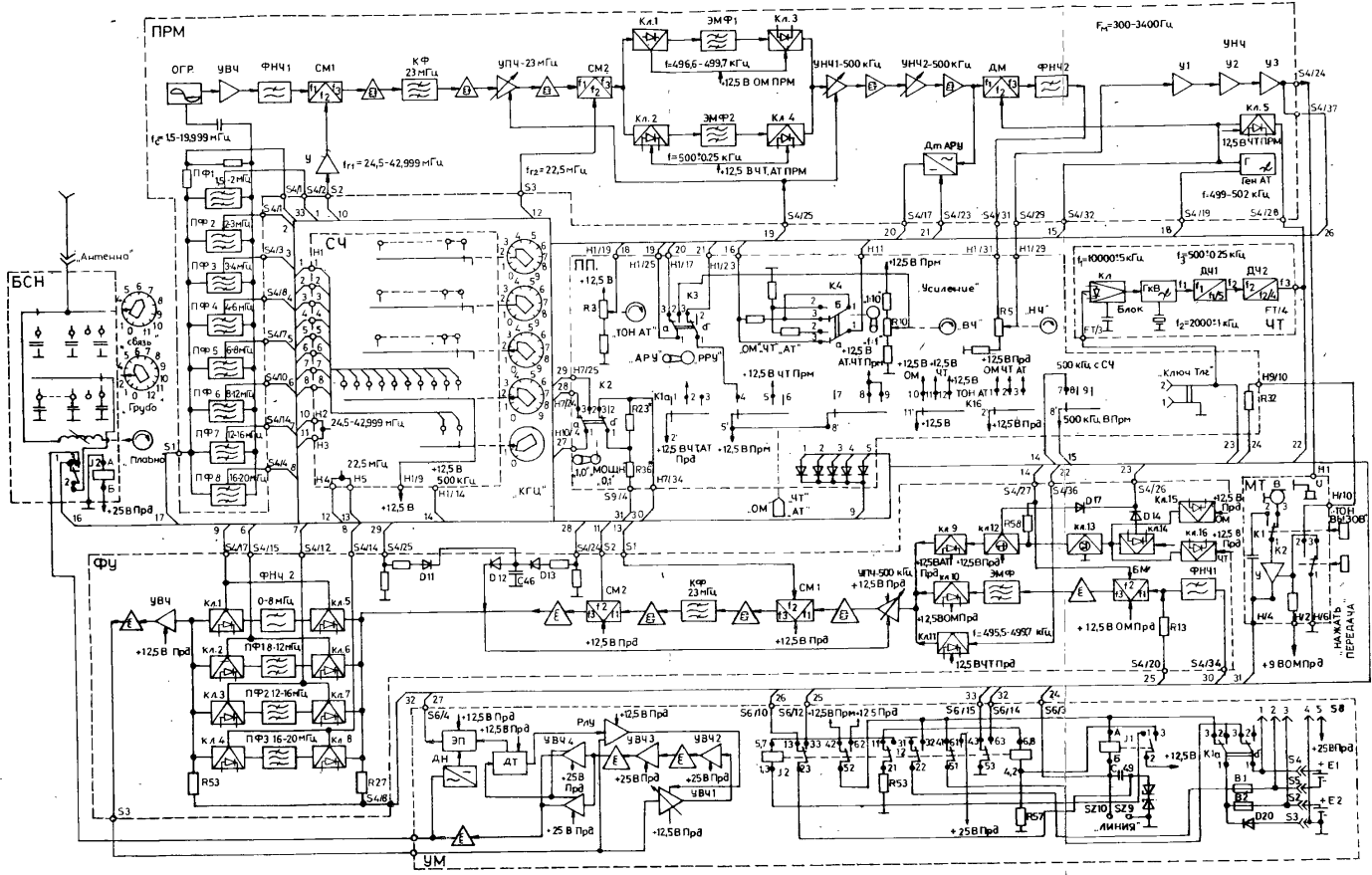


Схема электрическая функциональная СЧ
SZE funkcionális elektromos kapcsolási rajza

ПРИЛОЖЕНИЕ 2
2. MELLÉKLET

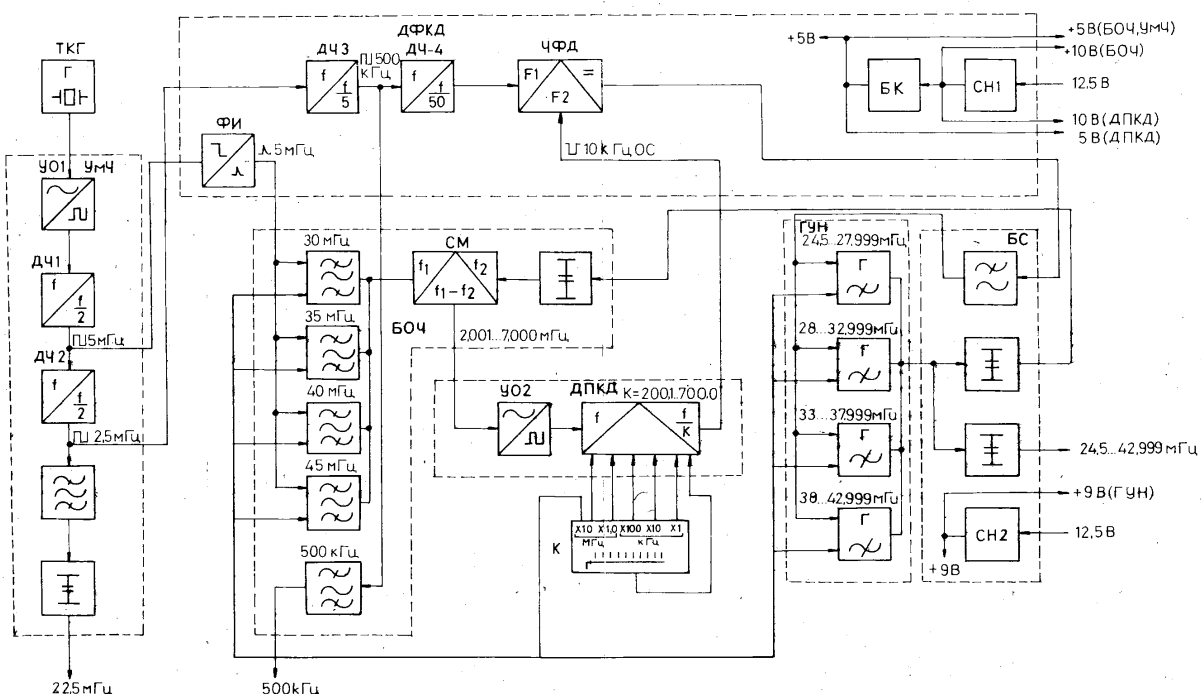
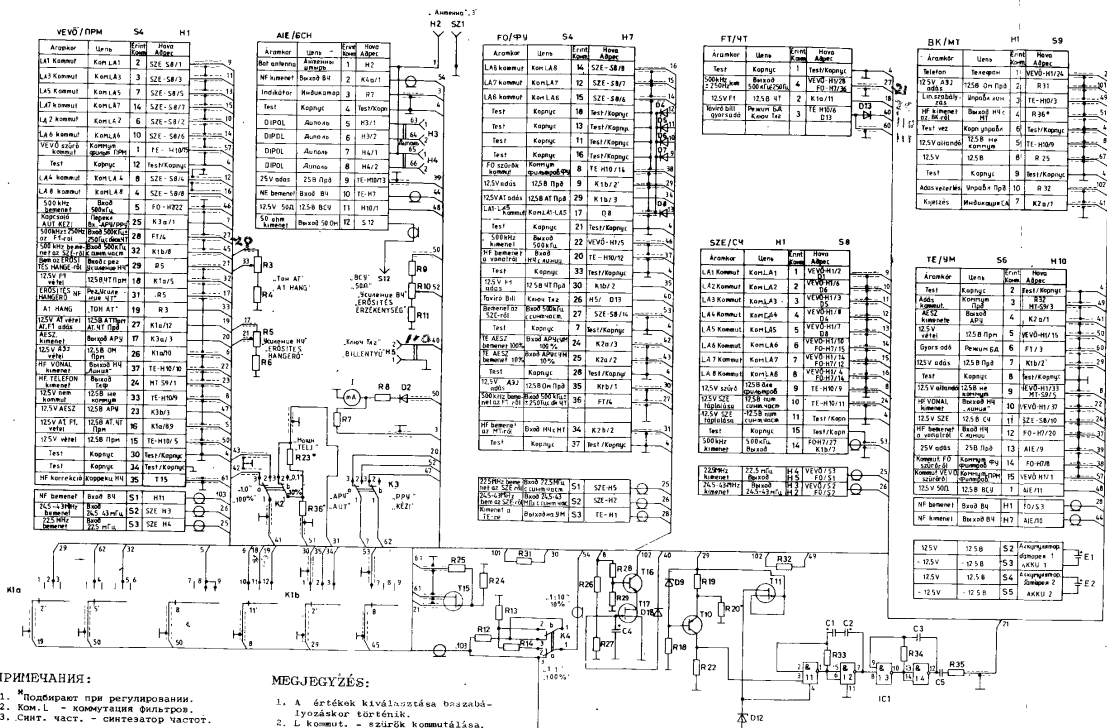


Схема электрическая принципиальная приемопередатчика
ADÓ-VEVŐ elektromos elvi kapcsolási rajza

ПРИЛОЖЕНИЕ 3
3. MELLÉKLET



ПРИЛОЖЕНИЕ 4

Перечень элементов приемопередатчика

| Поз. обозн. | Наименование | Кол. | Примечание |
|----------------|--|------|--------------------|
| | Приемник 42-022-001-00 ЯГ2.022.004 | 1 | |
| | Блок согласования и настройки 42-240-604-00 ЯГ2.240.027 | 1 | |
| | Устройство формирующее 42-084-601-00 ЯГ2.084.020 | 1 | |
| | Блок ЧТ 42-210-603-00 ЯГ2.210.019 | 1 | |
| | Синтезатор частот 42-205-003-00 ЯГ2.205.000 | 1 | |
| | Микротелефон 43-844-601-00 ЯГ3.844.019 | 1 | |
| | Усилитель мощности 42-030-602-00 ЯГ2.030.015 | 1 | |
| IC1 | Микросхема 134ЛБ1А бКО.347.083 ТУ1 | 1 | |
| E1, E1 | Батарея аккумуляторная 10НКБН-3,5 ТУ16-729.203-79 | 2 | |
| Il | Миллиамперметр М4228.17,0-1 мА, В ТУ25-04.3927-80 | 1 | |
| | Конденсаторы К53-4 ОЖО.464.037 ТУ | | |
| | Конденсаторы КМ-56 ОЖО.460.043 ТУ | | |
| C1, C2 | K53-4-15-15 \pm 20% | 2 | |
| C3 | КМ-56-Н90-0,1 мкФ $\frac{+80}{-20}$ % | 1 | |
| C4 | K53-4-15-15 \pm 20% | 1 | |
| C5 | КМ-56-Н30-0,015 мкФ $\frac{+50}{-20}$ % | 1 | |
| | Резисторы R534 RX-74.381/1MF-151-82 | | |
| | Резисторы СП4-1 ОЖО.468.045 ТУ | | |
| R3 | СП4-1a-0,5-47 кОм-А-ВС-2-20 | 1 | |
| R4 | R534.10 kOhm \pm 2% | 1 | /0,125Вт \pm 10% |
| R5 | СП4-1a-0,5-4,7 кОм-А-ВС-2-20 | 1 | |
| R6 | R534.100 Ohm \pm 2% | 1 | /0,125Вт \pm 10% |
| R7 | R534.68 Ohm \pm 2% | 1 | /0,125Вт \pm 10% |
| R8 | R534.16 kOhm \pm 2% | 1 | /0,125Вт \pm 10% |
| R9 | R534.6,8 kOhm \pm 2% | 1 | /0,125Вт \pm 10% |
| R10 | СП4-1a-0,5-680 Ом-А-ВС-2-20 | 1 | |
| R11 | R534 1,2 kOhm \pm 2% | 1 | /0,125Вт \pm 10% |
| R12 | R534 39 Ohm \pm 2% | 1 | /0,125Вт \pm 10% |

42-000-772-00/1

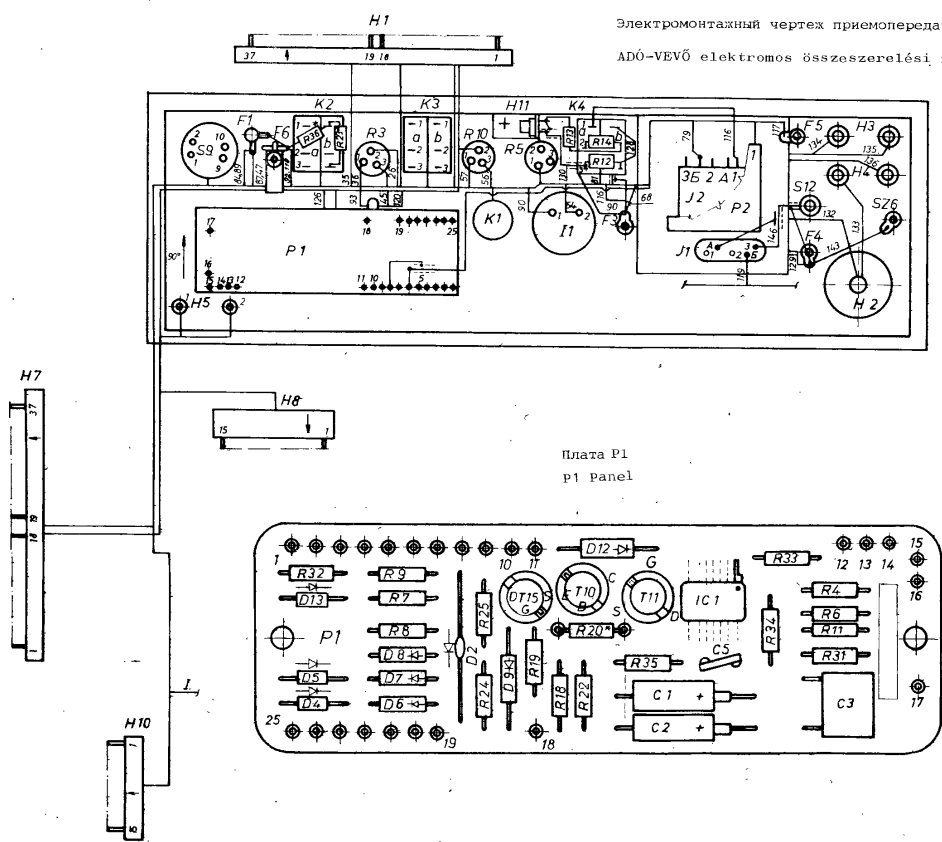
Продолжение

| Поз. обозн. | Наименование | Кол. | Примечание |
|----------------|---|------|--------------------------------------|
| R13 | R534 10 Ohm $\pm 2\%$ | 1 | /0,125Вт $\pm 10\%$ / |
| R14 | R534 39 Ohm $\pm 2\%$ | 1 | /0.125Вт $\pm 10\%$ / |
| R18 | R534 4,7 kOhm $\pm 2\%$ | 1 | /0,125Вт $\pm 10\%$ / |
| R19 | R534 2,7 kOhm $\pm 2\%$ | 1 | /0,125Вт $\pm 10\%$ / |
| R20* | R534 1,5 kOhm $\pm 2\%$ | 1 | 1,5-3 кОм /0,125Вт $\pm 10\%$ / |
| R22 | R534 3,6 kOhm $\pm 2\%$ | 1 | /0,125Вт $\pm 10\%$ / |
| R23* | R534 5,6 kOhm $\pm 2\%$ | 1 | 5,6-6,8 кОм /0,125Вт $\pm 10\%$ / |
| R24 | R534 100 kOhm $\pm 2\%$ | 1 | /0,125Вт $\pm 10\%$ / |
| R25 | R534 56 kOhm $\pm 2\%$ | 1 | /0,125Вт $\pm 10\%$ / |
| R26 | R534 150 kOhm $\pm 2\%$ | 1 | /0,125Вт $\pm 10\%$ / |
| R27 | R534 680 kOhm $\pm 2\%$ | 1 | /0,125Вт $\pm 10\%$ / |
| R28 | R534 18 kOhm $\pm 2\%$ | 1 | /0,125Вт $\pm 10\%$ / |
| R29 | R534 3,3 kOhm $\pm 2\%$ | 1 | /0,125Вт $\pm 10\%$ / |
| R31, R32 | R534 1 kOhm $\pm 2\%$ | 2 | /0,125Вт $\pm 10\%$ / |
| R33 | R534 5,6 kOhm $\pm 2\%$ | 1 | /0,125Вт $\pm 10\%$ / |
| R34 | R534 2,2 kOhm $\pm 2\%$ | 1 | /0,125Вт $\pm 10\%$ / |
| R35 | R534 24 kOhm $\pm 2\%$ | 1 | /0,125Вт $\pm 10\%$ / |
| R36* | R534 7,5 kOhm $\pm 2\%$ | 1 | 6,2-8,2 кОм /0,125Вт $\pm 10\%$ / |
| K1 | Переключатель ПГ2-18-ЗП8НВ ОЮО.360.068 ТУ | 1 | |
| K2-K4 | Микротумблер МТ-3 ОЮО.360.016 ТУ | 3 | |
| D2 | Диод 2Д103А ТТ3.362.060 ТУ | 1 | |
| D4-D8 | Диод 2Д522Б дР3.362.029-01 ТУ | 5 | |
| D9 | Стабилитрон 2С168А СМ3.362.077 ГЧ СМ3.362.805 ТУ | 1 | |
| T10 | Транзистор 2Т203А ШЫ3.365.007 ТУ | 1 | |
| T11 | Транзистор 2П103Д ТФ3.365.000 ТУ | 1 | |
| D12 | Стабилитрон 2С156В СМ3.362.839 ГЧ СМ3.362.839 ТУ | 1 | |
| D13 | Диод 2Д522Б дР3.362.029-01 ТУ | 1 | |
| T15 | Транзистор 2П103Д ТФ3.365.000 ТУ | 1 | |
| T16 | Транзистор 2Т312Б ЖК3.365.143 ТУ | 1 | |
| T17 | Транзистор 2П103Д ТФ3.365.000 ТУ | 1 | |

Продолжение

| Поз. обозн. | Наименование | Кол. | Примечание |
|----------------|---|------|------------|
| D18 | Диод 2Д522Б ДР3.362.029-01 ТУ | 1 | |
| H1 | Розетка РЛМИ2-/37К, 3М, 4Н/ ГС-Оп /1Н+1М+18К+2Н+1М+19К+1М+1Н/ В KeO364.008 ТУ | 1 | |
| H2 | Гнездо антеннное 46-604-603-00 ЯГ6.604.025 Сп | 1 | |
| H3-H5 | Гнездо штекельное 56-604-000-00 ЯГ6.604.026 Сп | 3 | |
| Sz1 | Клемма 46-625-017-00 ШИ6.625.017 Сп | 1 | |
| H7 | Розетка РЛМИ2-/37К, 3М, 3Н/ ГС-Оп /1Н+1М+18К+2Н+1М+19К+1М+1Н/ В KeO364.008 ТУ | 1 | |
| S8 | Вилка РЛМИ2-/15К, 2Л, 2М/ ШС-Оп /1Л+1М+14К+1М+1Л/ В KeO.364.008 ТУ | 1 | |
| S9 | Вилка 2РМГ22Б10Ш1Е2Б ГЕО.364.140 ТУ | 1 | |
| H10 | Розетка РЛМИ2-/15К, 2М, 2Н/ ГС-Оп /1Н+1М+14К+1М+1Н/ В KeO.364.008 ТУ | 1 | |
| H11 | Розетка СР-50-112ФВ ОЮО.364.032 ТУ | 1 | |
| S12 | Вилка СРГ-50-263 ФВ ВРО.364.014 ТУ | 1 | |

Электромонтажный чертеж приемопередатчика
ADÓ-VEVŐ elektromos összeszerelési rajza



42-000-772-00/1

ПРИЛОЖЕНИЕ 5
5. MELLÉKLET

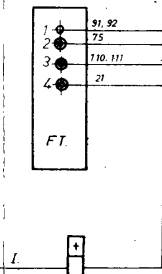
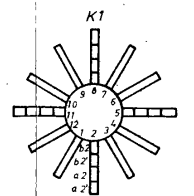
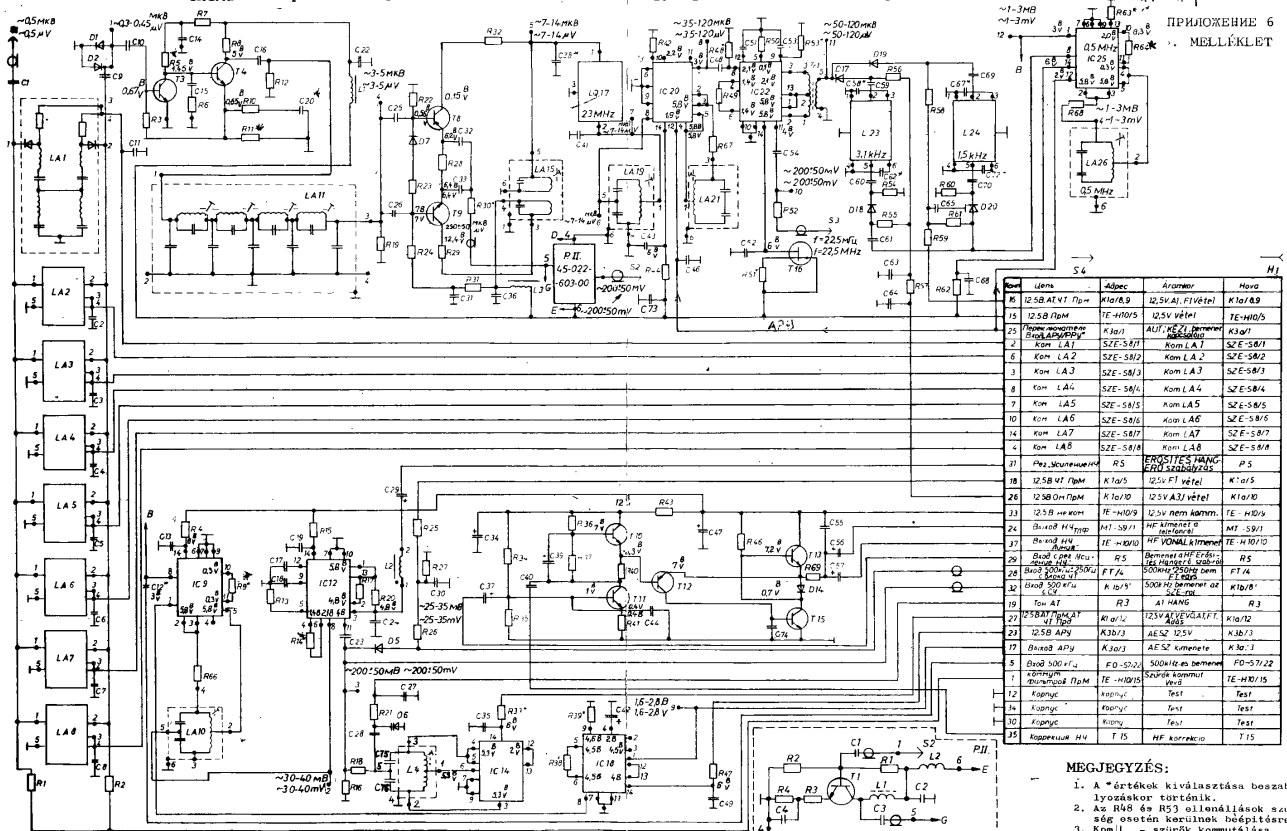


Схема электрическая принципиальная Прм. VEVÖ egység elektromos elvi kapcsolási rajza



ПРИМЕЧАНИЯ: 1. Подбирают при регулировании.
2. Резисторы R48, R53 устанавливают при необходимости.
3. Ком. L - коммутация фильтров.
4. Напряжения, указанные на контролных гнездах и элементах, даны для справок.

MEGJEGYZÉS:

1. A "értékkel" kiválasztása beszabályozott.
2. Az R48 és R53 állományokat szükség esetén kerülnek beállításra.
3. Koml. - szürük komutálásra.
4. Az ellenőrzési pontokon és elemekben feltüntetett rezultátokat tájékoztató jellogók.

42-1111-772-00/2

ПРИЛОЖЕНИЕ 7

Перечень элементов Прм

| Поз. обозн. | Наименование | Кол. | Примечание |
|----------------|---|------|------------|
| LA1 | Фильтр 42-067-608-00 ЯГ2.067.110 | 1 | |
| LA2 | Фильтр 42-067-609-00 ЯГ2.067.110-01 | 1 | |
| LA3 | Фильтр 42-067-610-00 ЯГ2.067.110-02 | 1 | |
| LA4 | Фильтр 42-067-611-00 ЯГ2.067.110-03 | 1 | |
| LA5 | Фильтр 42-067-612-00 ЯГ2.067.110-04 | 1 | |
| LA6 | Фильтр 42-067-613-00 ЯГ2.067.110-05 | 1 | |
| LA7 | Фильтр 42-067-614-00 ЯГ2.067.110-06 | 1 | |
| LA8 | Фильтр 42-067-615-00 ЯГ2.067.110-07 | 1 | |
| IC9 | Микросхема 435 УВ1 бКО.347.009 тУ | 1 | |
| LA10 | Контур 0,5 МГц 42-062-619-00 ЯГ2.062.089 | 1 | |
| LA11 | Фильтр 42-067-607-00 ЯГ2.067.111 | 1 | |
| IC12 | Микросхема 435ХА1 бКО.347.009 тУ | 1 | |
| L4 | Контур 44-777-757-00 ЯГ4.777.103 | 1 | |
| IC14 | Микросхема 435 УВ1 бКО.347.009 тУ | 1 | |
| LA15 | Контур 23 МГц 42-062-618-00 ЯГ2.062.088-01 | 1 | |
| P2 | Плата УС 45-022-603-00 ЯГ5.022.002 | 1 | |
| LQ17 | Фильтр ПФ2П 286 РЦ2.067.165 тУ | 1 | |
| IC18 | Микросхема 435 ДА1 бКО.347.009 тУ | 1 | |
| LA19 | Контур 23 МГц 42-062-017-00 ЯГ2.062.088 | 1 | |
| IC20 | Микросхема 435 УВ1 бКО.347.009 тУ | 1 | |
| LA21 | Контур 23 МГц 42-062-017-00 ЯГ2.062.088 | 1 | |
| IC22 | Микросхема 435ХА1 бКО.347.009 тУ | 1 | |
| L23 | Фильтр ФЭМ-034Н-500-3,1 УИО.206.020 тУ | 1 | |
| L24 | Фильтр ФЭМ-035-500-1,5 УИО.206.021 тУ | 1 | |
| IC25 | Микросхема 435 УВ1 бКО.347.009 тУ | 1 | |
| LA26 | Контур 0,5 МГц 42-062-619-00 ЯГ2.062.089 | 1 | |
| | Конденсаторы КД ОЖО.460.154 тУ | | |
| | Конденсаторы КМ ОЖО.460.043 тУ | | |
| | Конденсаторы КМ-6 ОЖО.460.061 тУ | | |
| | Конденсаторы К53-4 ОЖО.464.037 тУ | | |
| C1 | КМ-5б-Н30-0,033 мкФ $\frac{+50}{-20}\%$ | 1 | |

| Поз. обозн. | Наименование | Кол. | Примечание |
|----------------|--|------|------------|
| C2...C8 | КМ-5б-Н30-4700 пФ $^{+50\%}_{-20\%}$ | 7 | |
| C9, C10 | КМ-5б-Н30-0,033 мкФ $^{+50\%}_{-20\%}$ | 2 | |
| C11 | КМ-5б-Н30-4700 пФ $^{+50\%}_{-20\%}$ | 1 | |
| C12* | КМ-5б-М47-330 пФ $\pm 10\%$ | 1 | 30-390 пФ |
| C13, C14 | КМ-5б-Н30-0.033 мкФ $^{+50\%}_{-20\%}$ | 2 | |
| C15 | КМ-5б-М750-680 пФ $\pm 10\%$ | 1 | |
| C16..C18 | КМ-5б-Н30-0,033 мкФ $^{+50\%}_{-20\%}$ | 3 | |
| C20 | КД-1-М1500-91 пФ $\pm 10\%-3$ | 1 | |
| C22..C28 | КМ-5б-Н30-0,033 мкФ $^{+50\%}_{-20\%}$ | 7 | |
| C29 | K53-4-20-4,7 $\pm 20\%$ | 1 | |
| C30..C33 | КМ-5б-Н30-0,033 мкФ $^{+50\%}_{-20\%}$ | 4 | |
| C34 | K53-4-20-4,7 $\pm 20\%$ | 1 | |
| C35, C36 | КМ-5б-Н30-0,033 мкФ $^{+50\%}_{-20\%}$ | 2 | |
| C37 | K53-4-20-4,7 $\pm 20\%$ | 1 | |
| C38* | КД-1-М47-12 пФ $\pm 10\%-3$ | 1 | 10-36 пФ |
| C39 | K53-4-15-0,47 $\pm 20\%$ | 1 | |
| C40 | КМ-6А-М1500-8200 пФ $\pm 20\%$ | 1 | |
| C41 | КД-1-М47-12 пФ $\pm 10\%-3$ | 1 | |
| C42 | K53-4-15-1,0 $\pm 20\%$ | 1 | |
| C43 | КМ-5б-Н30-0,033 мкФ $^{+50\%}_{-20\%}$ | 1 | |
| C44 | КМ-5б-Н30-0,015 мкФ $\pm 20\%$ | 1 | |
| C46 | КМ-5б-Н30-0,033 мкФ $^{+50\%}_{-20\%}$ | 1 | |
| C19 | КМ-6А-Н30-0,47 мкФ | 1 | |
| C47 | K53-4-20-4,7 $\pm 20\%$ | 1 | |
| C48, C49 | КМ-5б-Н30-0,033 мкФ $^{+50\%}_{-20\%}$ | 2 | |
| C51..C54 | КМ-5б-Н30-0,033 мкФ $^{+50\%}_{-20\%}$ | 4 | |
| C55 | КМ-6А-Н90-0,47 мкФ | 1 | |
| C56, C57 | K53-4-15-15 $\pm 20\%$ | 2 | |
| C58* | КМ-5б-М75-200 пФ $\pm 10\%$ | 1 | 180-220 пФ |

Продолжение

| Поз. обозн. | Наименование | Кол. | Примечание |
|----------------|--|------|-------------------------------------|
| C59...C61 | КМ-56-Н30-0,033 мкФ $^{+50\%}_{-20\%}$ | 3 | |
| C62* | КМ-56-М75-150 пФ $\pm 10\%$ | 1 | 120-180 пФ |
| C64, C65 | КМ-56-Н30-0,033 мкФ $^{+50\%}_{-20\%}$ | 3 | |
| C67* | КМ-56-М75-120 пФ $\pm 10\%$ | 1 | 82-120 пФ |
| C68...C70 | КМ-56-Н30-0,033 мкФ $^{+50\%}_{-20\%}$ | 3 | |
| C72* | КМ-56-М75-100 пФ $\pm 10\%$ | 1 | 68-100 пФ |
| C63 | КМ-6А-Н90-0,47 мкФ | 1 | |
| C73 | КМ-56-Н30-0,01 мкФ $^{+50\%}_{-20\%}$ | 1 | |
| C74 | КМ-6А-М1500-0,01 мкФ $\pm 20\%$ | 1 | |
| C75 | КМ-56-М75-620пФ $\pm 10\%$ | 1 | |
| C76 | КМ-56-М750-2200пФ $\pm 10\%$ | 1 | |
| L1 | Дроссель высокочастотный ДМ-0,1-200 мкГн $\pm 5\%$ -В ГИО.477.005ТУ | 1 | |
| L2 | Дроссель 44-750-637-00 яг4.750.043 | 1 | |
| L3 | Дроссель высокочастотный ДМ-0,1-200 мкГн $\pm 5\%$ -В ГИО.477.005ТУ | 1 | |
| | Резисторы R534 RX-74.381/IMF-151-82 | | |
| R1...R3 | R534 1,5 kOhm $\pm 2\%$ | 3 | /0,125Вт $\pm 10\%$ / |
| R4 | R534 3 kOhm $\pm 2\%$ | 1 | /0,125Вт $\pm 10\%$ / |
| R5 | R534 1,3 kOhm $\pm 2\%$ | 1 | /0,125Вт $\pm 10\%$ / |
| R6 | R534 220 Ohm $\pm 2\%$ | 1 | /0,125Вт $\pm 10\%$ / |
| R7 | R534 1,2 kOhm $\pm 2\%$ | 1 | /0,125Вт $\pm 10\%$ / |
| R8 | R534 1,3 kOhm $\pm 2\%$ | 1 | /0,125Вт $\pm 10\%$ / |
| R9* | R534 82 Ohm $\pm 2\%$ | 1 | 43-100 Ом /0,125Вт $\pm 10\%$ / |
| R10 | R534 27 Ohm $\pm 2\%$ | 1 | /0,125Вт $\pm 10\%$ / |
| R11* | R534 150 Ohm $\pm 2\%$ | 1 | 120-180 Ом /0,125Вт $\pm 10\%$ / |
| R12 | R534 360 Ohm $\pm 2\%$ | 1 | /0,125Вт $\pm 10\%$ / |
| R13 | R534 10 Ohm $\pm 2\%$ | 1 | /0,125Вт $\pm 10\%$ / |
| R14* | R534 82 Ohm $\pm 2\%$ | 1 | 43-100 Ом /0,125Вт $\pm 10\%$ / |
| R15 | R534 2,4 kOhm $\pm 2\%$ | 1 | /0,125Вт $\pm 10\%$ / |
| R16 | R534 3,6 kOhm $\pm 2\%$ | 1 | /0,125Вт $\pm 10\%$ / |
| R17 | R534 1 kOhm $\pm 2\%$ | 1 | /0,125Вт $\pm 10\%$ / |
| R18 | R534 22 kOhm $\pm 2\%$ | 1 | /0,125Вт $\pm 10\%$ / |

42-000-772-00/3

Продолжение

| Поз. обозн. | Наименование | Кол. | Примечание |
|----------------|-------------------------|------|---------------------------------------|
| R19 | R534 510 Ohm $\pm 2\%$ | 1 | /0,125Вт $\pm 10\%$ / |
| R20 | R534 1 kOhm $\pm 2\%$ | 1 | /0,125Вт $\pm 10\%$ / |
| R21 | R534 100 kOhm $\pm 2\%$ | 1 | /0,125Вт $\pm 10\%$ / |
| R22 | R534 15 kOhm $\pm 2\%$ | 1 | /0,125Вт $\pm 10\%$ / |
| R23 | R534 2,7 kOhm $\pm 2\%$ | 1 | /0,125Вт $\pm 10\%$ / |
| R24 | R534 15 kOhm $\pm 2\%$ | 1 | /0,125Вт $\pm 10\%$ / |
| R25 | R534 2,7 kOhm $\pm 2\%$ | 1 | /0,125Вт $\pm 10\%$ / |
| R26 | R534 3,6 kOhm $\pm 2\%$ | 1 | /0,125Вт $\pm 10\%$ / |
| R27 | R534 100 kOhm $\pm 2\%$ | 1 | /0,125Вт $\pm 10\%$ / |
| R28 | R534 270 Ohm $\pm 2\%$ | 1 | /0,125Вт $\pm 10\%$ / |
| R29 | R534 51 Ohm $\pm 2\%$ | 1 | /0,125Вт $\pm 10\%$ / |
| R30* | R534 39 Ohm $\pm 2\%$ | 1 | 39-47 Ом /0,125Вт $\pm 10\%$ / |
| R31 | R534 100 Ohm $\pm 2\%$ | 1 | /0,125Вт $\pm 10\%$ / |
| R32 | R534 51 Ohm $\pm 2\%$ | 1 | /0,125Вт $\pm 10\%$ / |
| R33* | R534 3 kOhm $\pm 2\%$ | 1 | 2,7-3,3 кОм /0,125Вт $\pm 10\%$ / |
| R34 | R534 12 kOhm $\pm 2\%$ | 1 | /0,125Вт $\pm 10\%$ / |
| R35 | R534 1,2 kOhm $\pm 2\%$ | 1 | /0,125Вт $\pm 10\%$ / |
| R36 | R534 27 kOhm $\pm 2\%$ | 1 | /0,125Вт $\pm 10\%$ / |
| R37 | R534 10 kOhm $\pm 2\%$ | 1 | /0,125Вт $\pm 10\%$ / |
| R38* | R534 300 Ohm $\pm 2\%$ | 1 | 270-330 Ом /0,125Вт $\pm 10\%$ / |
| R39* | R534 100 kOhm $\pm 2\%$ | 1 | 100 - 180 Ом /0,125Вт $\pm 10\%$ / |
| R40 | R534 1 kOhm $\pm 2\%$ | 1 | /0,125Вт $\pm 10\%$ / |
| R41 | R534 300 Ohm $\pm 2\%$ | 1 | /0,125Вт $\pm 10\%$ / |
| R42 | R534 15 kOhm $\pm 2\%$ | 1 | /0,125Вт $\pm 10\%$ / |
| R43 | R534 200 Ohm $\pm 2\%$ | 1 | /0,125Вт $\pm 10\%$ / |
| R44 | R534 2,7 kOhm $\pm 2\%$ | 1 | /0,125Вт $\pm 10\%$ / |
| R46 | R534 3,6 kOhm $\pm 2\%$ | 1 | /0,125Вт $\pm 10\%$ / |
| R47 | R534 3,9 kOhm $\pm 2\%$ | 1 | /0,125Вт $\pm 10\%$ / |
| R48* | R534 9,1 kOhm $\pm 2\%$ | 1 | 8,2-15 кОм /0,125Вт $\pm 10\%$ / |
| R49* | R534 270 Ohm $\pm 2\%$ | 1 | 220-390 Ом /0,125Вт $\pm 10\%$ / |

Продолжение

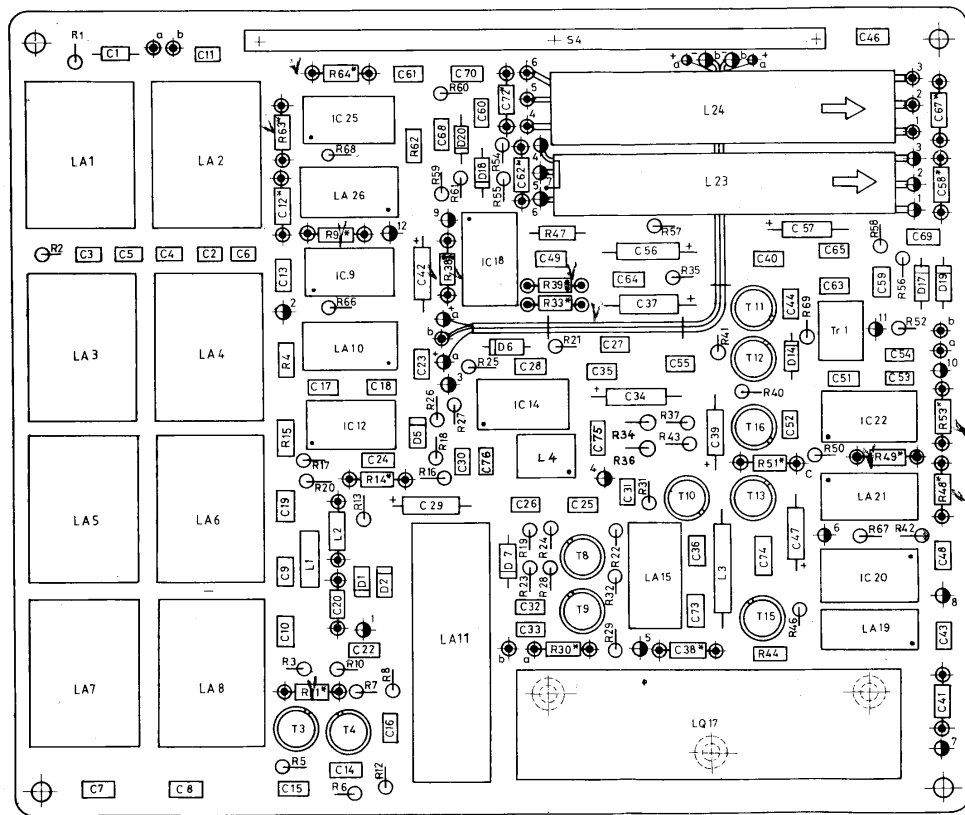
| Поз. обозн. | Наименование | Кол. | Примечание |
|----------------|--|------|--|
| R50 | R534 10 kOhm+2% | 1 | /0,25Вт+10%/ 470-1,2 кОм |
| R51* | R534 560 Ohm+2% | 1 | /0,125Вт+10%/ 8,2-15 кОм |
| R52 | R534 100 Ohm+2% | 1 | /0,125Вт+10%/ 8,2-15 кОм |
| R53* | R534 9,1 kOhm+2% | 1 | /0,125Вт+10%/ 9,1-10 кОм |
| R54, R55 | R534 4,3 kOhm+2% | 2 | /0,125Вт+10%/ 9,1-10 кОм |
| R56 | R534 9,1 kOhm+2% | 1 | /0,125Вт+10%/ 9,1-10 кОм |
| R57 | R534 2 kOhm+2% | 1 | /0,125Вт+10%/ 9,1-10 кОм |
| R58 | R534 9,1 kOhm+2% | 1 | /0,125Вт+10%/ 9,1-10 кОм |
| R60, R61 | R534 4,3 kOhm+2% | 2 | /0,125Вт+10%/ 9,1-10 кОм |
| R62 | R534 2,7 kOhm+2% | 1 | /0,125Вт+10%/ 9,1-10 кОм |
| R63* | R534 9,1 kOhm+2% | 1 | /0,125Вт+10%/ 9,1-10 кОм |
| R64* | R534 82 Ohm+2% | 1 | 47-100 Ом /0,125Вт+10%/ 9,1-10 кОм |
| R66..R68 | R534 47 Ohm+2% | 3 | /0,125Вт+10%/ 9,1-10 кОм |
| R69 | R534 100 Ohm+2% | 1 | /0,125Вт+10%/ 9,1-10 кОм |
| Tр1 | Трансформатор 44-770-605-00 ЯГ4.770.009 | 1 | |
| D1, D2 | Диод 2Д522Б дР3.362.029-01 ТУ | 2 | |
| T3, T4 | Транзистор 2T368А СБО.336.051ТУ | 2 | |
| D5 | Диод 2Д522Б дР3.362.029-01 ТУ | 1 | |
| D6 | Варикап 2B102Б ТТ4.660.003 ТУ | 1 | |
| D7 | Диод 2Д522Б дР3.362.029-01 ТУ | 1 | |
| T8 | Транзистор 2T363А щТО.336.008ТУ | 1 | |
| T9 | Транзистор 2T368А СБО.336.051ТУ | 1 | |
| T10, T11 | Транзистор 2T201Б СБО.336.046ТУ | 2 | |
| T12 | Транзистор 2T203Б щыЗ.365.007ТУ | 1 | |
| T13 | Транзистор 2T201Б СБО.336.046ТУ | 1 | |
| D14 | Диод 2Д522Б дР3.362.029-01 ТУ | 1 | |
| T15 | Транзистор 2T201Б СБО.336.046ТУ | 1 | |
| T16 | Транзистор 2П103Д ТФ3.365.000ТУ | 1 | |
| D17..D20 | Диод 2Д522Б дР3.362.029-01 ТУ | 4 | |
| S1-S3 | Вилка СР-50-108ФВ ОЮО.364.032ТУ | 3 | |

Продолжение

| Поз. обозн. | Наименование | Кол. | Примечание |
|----------------|--|------|--------------------------|
| S4 | Вилка РЛМИ2-/37к, ЗЛк, 4Н/ ШС-П /1Лк+1Н+18К+1Н+1Лк+1Н+19К+1Н+1Лк/ КеO.364.008 ТУ | 1 | |
| P2 | 45-022-603-00 | | |
| C1-C3 | КМ-56-Н30-0,01 мкФ ^{+50%} _{-20%} | 3 | |
| C4 | КМ-56-М750-470 пФ ^{+10%} | 1 | |
| | Дроссели ЗЧДМ ГИО.477.005 ТУ | | |
| L1 | Дроссель ДМ-3-1 мкГн ^{+0,4} -В | 1 | |
| L2 | Дроссель ДМ-0,1-200 мкГн ⁺⁵ % В | 1 | |
| | Резисторы R534 RX-74.38 1/1 | | |
| R1 | R534 22 kOhm ⁺² % | 1 | 0,125 W ⁺¹⁰ % |
| R2 | R534 2,7 kOhm ⁺² % | 1 | 0,125 W ⁺¹⁰ % |
| R3, R4 | R534 51 Ohm ⁺² % | 2 | 0,125 W ⁺¹⁰ % |
| T1 | Транзистор 2T368А СБО.336.051 ТУ | 1 | |

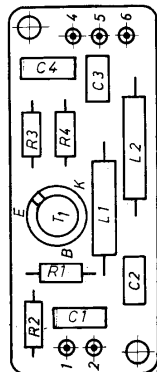
Сборочный чертеж платы Прим. VEVÓ panel összeszerelési rajza

ПРИЛОЖЕНИЕ 8
8. MELLÉKLET



42-000-772-00/2

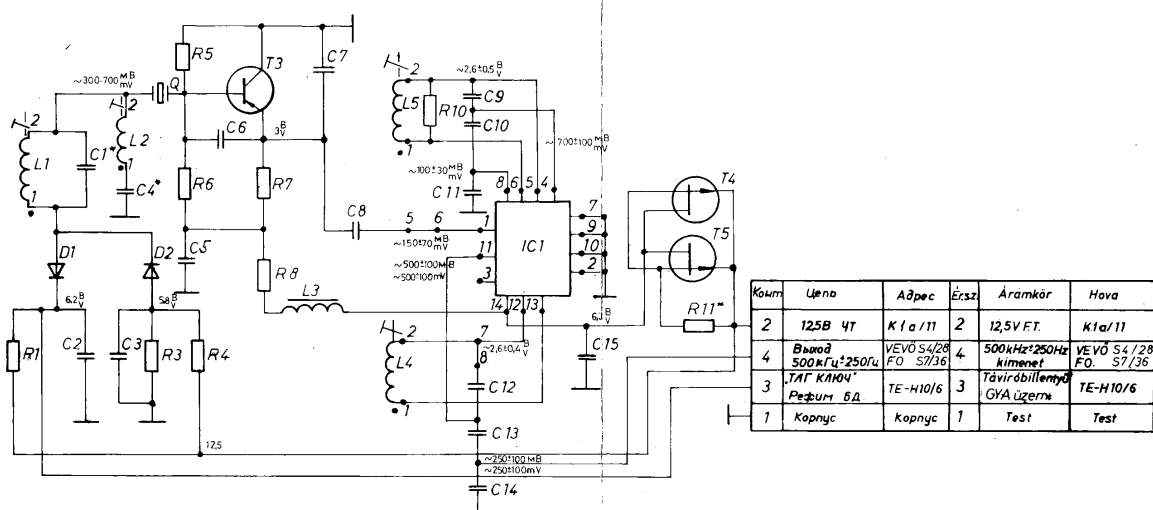
71



Плата 2.
p2 Panel

Схема электрическая принципиальная блока ЧТ
FT.egység elektromos elvi kapcsolási rajza

ПРИЛОЖЕНИЕ 9
9. MELLÉKLET



ПРИМЕЧАНИЯ:

- Подбирают при регулировании.
- Напряжения, указанные на контрольных гнездах и элементах, даны для справок.

MEGJEGYZÉS:

- A értékek kiválasztása beszabályozáskor történik.
- Az ellenőrzési pontokon feltüntetett feszültségek tájékoztató jellegűek.

Перечень элементов блока ЧТ

| Поз. обозн. | Наименование | Кол. | Примечание |
|----------------|--|------|----------------------------|
| IC1 | Микросхема 435ХП1 бКО.347.009 ТУ | 1 | |
| | Конденсаторы КМ ОЖО.460.043 ТУ | | |
| | Конденсаторы КД ОЖО.460.154 ТУ | | |
| C1* | КМ-56-П33-56 пФ ₊ 10% | 1 | 56-82 пФ |
| C2, C3 | КМ-56-Н90-0,047 мкФ ₋₂₀ ⁺⁸⁰ % | 2 | |
| C4* | КД-1-М750-16 пФ ₊ 10%-3 | 1 | 15-20 пФ |
| C5 | КМ-56-Н90-0,047 мкФ ₋₂₀ ⁺⁸⁰ % | 1 | |
| C6 | КМ-56-М47-150 пФ ₊ 10% | 1 | |
| C7 | КМ-56-М47-330 пФ ₊ 10% | 1 | |
| C8 | КМ-56-М47-150 пФ ₊ 10% | 1 | |
| C9 | КМ-56-М75-91 пФ ₊ 10% | 1 | |
| C10 | КМ-56-М750-330 пФ ₊ 10% | 1 | |
| C11 | КМ-56-М750-1800 пФ ₊ 10% | 1 | |
| C12 | КМ-56-П33-680 пФ ₊ 10% | 1 | |
| C13 | КМ-56-М75-1200 пФ ₊ 10% | 1 | |
| C14 | КМ-56-М750-1800 пФ ₊ 10% | 1 | |
| C15 | КМ-56-Н90-0,047 мкФ ₋₂₀ ⁺⁸⁰ % | 1 | |
| Q1 | Резонатор РК-200Э-15Т -10000К-Б ТЦЗ.381.304-1 ТУ | 1 | |
| L1, L2 | Катушка индуктивности 44-777-756-00 ШИ4.777332 | 2 | |
| L3 | Дроссель высокочастотный ДМ-0,1-100 мкГн ₊ 5%-В ГИО.477.006 ТУ | 1 | |
| L4 | Катушка индуктивности 44-777-752-00 ЯГ4.777.070-01 | 1 | 400 мкГн |
| L5 | Катушка индуктивности 44-777-751-00 ЯГ4.777.070 | 1 | 100 мкГн |
| | Резисторы R534 RX-74.381/IMF-151-82 | | |
| R1 | R534 12 kOhm ₊ 2% | 1 | /0,125Вт ₊ 10%/ |
| R3 | R534 6,8 kOhm ₊ 2% | 1 | /0,125Вт ₊ 10%/ |
| R4 | R534 2,2 kOhm ₊ 2% | 1 | /0,125Вт ₊ 10%/ |
| R5, R6 | R534 16 kOhm ₊ 2% | 2 | /0,125Вт ₊ 10%/ |
| R7 | R534 2,2kOhm ₊ 2% | 1 | /0,125Вт ₊ 10%/ |
| R8 | R534 150 Ohm ₊ 2% | 1 | /0,125Вт ₊ 10%/ |

42-0000-772-00/2

Продолжение

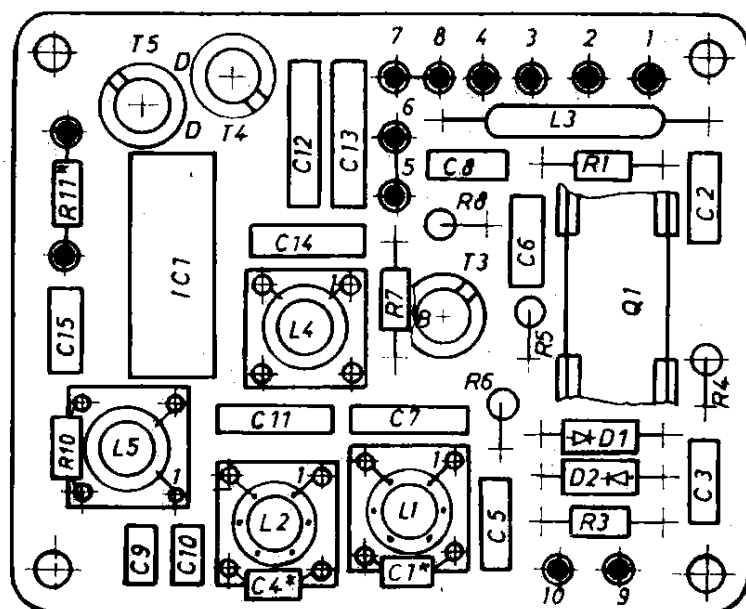
| Поз. обозн. | Наименование | Кол. | Примечание |
|----------------|----------------------------------|------|---------------------------------|
| R10 | R534 10 kOhm \pm 2% | 1 | /0,125Вт \pm 10% |
| R11* | R534 200 Ohm \pm 2% | 1 | 20-330 Ом /0,125Вт \pm 10% |
| D1,D2 | Диод 2Д522Б дРЗ.362.029-01 ТУ | 2 | |
| T3 | Транзистор 2Т326Б щГО.336.003 ТУ | 1 | |
| T4,T5 | Транзистор 2П103Д ТФЗ.365.000 ТУ | 2 | |

Сборочный чертеж платы блока ЧТ

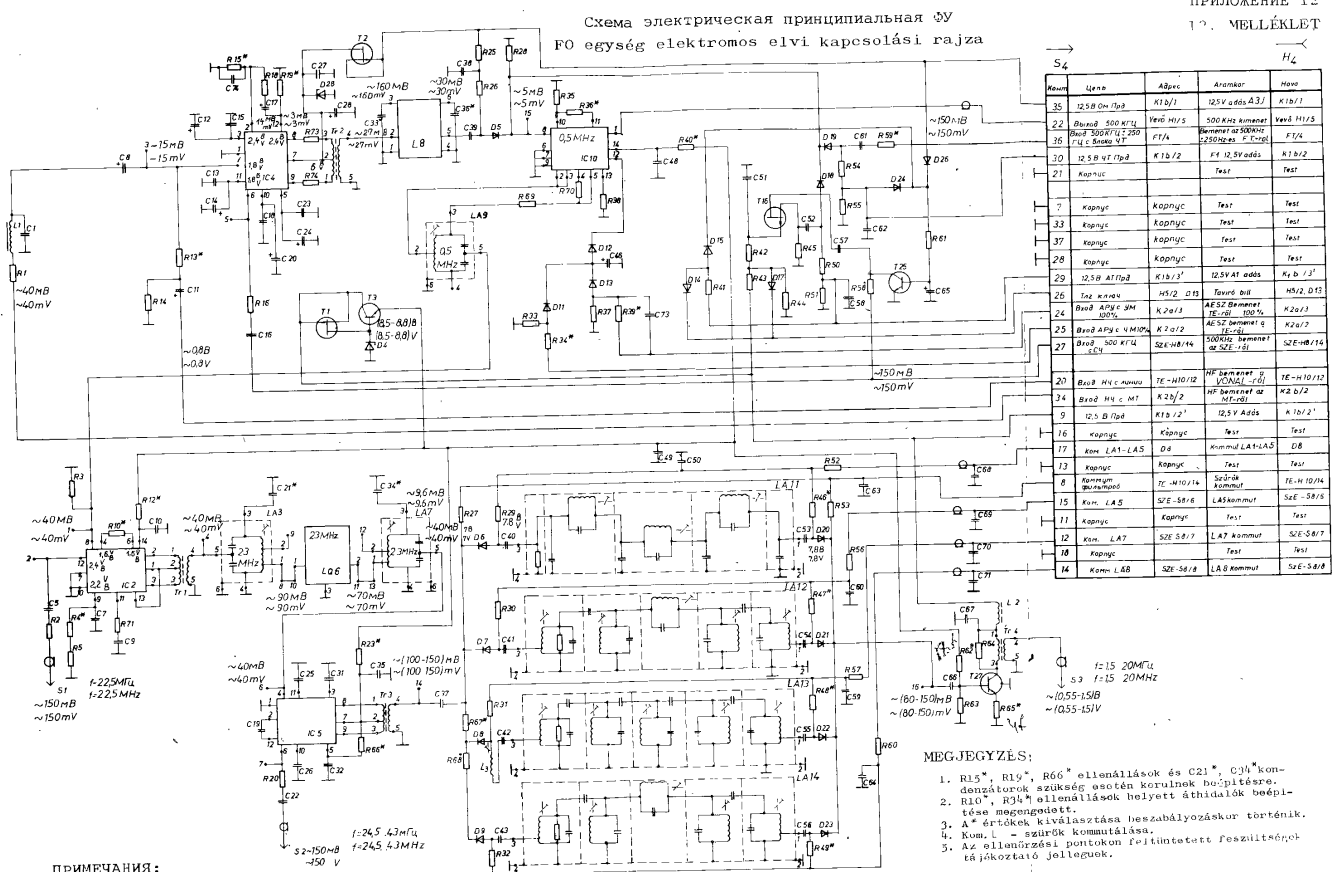
FT panel összeszerelési rajza

ПРИЛОЖЕНИЕ 11

11. MELLÉKLET



ПРИЛОЖЕНИЕ 12
1. MELLÉKLET



ПРИМЕЧАНИЯ:

- Резисторы R15*, R19*, R66* и конденсаторы C21*, C34* устанавливаются при необходимости.
- Вместо резисторов R10* и R34* допускается устанавливать перемычки.

42-000-772-00

ПРИЛОЖЕНИЕ 13

Перечень элементов ФУ

| Поз. обозн. | Наименование | Кол. | Примечание |
|----------------|---|------|------------|
| IC2 | Микросхема 435ХА1 бКО.347.009 ТУ | 1 | |
| LA3 | Контур 23 МГц 42-062-617-00 ЯГ2.062.088 | 1 | |
| IC4, IC5 | Микросхема 526ПС1 бКО.347.035 ТУ | 2 | |
| LQ6 | Фильтр ПФ2П-286 РЦ2.067.165 ТУ | 1 | |
| LA7 | Контур 23 МГц 42-062-617-00 ЯГ2.062.088 | 1 | |
| LA8 | Фильтр ФЭМ-034Н-500-3,1 УИО.020.206ТУ | 1 | |
| LA9 | Контур 0,5 МГц 42-062.619-00 ЯГ2.062.089 | 1 | |
| IC10 | Микросхема 435В1 бКО.347.009 ТУ | 1 | |
| LA11 | Фильтр 42-067-606-00 ЯГ2.067.109-03 | 1 | |
| LA12 | Фильтр 42-067-603-00 ЯГ2.067.109 | 1 | |
| LA13 | Фильтр 42-067-605-00 ЯГ2.067.109-02 | 1 | |
| LA14 | Фильтр 42-067-604-00 ЯГ2.067.109-01 | 1 | |
| | Конденсаторы КД ОЖО.460.154 ТУ | | |
| | Конденсаторы КМ-5 ОЖО.460.043 ТУ | | |
| | Конденсаторы К53-4 ОЖО.464.037 ТУ | | |
| | Конденсаторы КМ-6А ОЖО.460.061 ТУ | | |
| C1 | КМ-5Б-Н30-0,015 мкФ ^{+50%} _{-20%} | 1 | |
| C5 | КМ-5Б-Г30-0,015 мкФ ^{+50%} _{-20%} | 1 | |
| C7 | КМ-6А-Н90-0,33 мкФ | 1 | |
| C8 | К53-4-15-15 ^{+20%} | 1 | |
| C9 | КМ-5Б-Н30-0,015 мкФ ^{+50%} _{-20%} | 1 | |
| C10 | КМ-6А-Н90-0,33 мкФ | 1 | |
| C11, C12 | К53-4-15-15 ^{+20%} | 2 | |
| C13 | КМ-6А-Н90-0,33 мкФ | 1 | |
| C14 | К53-4-15-15 ^{+20%} | 1 | |
| C15 | КМ-5Б-Н30-0,033 мкФ ^{+50%} _{-20%} | 1 | |
| C16 | КМ-6А-Н90-0,33 мкФ | 1 | |
| C17 | К53-4-15-15 ^{+20%} | 1 | |
| C18 | КМ-6А-Н90-0,33 мкФ | 1 | |
| C19 | КМ-5Б-Н30-0,033 мкФ ^{+50%} _{-20%} | 1 | |

Продолжение

| Поз. обозн. | Наименование | Кол. | Примечание |
|----------------|---|------|--|
| C20 | K53-4-15-15 _{+20%} | 1 | |
| C21* | KД-1-M75-5,6 пФ _{+10%} | 1 | 5,6-18 пФ |
| C22,C23 | KM-6A-H90-0,33 мкФ | 2 | |
| C24 | K53-4-15-15 _{+20%} | 1 | |
| C25..C27 | KM-6A-H90-0,33 мкФ | 3 | |
| C28 | K53-4-15-15 _{+20%} | 1 | |
| C31,C32 | KM-6A-H90-0,33 мкФ | 2 | |
| C33* | KM-5a-M47-180 пФ _{+10%} | 1 | 180-240 пФ |
| C34* | KД-1-M75-5,6 пФ _{+10%-3} | 1 | 5,6-18 пФ |
| C35 | KM-6A-H90-0,33 мкФ | 1 | |
| C36* | KM-5a-M47-150 пФ _{+10%} | 1 | 120-180 пФ |
| C37..C39 | KM-6A-H90-0,33 мкФ | 3 | |
| C40..C43 | KM-5б-H30-0,015 мкФ _{+50%-20%} | 4 | |
| C46 | K53-4-15-15 _{+20%} | 1 | |
| C48..C50 | KM-6A-H90-0,33 мкФ | 3 | |
| C51 | KM-5б-H30-0,022 мкФ _{+20%} | 1 | |
| C52 | KM-5б-H30-0,033 мкФ _{+50%-20%} | 1 | |
| C53..C56 | KM-5б-H30-0,015 мкФ _{+50%-20%} | 4 | |
| C57 | KM-5б-H30-0,033 мкФ _{+50%-20%} | 1 | |
| C58..C60 | KM-6A-H90-0,33 мкФ | 3 | |
| C61 | KM-5б-H30-0,033 мкФ _{+50%-20%} | 1 | |
| C62..C64 | KM-6A-H90-0,33 мкФ | 3 | |
| C65 | K53-4-20-4,7 _{+20%} | 1 | |
| C66..C71 | KM-6A-H90-0,33 мкФ | 6 | |
| C73 | KM-5б-H90-0,1 мкФ _{+80%-20%} | 1 | |
| C74 | KM-5б-M750-680 пФ _{+10%} | 1 | |
| L1 | Катушка индуктивности 44-750-637-00 ЯГ4.750.043 | 1 | 3 мГн |
| L2 | Дросель высокочастотный ДМ-0,1-200МкГн _{+5%-B} ГИО.477.005 ТУ | 1 | |
| L3 | Катушка индуктивности 44-777-735-00 ЯГ4.777.068.10 | 1 | |
| R1 | Резисторы R534 RX-74.381/JMF-151-82 R534 3 kOhm _{+2%} | 1 | 2 -3 кОм /0,125Вт _{+10%} / |

Продолжение

| Поз. обозн. | Наименование | Кол. | Примечание |
|----------------|--------------------------------|------|--|
| R2 | R534 100 Ohm $\pm 2\%$ | 1 | /0,125Вт $\pm 10\%$ / |
| R3 | R534 10 kOhm $\pm 2\%$ | 1 | /0,125Вт $\pm 10\%$ / |
| R4* | R534 820 Ohm $\pm 2\%$ | 1 | 510-1,5 кОм /0,125Вт $\pm 10\%$ / |
| R5 | R534 9,1 kOhm $\pm 2\%$ | 1 | /0,125Вт $\pm 10\%$ / |
| R10* | R534 100-220 Ohm $\pm 2\%$ | 1 | 100-220 Ом /0,125Вт $\pm 10\%$ / |
| R12* | R534 750 Ohm $\pm 2\%$ | 1 | 620-750 Ом /0,125Вт $\pm 10\%$ / |
| R13* | R534 75 kOhm $\pm 2\%$ | 1 | 51-220 кОм /0,125Вт $\pm 10\%$ / |
| R14 | R534 470 Ohm $\pm 2\%$ | 1 | /0,125Вт $\pm 10\%$ / |
| R15* | R534 100 kOhm $\pm 2\%$ | 1 | 10-470 кОм /0,125Вт $\pm 10\%$ / |
| R16 | R534 510 Ohm $\pm 2\%$ | 1 | /0,125Вт $\pm 10\%$ / |
| R18 | R534 300 Ohm $\pm 2\%$ | 1 | /0,125Вт $\pm 10\%$ / |
| R19* | R534 100 kOhm $\pm 2\%$ | 1 | 10-470 кОм /0,125Вт $\pm 10\%$ / |
| R20 | R534 200 Ohm | 1 | /0,125Вт $\pm 10\%$ / |
| R23* | R534 680 Ohm $\pm 2\%$ | 1 | 620-680 Ом /0,125Вт $\pm 10\%$ / |
| R25 | R534 200 Ohm $\pm 2\%$ | 1 | /0,125Вт $\pm 10\%$ / |
| R26 | R534 5,6 kOhm $\pm 2\%$ | 1 | /0,125Вт $\pm 10\%$ / |
| R27 | R534 3 kOhm $\pm 2\%$ | 1 | /0,125Вт $\pm 10\%$ / |
| R28 | R534 5,6 kOhm $\pm 2\%$ | 1 | /0,125Вт $\pm 10\%$ / |
| R29..R32 | R534 1,5 kOhm $\pm 2\%$ | 4 | /0,125Вт $\pm 10\%$ / |
| R33 | R534 1 kOhm $\pm 2\%$ | 1 | /0,125Вт $\pm 10\%$ / |
| R34* | R534 750 Ohm-1,5kOhm $\pm 2\%$ | 1 | 750 Ом-1,5кОм /0,125Вт $\pm 10\%$ / |
| R35 | R534 510 Ohm $\pm 2\%$ | 1 | /0,125Вт $\pm 10\%$ / |
| R36* | R534 240 Ohm $\pm 2\%$ | 1 | 120-390 Ом /0,125Вт $\pm 10\%$ / |
| R37 | R534 1 kOhm $\pm 2\%$ | 1 | /0,125Вт $\pm 10\%$ / |
| R38 | R534 7,5 kOhm $\pm 2\%$ | 1 | /0,125Вт $\pm 10\%$ / |
| R39* | R534 3,6 kOhm $\pm 2\%$ | 1 | 2,4-3,6 кОм /0,125 Вт $\pm 10\%$ / |
| R40* | R534 750 Ohm $\pm 2\%$ | 1 | 620-750 Ом /0,125Вт $\pm 10\%$ / |

Продолжение

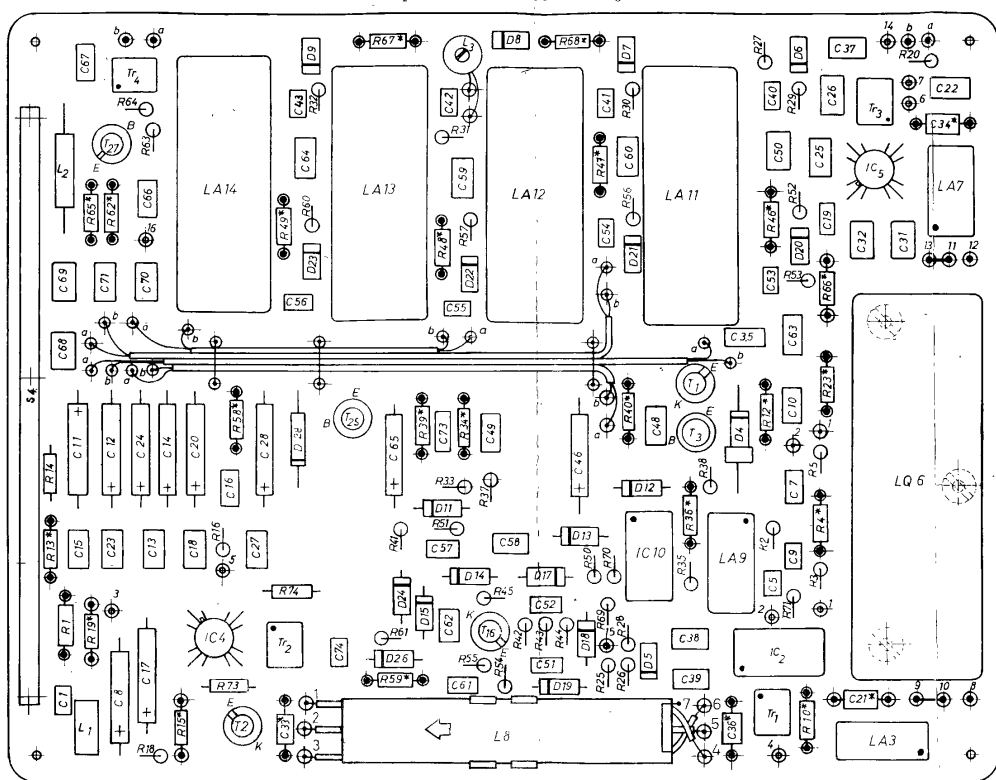
| Поз. обозн. | Наименование | Кол. | Примечание |
|----------------------|------------------------------|------|---|
| R41 | R534 5,6 kOhm _{+2%} | 1 | /0,125Bt _{+10%} / |
| R42 | R534 1,2 MOhm _{+2%} | 1 | /0,125Bt _{+10%} / |
| R43, R44 | R534 100 kOhm _{+2%} | 2 | /0,125Bt _{+10%} / |
| R45 | R534 1 kOhm _{+2%} | 1 | /0,125Bt _{+10%} / |
| R46* | R534 390 Ohm _{+2%} | 1 | 360-390 Ом /0,125Bt _{+10%} / |
| R47* | R534 1 kOhm _{+2%} | 1 | 910-1,2 Ом /0,125Bt _{+10%} / |
| R48* | R534 470 Ohm _{+2%} | 1 | 470-620 Ом /0,125Bt _{+10%} / |
| R49* | R534 510 Ohm _{+2%} | 1 | 390-560 Ом /0,125Bt _{+10%} / |
| R50 | R534 5,6 kOhm _{+2%} | 1 | /0,125Bt _{+10%} / |
| R51 | R534 100 kOhm _{+2%} | 1 | /0,125Bt _{+10%} / |
| R52 | R534 200 Ohm _{+2%} | 1 | /0,125Bt _{+10%} / |
| R53 | R534 3 kOhm _{+2%} | 1 | /0,125Bt _{+10%} / |
| R54 | R534 5,6 kOhm _{+2%} | 1 | /0,125Bt _{+10%} / |
| R55 | R534 100 kOhm _{+2%} | 1 | /0,125Bt _{+10%} / |
| R56, R57 | R534 200 Ohm _{+2%} | 2 | /0,125Bt _{+10%} / |
| R58* | R534 18 kOhm _{+2%} | 1 | 18-22 кОм /0,125Bt _{+10%} / |
| R59* | R534 51 kOhm _{+2%} | 1 | 39-51 кОм /0,125Bt _{+10%} / |
| R60 | R534 200 Ohm _{+2%} | 1 | /0,25Bt _{+10%} / |
| R61 | R534 20 kOhm _{+2%} | 1 | /0,125Bt _{+10%} / |
| R62* | R534 18 kOhm _{+2%} | 1 | 15-20 кОм /0,125Bt _{+10%} / |
| R63 | R534 3,3 kOhm _{+2%} | 1 | /0,125Bt _{+10%} / |
| R64 | R534 2 kOhm _{+2%} | 1 | /0,125Bt _{+10%} / |
| R65* | R534 47 Ohm _{+2%} | 1 | 39-51 Ом /0,125Bt _{+10%} / |
| R66* | R534 3,6 kOhm _{+2%} | 1 | 3,6-9,1 кОм /0,125Bt _{+10%} / |
| R67* | R534 47 Ohm _{+2%} | 1 | 47-68 Ом /0,125Bt _{+10%} / |
| R68* | R534 51 Ohm _{+2%} | 1 | 51-56 Ом /0,125Bt _{+10%} / |
| R69, R70 R69, R70 | R534 39 Ohm _{+2%} | 2 | /0,125Bt _{+10%} / |

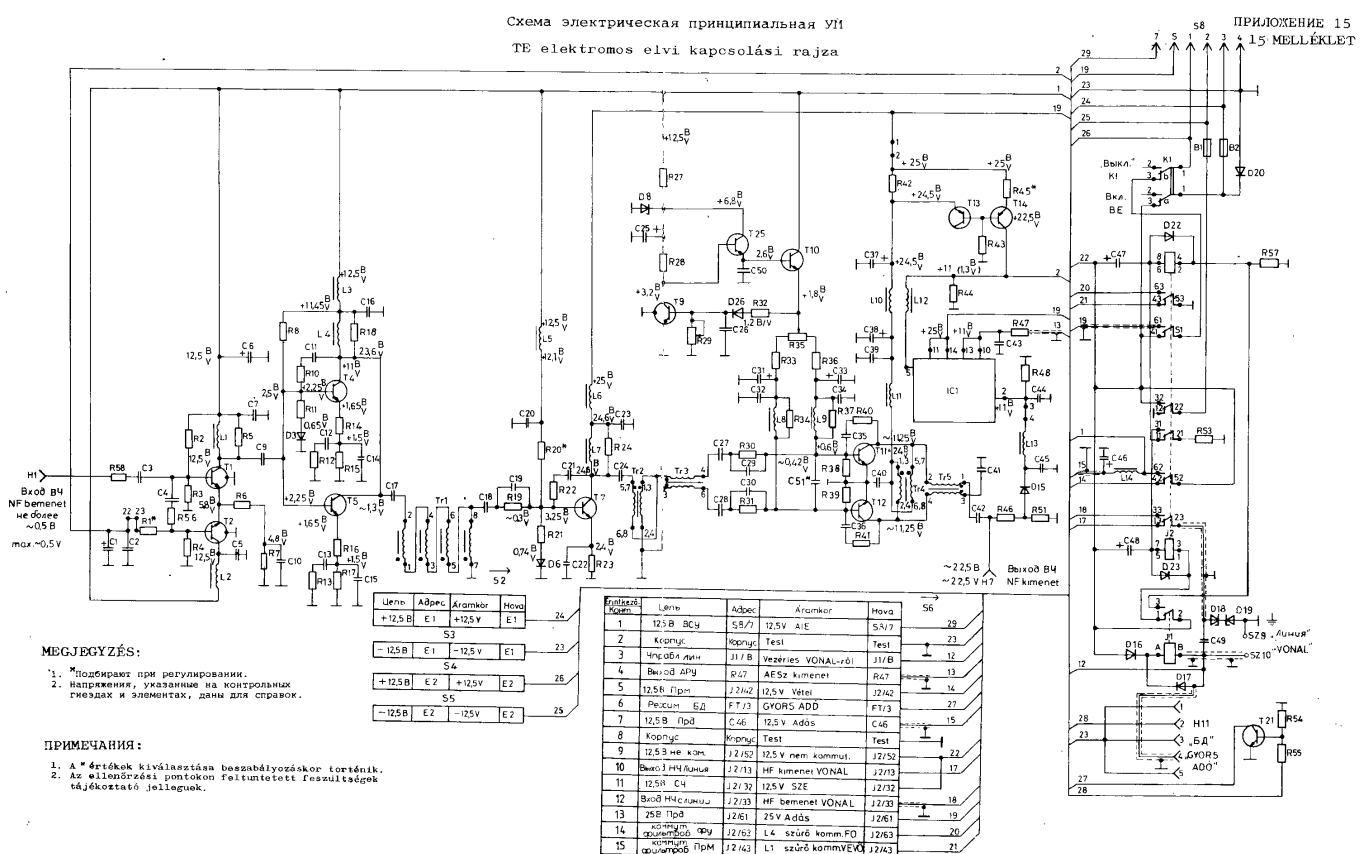
Продолжение

| Поз. обозн. | Наименование | Кол. | Примечание |
|----------------|--|------|-----------------------|
| R71 | R534 51 Ohm $\pm 2\%$ | 1 | /0,125Вт $\pm 10\%$ / |
| R72 | R534 1 kOhm $\pm 2\%$ | 1 | /0,125Вт $\pm 10\%$ / |
| R73, R74 | R534 100 Ohm $\pm 2\%$ | 2 | /0,125Вт $\pm 10\%$ / |
| Tr1 | Трансформатор 44-770-606-00 ЯГ4.770.010 | 1 | |
| Tr2 | Трансформатор 44-770-605-00 ЯГ4.770.009 | 1 | |
| Tr3, Tr4 | Трансформатор 44-770-606-00 ЯГ4.770.010 | 2 | |
| T1, T2 | Транзистор 2П103Д ТФ3.365.000 ТУ | 2 | |
| T3 | Транзистор 2Т312Б ЖК3.365.143 ТУ | 1 | |
| D4 | Стабилитрон Д818Д СМ3.362.025 ТУ | 1 | |
| D5 | Диод 2Д522Б дР3.362.029-01 ТУ | 1 | |
| D6-D9 | Диод 2А507А ТТ3.360.053 ТУ | 4 | |
| D11-D15 | Диод 2Д522Б дР3.362.029-01 ТУ | 5 | |
| T16 | Транзистор 2П103Д ТФ3.365.000 ТУ | 1 | |
| D17-D19 | Диод 2Д522Б дР3.362.029-01 ТУ | 3 | |
| D20-D23 | Диод 2А507А ТТ3.360.053 ТУ | 4 | |
| D24 | Диод 2Д522Б дР3.362.029-01 ТУ | 1 | |
| T25 | Транзистор 2Т312Б ЖК3.365.143 ТУ | 1 | |
| D26 | Диод 2Д522Б дР3.362.029-01 ТУ | 1 | |
| T27 | Транзистор 2Т368А СБО.336.051 ТУ | 1 | |
| D28 | Стабилитрон 2С156В СМ3.362.839 ТУ | 1 | |
| S1-S3 | Вилка СР-50-108ФВ ОЮО.364.032 ТУ | 3 | |
| S4 | Вилка РЛМИ2-/37К, 3Лк, 4Н/ ШС-Н 1Лк+1Н+18К+1Н+1Лк+1Н+19К+1Н+1Лк/В КеО.364.008 ТУ | 1 | |

Сборочный чертеж платы ФУ
PO panel üsszeszerelési rajza

ПРИЛОЖЕНИЕ 14
14. MELLÉKLET





ПРИЛОЖЕНИЕ 16

Перечень элементов УМ

| Проз. обозн. | Наименование | Кол. | Примечание |
|-----------------|---|------|------------|
| IC1 | Транзисторная матрица 1НТ251 и93.456.000 ТУ | 1 | |
| | Конденсаторы КМ ОЖО.460.043 ТУ | | |
| | Конденсаторы К53-4 ОЖО.464.037 ТУ | | |
| | Конденсаторы К53-14 ОЖО.464.096 ТУ | | |
| | Конденсаторы К-50-29 ОЖО.464.156 ТУ | | |
| | Конденсаторы К73П-3 ОЖО.461.029 ТУ | | |
| C1 | K53-14-30В-3,3 мкФ ^{+20%} вариант 1 | 1 | |
| C2..C5 | КМ-56-Н30-0,047 мкФ ^{+50%} _{-20%} | 4 | |
| C6 | K53-4-20-4,7 ^{+20%} | 1 | |
| C7 | КМ-56-Н30-0,047 мкФ ^{+50%} _{-20%} | 1 | |
| C9..C13 | КМ-56-Н30-0,047 мкФ ^{+50%} _{-20%} | 5 | |
| C14,C15 | КМ-56-М750-820 пФ ^{+10%} | 2 | |
| C16..C18 | КМ-56-Н30-0,047 мкФ ^{+50%} _{-20%} | 3 | |
| C19 | КМ-56-М750-1500 пФ ^{+10%} | 1 | |
| C20..C24 | КМ-56-Н30-0,047 мкФ ^{+50%} _{-20%} | 5 | |
| C25 | K53-4-20-4,7 ^{+20%} | 1 | |
| C26..C28 | КМ-56-Н30-0,047 мкФ ^{+50%} _{-20%} | 3 | |
| C29,C30 | КМ-56-М1500-3300 пФ ^{+10%} | 2 | |
| C31 | K53-4-20-4,7 ^{+20%} | 1 | |
| C32 | КМ-56-Н30-0,047 мкФ ^{+50%} _{-20%} | 1 | |
| C33 | K53-4-20-4,7 ^{+20%} | 1 | |
| C34..C36 | КМ-56-Н30-0,047 мкФ ^{+50%} _{-20%} | 3 | |
| C37,C38 | K50-29-63В-22 мкФ-В | 2 | |
| C41..C45 | КМ-56-Н30-0,047 мкФ ^{+50%} _{-20%} | 5 | |
| C46 | K50-29-25В-470мкФ-В | 1 | |
| C47,C48 | K53-4-20-47 ^{+20%} | 2 | |
| C49 | K73П-3-1 ^{+20%} | 1 | |
| C50 | КМ-56-Н30-0,047 мкФ ^{+50%} _{-20%} | 1 | |
| C51* | КМ-5а-М47-270пФ ^{+10%} | 1 | 180-470 пФ |
| C39 | КМ-56-Н30-0,047мкФ ^{+50%} _{-20%} | 1 | |

Продолжение

| Поз. обозн. | Наименование | Кол. | Примечание |
|----------------|---|------|---|
| C40 | КМ-5а-Н30-0,047 мкФ ^{+50%} _{-20%} | 1 | |
| B1, B2 | Вставка плавкая ВП1-1 3,0А 250В ОЮ.480.003 ТУ | 2 | |
| J1 | Реле РЭС59А ХП4.500.020-01ХЮ.450.002 ТУ 1 | | |
| J2 | Реле РПС 36Б РС4.520.267-01 ЯЛО.452.078 ТУ | 1 | |
| | Дроссели высокочастотные ДМ ГИО.477.005 ТУ | | |
| L1 | ДМ-0,4-20 мкГн ^{+5%} -В | 1 | |
| L2..L5 | ДМ-0,1-200 мкГн ^{+5%} -В | 4 | |
| L6, L7 | ДМ-0,4-125 мкГн ^{+5%} -В | 2 | |
| L8, L9 | ДМ-0,4-20 мкГн ^{+5%} -В | 2 | |
| L10, L11 | ДМ-2,4-20 мкГн ^{+5%} -В | 2 | |
| L12..L14 | ДМ-0,1-200 мкГн ^{+5%} -В | 3 | |
| | Резисторы R534 RX-74.381/МF-151-82 | | |
| | Резисторы С2-11 ОЖО.467.046 ТУ | | |
| | Резисторы С2-12 ОЖО.467.072 ТУ | | |
| | Резисторы С5-16МВ ОЖО.467.513 ТУ | | |
| | Резисторы СП5-16В ОЖО.468.519 ТУ | | |
| R1* | R534 10 kOhm ^{+2%} | 1 | 10-15 кОм /0,125Вт ^{+10%} / |
| R2, R3 | R534 1 kOhm ^{+2%} | 2 | /0,125Вт ^{+10%} / |
| R4 | R534 5,1 kOhm ^{+2%} | 1 | /0,125Вт ^{+10%} / |
| R5 | R534 1 kOhm ^{+2%} | 1 | /0,125Вт ^{+10%} / |
| R6 | R534 75 Ohm ^{+2%} | 1 | /0,125Вт ^{+10%} / |
| R7 | R534 390 Ohm ^{+2%} | 1 | /0,125Вт ^{+10%} / |
| R8 | R534 1,3 kOhm ^{+2%} | 1 | /0,125Вт ^{+10%} / |
| R10 | R534 1 kOhm ^{+2%} | 1 | /0,125Вт ^{+10%} / |
| R11 | R534 270 Ohm ^{+2%} | 1 | /0,125Вт ^{+10%} / |
| R12, R13 | R534 62 Ohm ^{+2%} | 2 | /0,125Вт ^{+10%} / |
| R14 | C2-11-0,125-5,6 Ом ^{+10%} | 1 | |
| R15 | R534 56 Ohm ^{+2%} | 1 | /0,125Вт ^{+10%} / |
| R16 | C2-11-0,125-5,6 Ом ^{+10%} | 1 | |
| R17 | R534 56 Ohm ^{+2%} | 1 | /0,125Вт ^{+10%} / |
| R18 | R534 1 kOhm ^{+2%} | 1 | /0,125Вт ^{+10%} / |

Продолжение

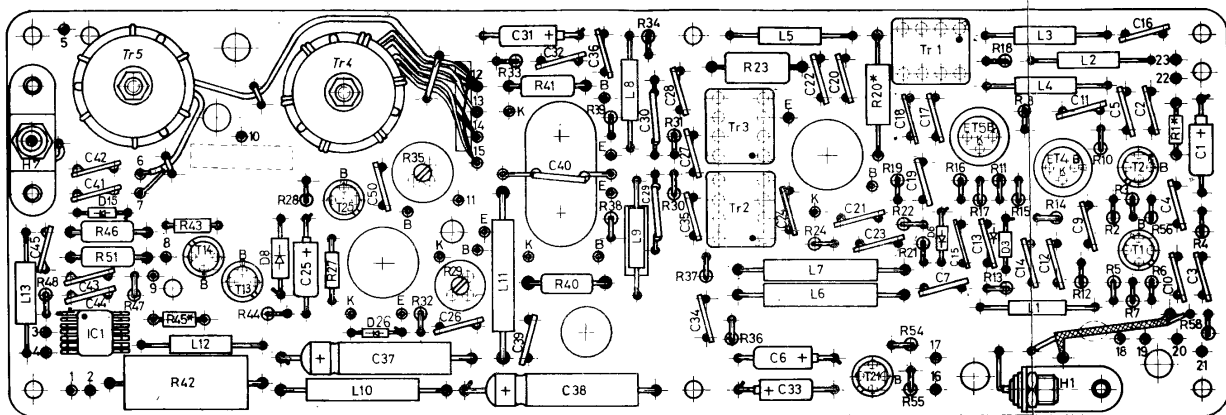
| Поз. обозн. | Наименование | Кол. | Примечание |
|----------------|---------------------------------|------|--|
| R19 | R534 33 Ohm \pm 2% | 1 | /0,125Вт \pm 10%/ 180-330 Ом |
| R20* | R534 240 Ohm \pm 2% | 1 | /0,125Вт \pm 10%/ /0,125Вт \pm 10%/ 180-330 Ом |
| R21 | R534 91 Ohm \pm 2% | 1 | /0,125Вт \pm 10%/ /0,125Вт \pm 10%/ 180-330 Ом |
| R22 | R534 1 kOhm \pm 2% | 1 | /0,125Вт \pm 10%/ /0,125Вт \pm 10%/ 180-330 Ом |
| R23 | ОМЛТ-1-10 Ом \pm 10% | 1 | /0,125Вт \pm 10%/ /0,125Вт \pm 10%/ 180-330 Ом |
| R24 | R534 1 kOhm \pm 2% | 1 | /0,125Вт \pm 10%/ /0,125Вт \pm 10%/ 180-330 Ом |
| R27 | R534 220 Ohm \pm 2% | 1 | /0,125Вт \pm 10%/ /0,125Вт \pm 10%/ 180-330 Ом |
| R28 | R534 3,9 kOhm \pm 2% | 1 | /0,125Вт \pm 10%/ /0,125Вт \pm 10%/ 180-330 Ом |
| R29 | СП5-16ВА-0,25Вт-1 кОм \pm 10% | 1 | /0,125Вт \pm 10%/ /0,125Вт \pm 10%/ 180-330 Ом |
| R30, R31 | C2-10-0,25-10 Ом \pm 1%-B | 2 | /0,125Вт \pm 10%/ /0,125Вт \pm 10%/ 180-330 Ом |
| R32 | R534 620 Ohm \pm 2% | 1 | /0,125Вт \pm 10%/ /0,125Вт \pm 10%/ 180-330 Ом |
| R33 | C2-11-0,125-15 Ом \pm 10% | 1 | /0,125Вт \pm 10%/ /0,125Вт \pm 10%/ 180-330 Ом |
| R34 | R534 200 Ohm \pm 2% | 1 | /0,125Вт \pm 10%/ /0,125Вт \pm 10%/ 180-330 Ом |
| R35 | СП5-16ВА-0,5Вт-10 Ом \pm 10% | 1 | /0,125Вт \pm 10%/ /0,125Вт \pm 10%/ 180-330 Ом |
| R36 | C2-11-0,125-15 Ом \pm 10% | 1 | /0,125Вт \pm 10%/ /0,125Вт \pm 10%/ 180-330 Ом |
| R37 | R534 200 Ohm \pm 2% | 1 | /0,125Вт \pm 10%/ /0,125Вт \pm 10%/ 180-330 Ом |
| R38, R39 | C2-10-0,25-10 Ом \pm 1%-B | 2 | /0,125Вт \pm 10%/ /0,125Вт \pm 10%/ 180-330 Ом |
| R40, R41 | C2-10-0,5-1 кОм \pm 1%-B | 2 | /0,125Вт \pm 10%/ /0,125Вт \pm 10%/ 180-330 Ом |
| R42 | C5-16МВ-2Вт-0,51 Ом \pm 5% | 1 | /0,125Вт \pm 10%/ /0,125Вт \pm 10%/ 180-330 Ом |
| R43 | R534 10 kOhm \pm 2% | 1 | /0,125Вт \pm 10%/ /0,125Вт \pm 10%/ 180-330 Ом |
| R44 | R534 5,1 kOhm \pm 2% | 1 | /0,125Вт \pm 10%/ /0,125Вт \pm 10%/ 180-330 Ом |
| R45* | R534 180 Ohm \pm 2% | 1 | 120-240 Ом /0,125Вт \pm 10%/ /0,125Вт \pm 10%/ 180-330 Ом |
| R46 | C2-10-0,5-1 кОм \pm 1%-B | 1 | /0,125Вт \pm 10%/ /0,125Вт \pm 10%/ 180-330 Ом |
| R47 | R534 68 Ohm \pm 2% | 1 | /0,125Вт \pm 10%/ /0,125Вт \pm 10%/ 180-330 Ом |
| R48 | R534 10 kOhm \pm 2% | 1 | /0,125Вт \pm 10%/ /0,125Вт \pm 10%/ 180-330 Ом |
| R51 | C2-10-0,5-1 кОм \pm 1%-B | 1 | /0,125Вт \pm 10%/ /0,125Вт \pm 10%/ 180-330 Ом |
| R53 | R534 12 Ohm \pm 2% | 1 | /0,125Вт \pm 10%/ /0,125Вт \pm 10%/ 180-330 Ом |
| R54 | R534 2,7 kOhm \pm 2% | 1 | /0,125Вт \pm 10%/ /0,125Вт \pm 10%/ 180-330 Ом |
| R55 | R534 1 kOhm \pm 2% | 1 | /0,125Вт \pm 10%/ /0,125Вт \pm 10%/ 180-330 Ом |
| R56 | R534 39 Ohm \pm 2% | 1 | /0,125Вт \pm 10%/ /0,125Вт \pm 10%/ 180-330 Ом |
| R57 | R534 20 kOhm \pm 2% | 1 | /0,125Вт \pm 10%/ /0,125Вт \pm 10%/ 180-330 Ом |
| R58 | R534 51 Ohm \pm 2% | 1 | /0,125Вт \pm 10%/ /0,125Вт \pm 10%/ 180-330 Ом |

Продолжение

| Поз. обозн. | Наименование | Кол. | Примечание |
|----------------|--|------|------------|
| K1 | Микротумблер МТ-3 МРТУ11 ОЮО.360.016ТУ | 1 | |
| T1 ,T2 | Транзистор 2T368А СБО.336.051 ТУ | 2 | |
| D3 | Диод 2Д522Б дРЗ.362.029-01 ТУ | 1 | |
| T4 ,T5 | Транзистор 2T608Б И93.365.000 ТУ | 2 | |
| D6 | Диод 2Д522Б дРЗ.362.029-01ТУ | 1 | |
| T7 | Транзистор 2T921А ЖК3.365.254 ТУ | 1 | |
| D8 | Стабилитрон 2C168А СМ3.362.077 ГЧ СМ3.362.805 ТУ | 1 | |
| T9 | Транзистор 2T368А СБО.336.051 ТУ | 1 | |
| T10 | Транзистор 2T904А И93.365.008 ТУ | 1 | |
| T11,T12 | Транзистор 2T921А ЖК3.365.254 ТУ | 2 | |
| T13,T14 | Транзистор 2T203А ЖК3.365.007 ТУ | 2 | |
| D15 | Диод 2Д522Б дРЗ.362.019-01 ТУ | 1 | |
| D16,D17 | Диод 2Д103А ТТЗ.362.060 ТУ | 2 | |
| D18,D19 | Стабилитрон 2C133А СМ3.362.077 ГЧ СМ3.362.805 ТУ | 2 | |
| T25 | Транзистор 2T201Б СБО.336.046 ТУ | 1 | |
| D20 | Диод 2Д202В УЖ3.362.035 ТУ | 1 | |
| T21 | Транзистор 2T368А СБО.336.051 ТУ | 1 | |
| D26;D22 D23 | Диод 2Д522Б дРЗ.362.029-01 ТУ | 3 | |
| H1 | Розетка СР-50-112ФВ ОЮО.364.032 ТУ | 1 | |
| S2-S5 | Контакт 46-622-619-00 ЯГ6.622.081 | 4 | |
| S6 | Вилка РЛМИ2-/15К, 2Л, 2М/ ШС-ОП /1Л+1М+14К+1Л+1М+1К/ В-КеО.364.008 ТУ | 1 | |
| H7 | Розетка СР-50-112ФВ ОЮО.364.032 ТУ | 1 | |
| S8 | Вилка 2РМГ18Б7Ш1Е2Б ГЕО.364.140 ТУ | 1 | |
| Sz9,Sz10 | Клемма 44-835-602-00 ЯГ4.835.009 Сп | 2 | |
| H11 | Колодка 46-672-093-00 ЯГ4.882.004 | 1 | |
| Tr1,Tr2 | Трансформатор 44-735-603-00 ЯГ4.735.025 | 2 | |
| Tr3 | Трансформатор 44-735-604-00 ЯГ4.735.025-01 | 1 | |
| Tr4 | Трансформатор 44-735-601-00 ЯГ4.735.024 | 1 | |
| Tr5 | Трансформатор 44-735-602-00 ЯГ4.735.024-01 | 1 | |

Сборочный чертеж платы УИ
TE panel összeszerelési rajza

ПРИЛОЖЕНИЕ 17
17. MELLÉKLET



Электромонтажный чертеж УМ
TE elektromos szerelési rajza

ПРИЛОЖЕНИЕ 13
18. MELLÉKLET

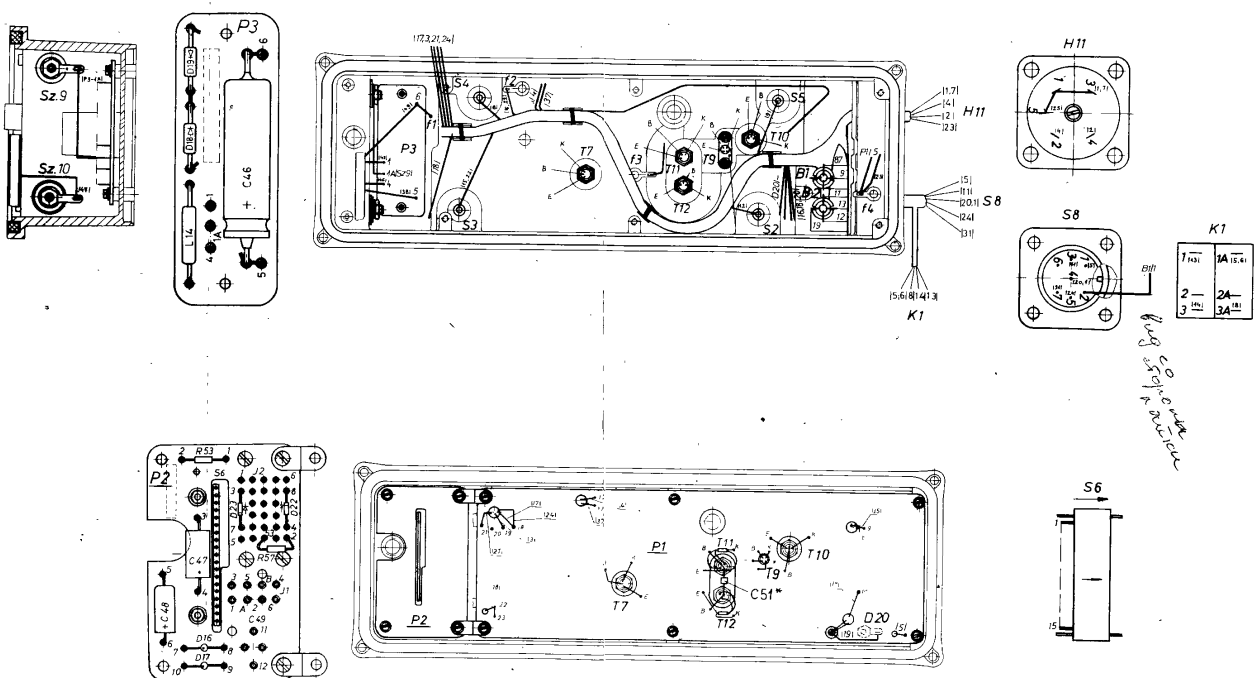
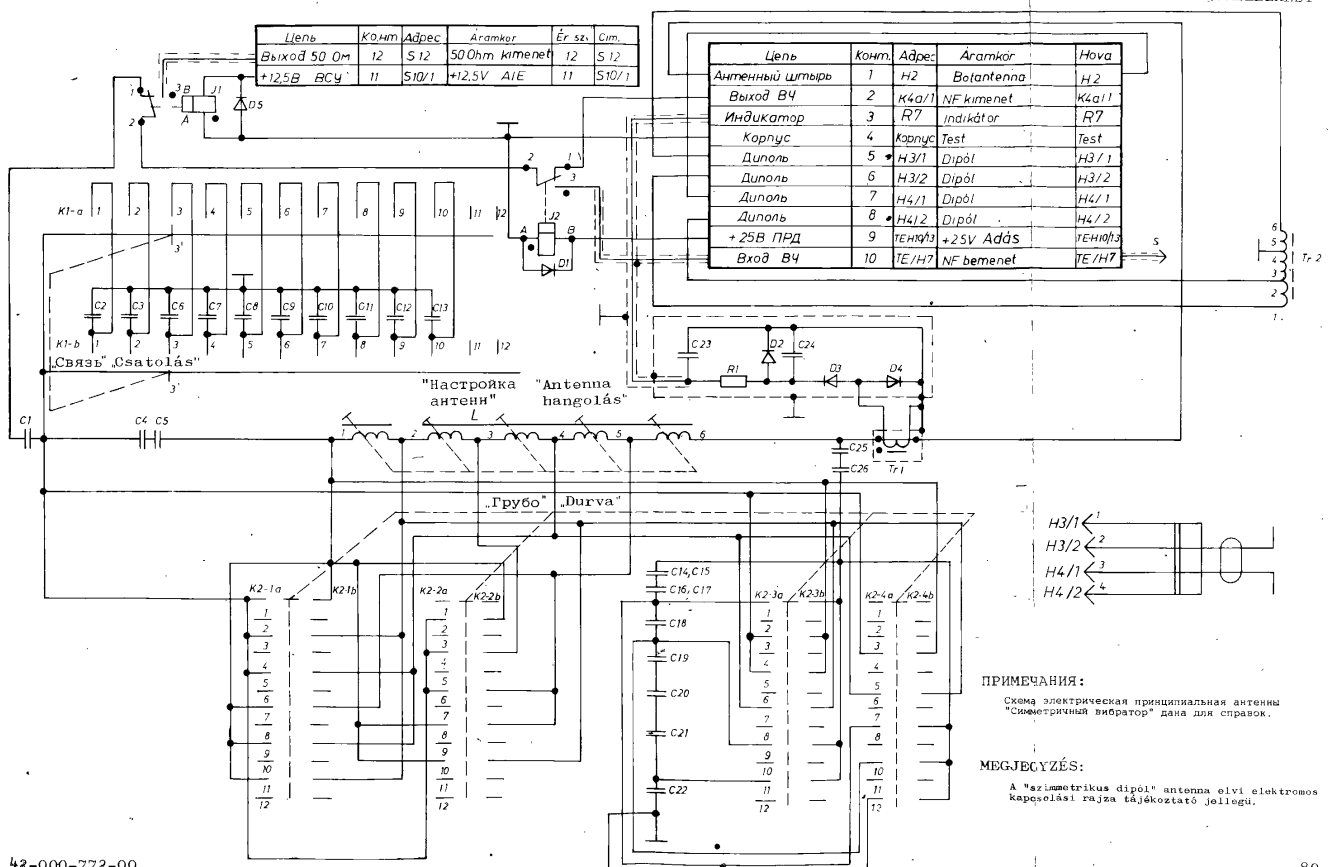


Схема электрическая принципиальная БСН AIE elektromos elvi kapcsolási rajza



ПРИЛОЖЕНИЕ 20

Перечень элементов БСН

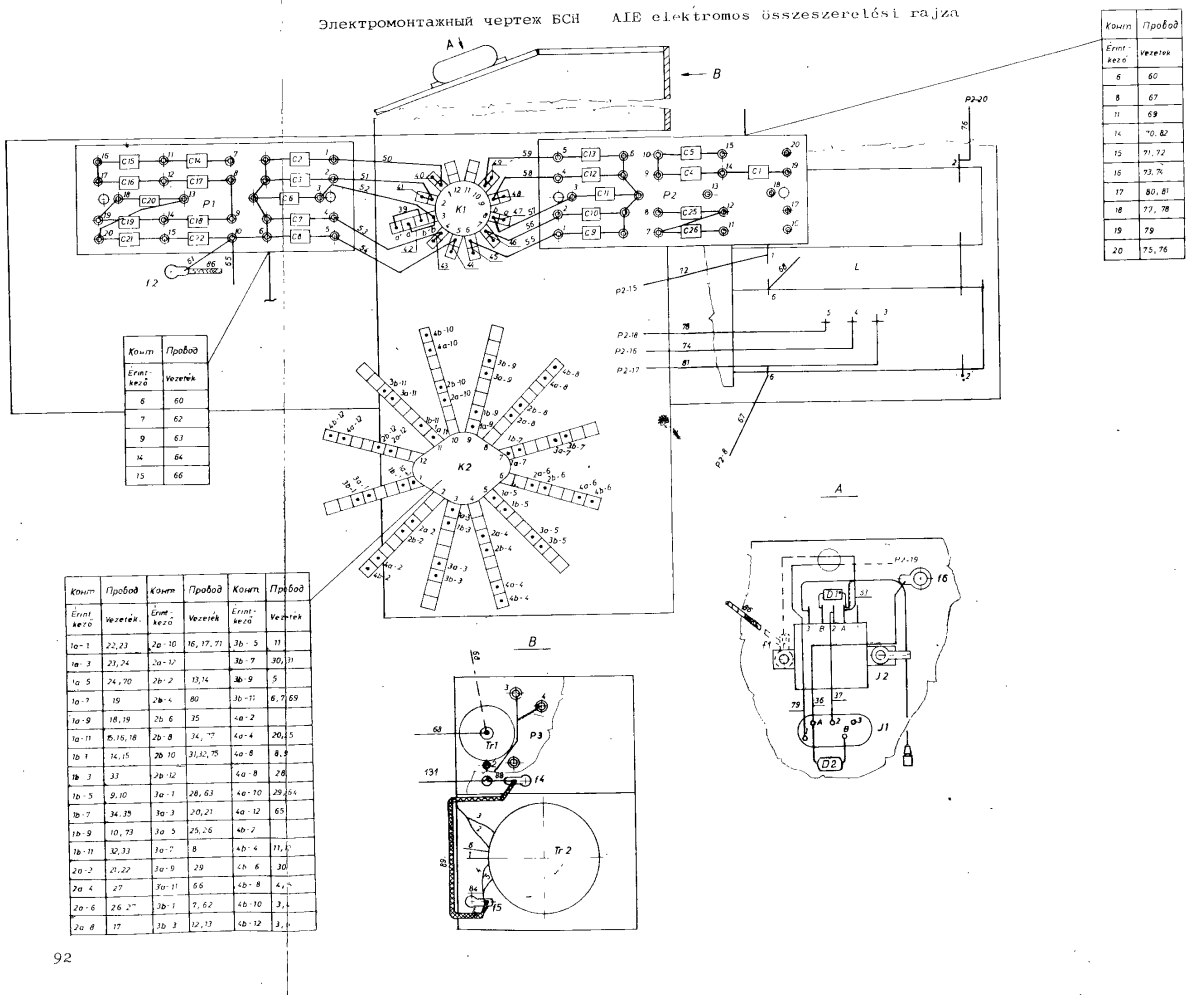
| Поз. обозн. | Наименование | Кол. | Примечание |
|----------------|--|------|---|
| | Конденсаторы К10-48 ОЖО.460.173 ТУ | | |
| | Конденсаторы КМ ОЖО.460.043 ТУ | | |
| C1 | K10-48-а-Н30-1500 пФ ₊ 20% | 1 | |
| C2 | K10-48-а-Н30-2200 пФ ₊ 20% | 1 | |
| C3 | K10-48-а-Н30-1500 пФ ₊ 20% | 1 | |
| C4, C5 | K10-48-а-М47-150 пФ ₊ 10% | 2 | |
| C6 | K10-48-а-М1500-1000 пФ ₊ 10% | 1 | |
| C7 | K10-48-а-М750-680 пФ ₊ 10% | 1 | |
| C8 | K10-48-а-М750-470 пФ ₊ 10% | 1 | |
| C9 | K10-48-а-М750-330 пФ ₊ 10% | 1 | |
| C10 | K10-48-а-М47-220 пФ ₊ 10% | 1 | |
| C11 | K10-48-а-М47-150 пФ ₊ 10% | 1 | |
| C12 | K10-48-а-М47-100 пФ ₊ 10% | 1 | |
| C13 | K10-48-а-М47-68 пФ ₊ 10% | 1 | |
| C14, C15 | K10-48-а-М47-120 пФ ₊ 10% | 2 | C=60 пФ последов. C14, C15 |
| C16, C17 | K10-48-а-М47-240 пФ ₊ 10% | 2 | C=120 пФ последов. C16, C17 |
| C18 | K10-48-а-М750-470 пФ ₊ 10% | 1 | |
| C19..C22 | K10-48-а-М1500-1000 пФ ₊ 10% | 4 | |
| C23, C24 | КМ-5а-Н90-0,068 мкФ ₋₂₀ ⁺⁸⁰ | 2 | Допускается применение КМ-5а-Н30-0,033мкФ ₋₂₀ ⁺⁵⁰ |
| C25, C26 | Конденсатор K10-48-а-М1500-1000пФ ₊ 10% ОЖО.460.173 ТУ | 2 | |
| J1 | Реле РПВ 2/7 РС4.521.959 БГО.452.000ТУ | 1 | |
| J2 | Реле РПВ 2/7 РС4.521.952 БГО.452.000ТУ | 1 | |
| L | Вариометр 44-773-601-00 ЯГ4.773.011 | 1 | |
| R1 | Резистор R534 180 Ohm ₊ 2% | 1 | /0,125Вт ₊ 10%/ |
| K1 | Переключатель ПГ2-6-12П2ИТ ОЮО.360.068 ТУ | 1 | |
| K2 | Переключатель 43-600-601-00 ЯГ3.600.032 | 1 | |
| Trl | Трансформатор тока 44-770-608-00 ШИ4.770.170 Сл | 1 | |

42-000-772-00

Продолжение

| Поз. обозн. | Наименование | Кол. | Примечание |
|----------------|--|------|------------|
| Tr2 | Трансформатор 44-735-605-00 ЯГ4.735.026 | 1 | |
| D1, D5 | Диод 2Д103А ТТЗ.362.060 ту | 2 | |
| D2...D4 | Диод полупроводниковый 2Д522Б дРЗ.362.029-01 ту | 3 | |
| S | Вилка кабельная 46-645-619-00 | 1 | |

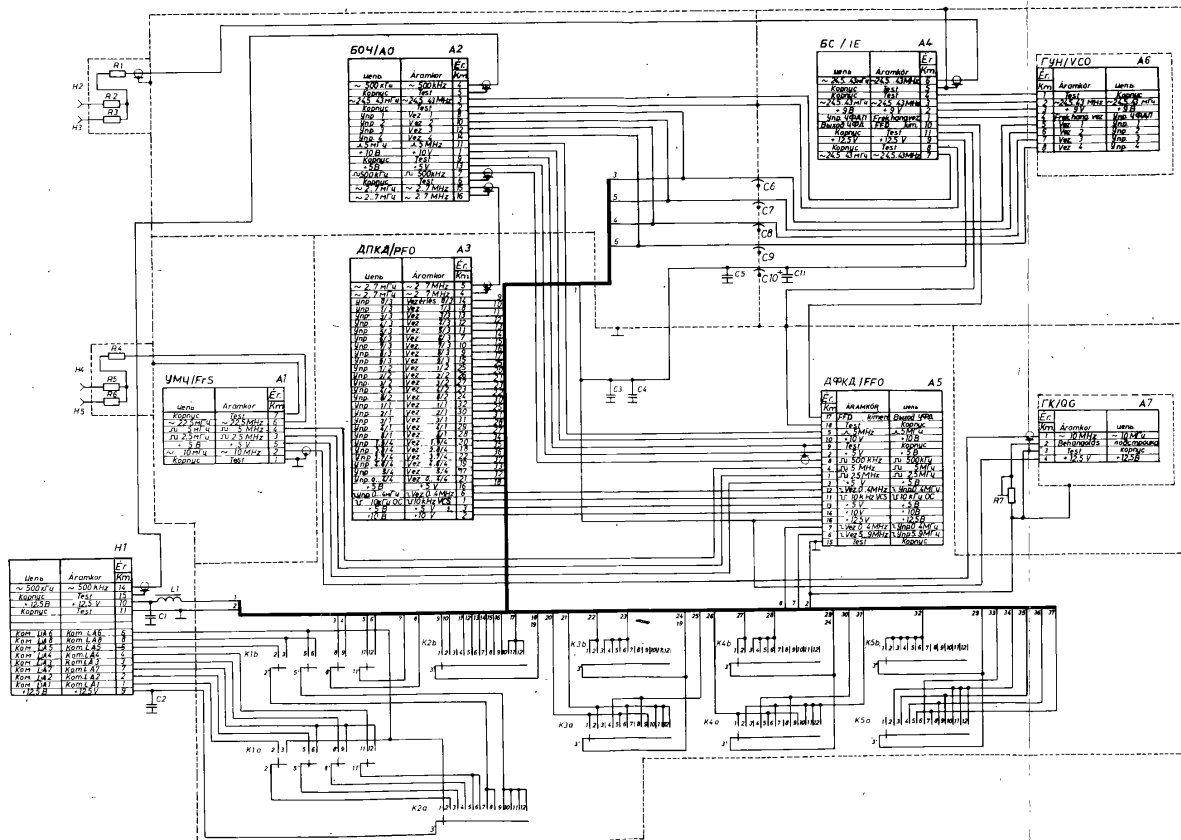
ПРИЛОЖЕНИЕ 21
21. МЕЛЛИКЛЕТ



42-000-772-00/1

ПРИЛОЖЕНИЕ 22
22. MELLÉKLET

Схема электрическая принципиальная СЧ
SZE egység elektromos elvi kapcsolási rajza

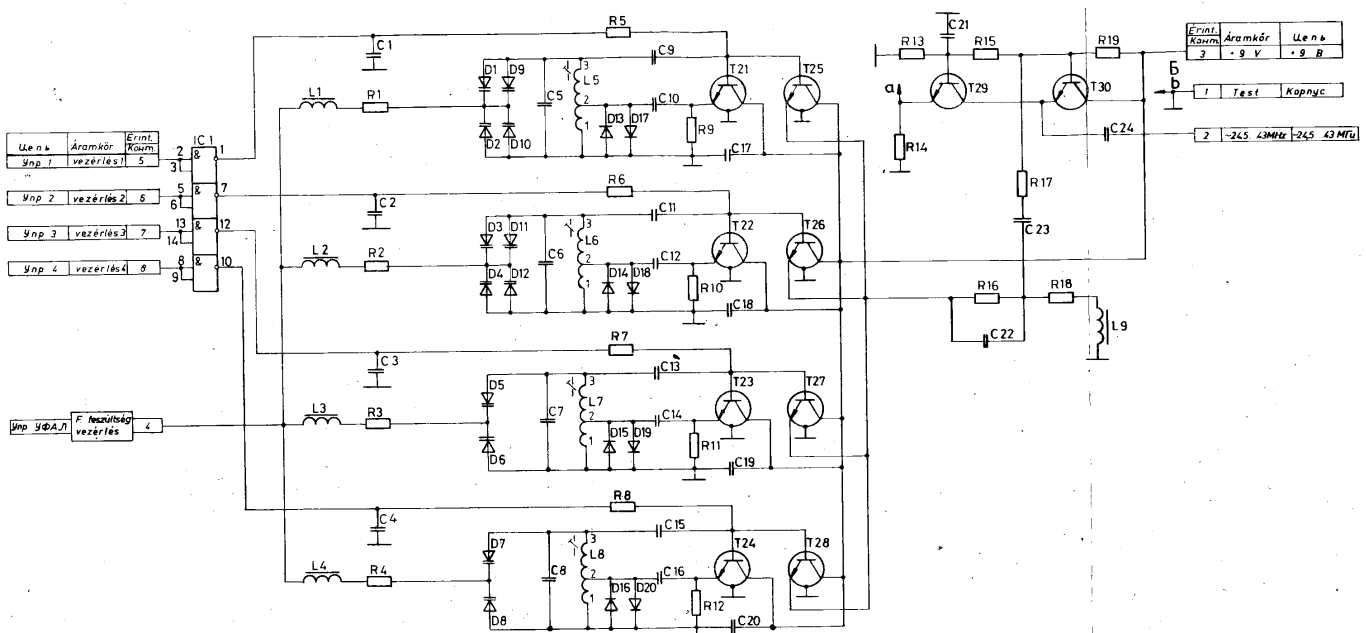


ПРИЛОЖЕНИЕ 23

Перечень элементов СЧ

| Поз. обозн. | Наименование | Кол. | Примечание |
|----------------|--|------|--|
| A1 | Умножитель частоты 45-405-005-00 ЯГ5.405.011 | 1 | |
| A2 | Блок опорных частот 45-405-007-00 ЯГ5.405.009 | 1 | |
| A3 | ДПКД 45-405-003-00 ЯГ5.405.001 | 1 | |
| A4 | Блок согласующий 45-405-006-00 ЯГ5.405.008 | 1 | |
| A5 | ДФКД 45-405-004-00 ЯГ5.405.010 | 1 | |
| A6 | Блок ГУН 45-210-003-00 ЯГ2.210.021 | 1 | |
| A7 | Генератор ГК1-3МаЦО.221.001 ТУ | 1 | |
| C1, C2 | Конденсатор КМ-6а-Н90.0,47 мкФ ОЖО.460.061 ТУ | 2 | |
| C3 | Конденсатор КМ-5а-Н90-0,1 мкФ ^{+80%} _{-20%} ОЖО.460.043 ТУ | 1 | |
| C4 | Конденсатор К50-29-16В-470 мкФ-В ОЖО.464.156 ТУ | 1 | |
| C5 | Конденсатор КМ-5а-Н90-0,1 мкФ ^{+80%} _{-20%} ОЖО.460.043 ТУ | 1 | |
| C6..C10 | Фильтр Б7-2 ОЖО.206.005 ТУ | 5 | |
| C11 | Конденсатор К53-4-20-4,7 ₂ ² % ОЖО.464.037 ТУ | 1 | |
| L1 | Дроссель высокочастотный ДМ-0,4-125 мкГн ₅ ⁺ %-В ГИО.477.005 ТУ | 1 | |
| R1..R6 | Резистор R534 15 Ohm ₂ ² % | 6 | /0,125Вт ₁₀ ⁺ %/ |
| R7 | Резистор СП5-3-1-1Вт 47 кОм ₅ ⁺ % ОЖО.468.506 ТУ | 1 | |
| K1 | Переключатель ПГ2-22-2П8НТ ОЮО.360.068ТУ | 1 | |
| K2-K5 | Переключатель ПГ2-6-12П2НТ ОЮО.360.068ТУ | 4 | |
| H1 | Розетка РЛМИ2-/15К, 2М, 2Н/ ГС-Оп /1Н+1М+14К+1М+1Н+1К/В Ke0.364.008ТУ | 1 | |
| H2-H5 | Розетка приборная СР-50-112ФВ ОЮО.364.032 ТУ | 4 | |

Схема электрическая принципиальная ГУН
VCO egység elektromos elvi kapcsolási rajza



ПРИМЕЧАНИЯ:

1. Контакт 4 микросхемы IC1 соединен с точкой "a".
2. Контакт 11 микросхемы IC1 соединен с точкой "б" /корпус/.

MEGJEGYZÉS:

1. Az IC1 4. érintkezője összekötve az "a" ponttal.
2. Az IC1 11. érintkezője összekötve a "b" ponttal (test).

Перечень элементов ГУН

| Поз. обозн. | Наименование | Кол. | Примечание |
|----------------|---|------|----------------------------|
| | Конденсаторы КД ОЖО.460.154 тУ | | |
| | Конденсаторы КМ ОЖО.460.043 тУ | | |
| C1..C4 | КА-56-Н30-0,01 мкФ ^{+50%} _{-20%} | 4 | |
| C5 | КД-1-М750-18 пФ ^{+5%} -3 | 1 | |
| C6 | КД-1-М75-12 пФ ^{+10%} -3 | 1 | |
| C8 | КД-1-М75-10 пФ ^{+10%} -3 | 1 | |
| C9 | КД-1-М75-3,3 пФ ^{+0,4} -3 | 1 | |
| C10 | КМ-56-М1500-680 пФ ^{+10%} | 1 | |
| C11 | КД-1-М75-4,7 пФ ^{+0,4} -3 | 1 | |
| C12 | КМ-56-М1500-680 пФ ^{+10%} | 1 | |
| C13 | КД-1-М75-4,7 пФ ^{+0,4} -3 | 1 | |
| C14 | КМ-56-М1500-680 пФ ^{+10%} | 1 | |
| C15 | КД-1-М75-3,3 пФ ^{+0,4} -3 | 1 | |
| C16 | КМ-56-М1500-680 пФ ^{+10%} | 1 | |
| C17..C22 | КМ-56-Н30-0,01 мкФ ^{+50%} _{-20%} | 6 | |
| C23 | КМ-56-М750-100 пФ ^{+10%} | 1 | |
| C24 | КМ-56-Н90-0,047 мкФ ^{+80%} _{-20%} | 1 | |
| C7 | КД-1-М75-6,8 пФ ^{+10%} -3 | 1 | |
| IC1 | Микросхема 134ЛБ1А бКО.347.083 тУ1 | 1 | |
| L1..L4 | Дроссель высокочастотный ДМ-0,1-125 мкГн ^{+5%} ГИО.477.005 тУ | 4 | |
| L5 | Катушка индуктивности 44-775-608-00 ЯГ4.775.054 | 1 | |
| L6 | Катушка индуктивности 44-775-609-00 ЯГ4.775.054-01 | 1 | |
| L7 | Катушка индуктивности 44-775-608-00 ЯГ4.775.054 | 1 | |
| L8 | Катушка индуктивности 44-775-609-00 ЯГ4.775.054-01 | 1 | |
| L9 | Дроссель высокочастотный ДМ-3-2 мкГн ^{+0,4} -В ГИО.477.005 тУ | 1 | |
| | Резисторы R534 RX-74.381/IMF-151-82 | | |
| R1..R4 | R534 1,5 kOhm ^{+2%} | 4 | /0,125Вт ^{+10%} / |
| R5..R8 | R534 12 kOhm ^{+2%} | 4 | /0,125Вт ^{+10%} / |

| Поз. обозн. | Наименование | Кол. | Примечание |
|----------------|---------------------------------|------|----------------------|
| R9...R12 | R534 3,3 kOhm \pm 2% | 4 | /0,125Вт \pm 10% / |
| R13 | R534 12 kOhm \pm 2% | 1 | /0,125Вт \pm 10% / |
| R14 | R534 1,5 kOhm \pm 2% | 1 | /0,125Вт \pm 10% / |
| R15 | R534 4,7 kOhm \pm 2% | 1 | /0,125Вт \pm 10% / |
| R16 | R534 1,5 kOhm \pm 2% | 1 | /0,125Вт \pm 10% / |
| R17 | R534 560 Ohm \pm 2% | 1 | /0,125Вт \pm 10% / |
| R18 | R534 100 Ohm \pm 2% | 1 | /0,125Вт \pm 10% / |
| R19 | R534 2,2 kOhm \pm 2% | 1 | /0,125Вт \pm 10% / |
| D1...D12 | Варикап 2B124A аАО.339.170 ту | 12 | |
| D13..D20 | диод 2Д522Б дР3.362.029-01 ту | 8 | |
| T21..T30 | Транзистор 2T368А СБО.336.051ту | 10 | |

Сборочный чертеж платы ГУН

ПРИЛОЖЕНИЕ 26

26. MELLÉKLET

VCO panel összeszerelési rajza

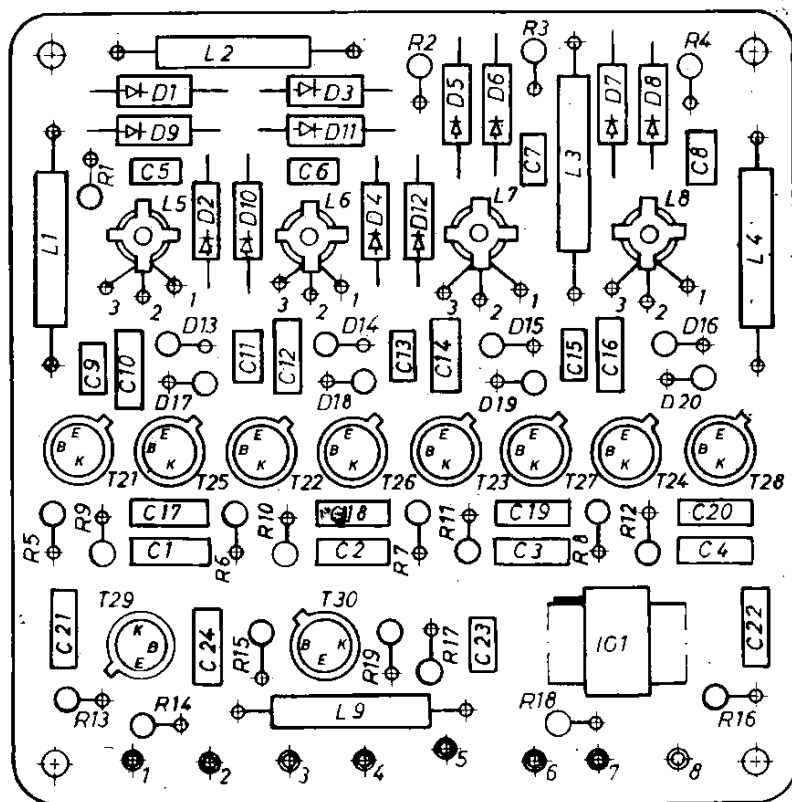
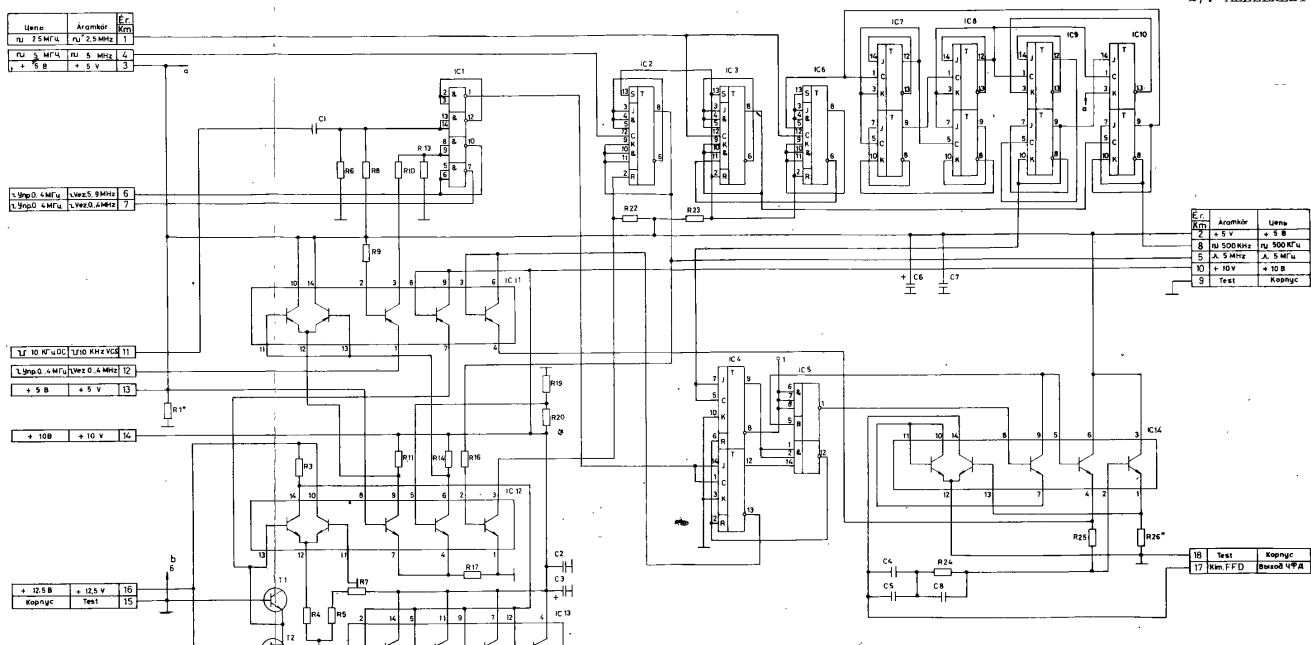


Схема электрическая принципиальная ДФКД

FPO elektromos elvi kapcsolási rajza

ПРИЛОЖЕНИЕ 27
27. MELLÉKLET



ПРИМЕЧАНИЯ:

- Контакты 7 микросхем IC2, IC3, IC6 и контакты 11 микросхем IC10, IC11, IC12 соединены с шиной "b" /корпус/.
- Контакты 14 микросхем IC2, IC3, IC6, IC10 и контакты 15 микросхем IC10 соединены с шиной "a" (+5,0 В).

MEGJEGYZÉS:

- Az IC2, IC3, IC6 7. érintkezője és az IC1, IC4, IC5, IC7, IC10 11. érintkezője összekötve a "b" ponttal {test}.
- Az IC2, IC3, IC6 14. érintkezője és az IC1, IC4, IC5, IC7, IC10 15. érintkezője összekötve az "a" ponttal (+5,0 V).

ПРИЛОЖЕНИЕ 28

Перечень элементов ДФКД

| Поз. обозн. | Наименование | Кол. | Примечание |
|--|--|------|---|
| IC11 | Микросхема 198НТ7А ШПО.348.002 ТУ | 1 | |
| IC12 | Микросхема 198НТ1А ШПО.348.002 ТУ | 1 | |
| IC13 | Транзисторная матрица 2ТС622А И93.456.001 ТУ | 1 | |
| IC14 | Микросхема 198НТ1А ШПО.348.002 ТУ Конденсаторы КМ ОЖО.460.043 ТУ Конденсаторы К53-4 ОЖО.464.037 ТУ Конденсаторы К73-16 ОЖО.461.108 ТУ | 1 | |
| C1 | КМ-5б-Н90-0,047 мкФ ^{+80%} _{-20%} | 1 | |
| C2 | КМ-5а-Н90-0,1 мкФ ^{+80%} _{-20%} | 1 | |
| C3 | К53-4-15-15 ^{+20%} | 1 | |
| C4, C5 | К73-16а-63В-0,47 мкФ ^{+10%} | 2 | |
| C6 | К53-4-6-4,7 ^{+20%} | 1 | |
| C7 | КМ-5а-Н90-0,1 мкФ ^{+80%} _{-20%} | 1 | |
| C8 | К73-16а-63В-0,47 мкФ ^{+10%} | 1 | |
| Микросхемы | | | |
| IC1 | 134ЛБ1А БКО.347.083 ТУ1 | 1 | |
| IC2 | 133ТВ1 И6/И63.088.023 ТУ7 | 1 | |
| IC3 | 136ТВ1 И63.088.023 ТУ1 | 1 | |
| IC4 | 134ТВ14 БКО.347.083 ТУ1 | 1 | |
| IC5 | 106ЛБ2 БКО.347.082 ТУ1 | 1 | |
| IC6 | 136ТВ1 И63.088.023 ТУ1 | 1 | |
| IC7..IC10 | 134ТВ14 БКО.347.083 ТУ1 | 4 | |
| Резисторы R534 RX-74.381/IMF-151-82 | | | |
| Резисторы СП5-2 ОЖО.468.506 ТУ | | | |
| R1* | R534 1 kOhm ^{+2%} | 1 | 510 Ом-1 кОм /0,125Вт ^{+10%} / может отсутств. |
| R2 | R534 2,2 kOhm ^{+2%} | 1 | /0,125Вт ^{+10%} / |
| R3 | R534 5,6 kOhm ^{+2%} | 1 | /0,125Вт ^{+10%} / |
| R4 | R534 1 kOhm ^{+2%} | 1 | /0,125Вт ^{+10%} / |
| R5 | R534 4,7 kOhm ^{+2%} | 1 | /0,125Вт ^{+10%} / |
| R6 | R534 10 kOhm ^{+2%} | 1 | /0,125Вт ^{+10%} / |

42-000-772-00/1

Продолжение

| Поз. обозн. | Наименование | Кол. | Примечание |
|----------------|----------------------------------|------|-----------------------------------|
| R7 | СИ5-2В-1Вт-4,7 кОм \pm 5% | 1 | |
| R8 | R534 10 kOhm \pm 2% | 1 | /0,125Вт \pm 10% |
| R9 | R534 6,8 kOhm \pm 2% | 1 | /0,125Вт \pm 10% |
| R10 | R534 4,7 kOhm \pm 2% | 1 | /0,125Вт \pm 10% |
| R11 | R534 100 Ohm \pm 2% | 1 | /0,125Вт \pm 10% |
| R12 | R534 56 Ohm \pm 2% | 1 | /0,125Вт \pm 10% |
| R13 | R534 2,2 kOhm \pm 2% | 1 | /0,125Вт \pm 10% |
| R14 | R534 5,6 kOhm \pm 2% | 1 | /0,125Вт \pm 10% |
| R15 | R534 56 Ohm \pm 2% | 1 | /0,125Вт \pm 10% |
| R16 | R534 1 kOhm \pm 2% | 1 | /0,125Вт \pm 10% |
| R17 | R534 5,6 kOhm \pm 2% | 1 | /0,125Вт \pm 10% |
| R18 | R534 56 kOhm \pm 2% | 1 | /0,125Вт \pm 10% |
| R19, R20 | R534 22 kOhm \pm 2% | 2 | /0,125Вт \pm 10% |
| R21 | R534 56 Ohm \pm 2% | 1 | /0,125Вт \pm 10% |
| R22 | R534 2,2 kOhm \pm 2% | 1 | /0,125Вт \pm 10% |
| R23 | R534 1 kOhm \pm 2% | 1 | /0,125Вт \pm 10% |
| R24 | R534 1,5 kOhm \pm 2% | 1 | /0,125Вт \pm 10% |
| R25 | R534 2,2 kOhm \pm 2% | 1 | /0,125Вт \pm 10% |
| R26* | R534 10 kOhm \pm 2% | 1 | 4,7-100 кОм /0,125Вт \pm 10% |
| T1 | Транзистор 2Т312Б ЖК3.365.143 ТУ | 1 | |
| T2 | Транзистор 2П103Д ТФ3.365.000 ТУ | 1 | |

Сборочный чертеж платы ДФКД
FFO panel összeszerelési rajza

ПРИЛОЖЕНИЕ 29
29. MELLÉKLET

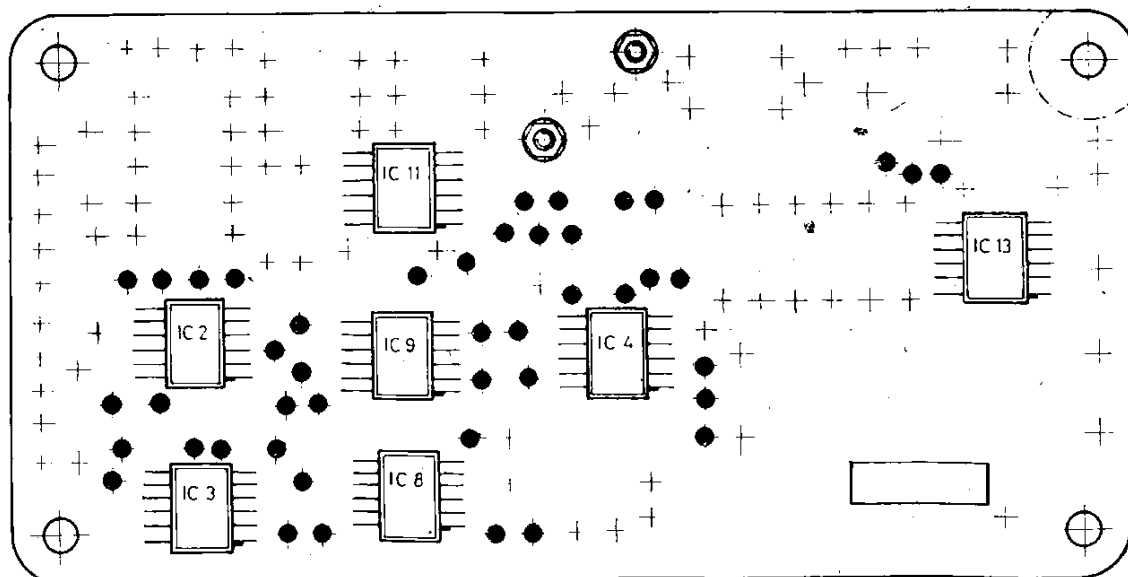
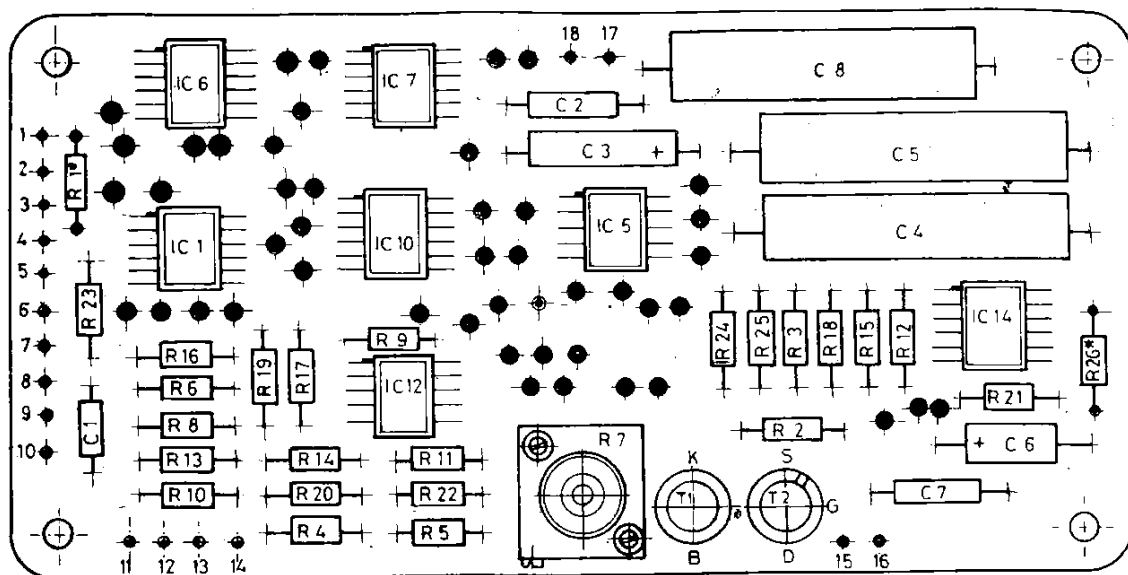
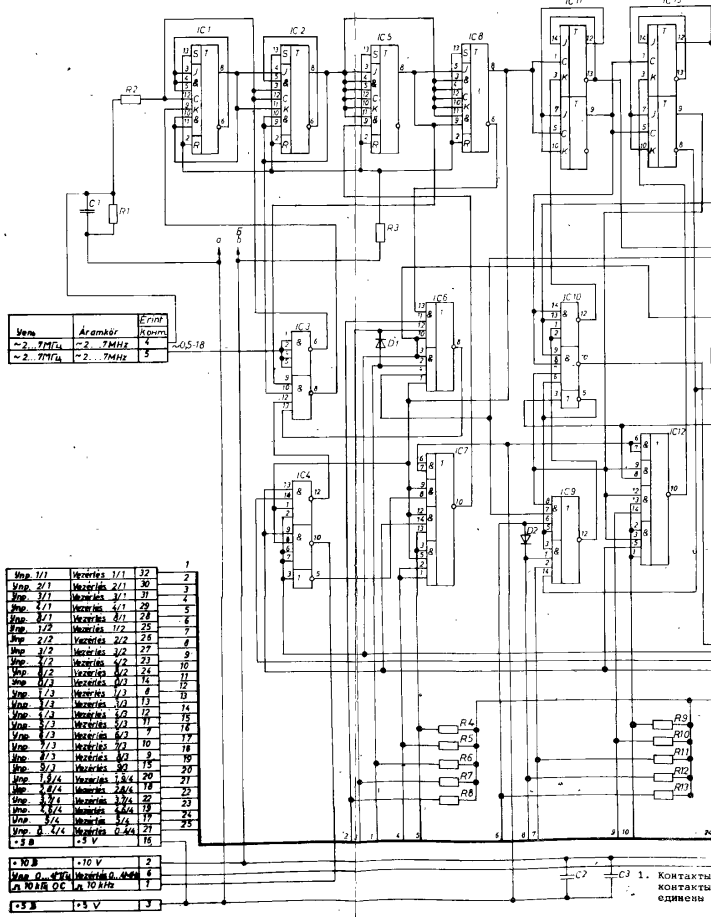
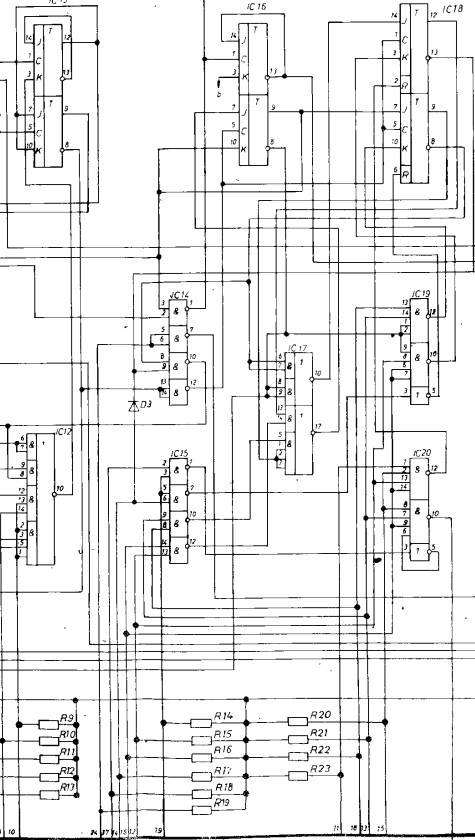


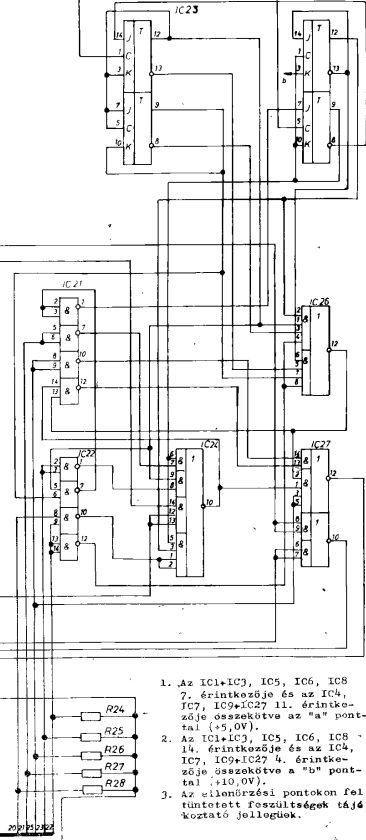
Схема электрическая принципиальная ДПКД



PFO elektromos elvű kapcsolási rajza



ПРИЛОЖЕНИЕ 30 30. MELLÉKLET



- Az IC1-IC3, IC5, IC6, IC8, érintkezője és az IC4, IC7, IC9-IC27 11. érintkezője összekötve az "a" pontot a "b" ponttal.
- Az IC1-IC3, IC5, IC6, IC8, érintkezője és az IC4, IC7, IC9-IC27 4. érintkezője összekötve a "b" pontot a "c" ponttal.
- Az elmenőrészeti pontokon fel tüntetett feszültségek tölje ki a köztájellegük.

1. Контакты 7 микросхем IC1..IC3, IC5, IC6, IC8 и контакты 11 микросхем IC4..IC7, IC9..IC27 соединены с точкой "а" /+5,0 В/.

2. Контакты 14 микросхем IC1..IC3, IC5, IC6, IC8 и контакты 4 микросхем IC4..IC7, IC9..IC27 соединены с точкой "б" /+10,0 В/.

3. Напряжения, указанные на контролирующих гнездах и элементах, даны для справок.

ПРИЛОЖЕНИЕ 31

Перечень элементов ДПКД

| Поз. одозн. | Наименование | Кол. | Примечание |
|----------------|--|------|-----------------------|
| | Конденсаторы КМ ОЖО.460.043 ТУ | | |
| | Конденсаторы К53-4 ОЖО.464.037 ТУ | | |
| C1 | КМ-56-Н90-0,047 мкФ $^{+80\%}_{-20\%}$ | 1 | |
| C2 | К53-4-20-4,7 $\pm 20\%$ | 1 | |
| C3 | КМ-5а-Н90-0,1 мкФ $^{+80\%}_{-20\%}$ | 1 | |
| | Микросхемы | | |
| IC1, IC2 | 133ТВ1 И6/И63.088.023 ТУ7 | 2 | |
| IC3 | 133ЛА1 И6/И63.088.023 ТУ7 | 1 | |
| IC4 | 134ЛБ2Б БКО.347.083 ТУ1 | 1 | |
| IC5 | 136ТВ1 И63.088.023 ТУ1 | 1 | |
| IC6 | 136ЛР4 И63.088.023 ТУ | 1 | |
| IC7 | 134ЛР2Б БКО.347.083 ТУ1 | 1 | |
| IC8 | 136ТВ1 И63.088.023 ТУ1 | 1 | |
| IC9 | 134ЛР4А БКО.347.083 ТУ4 | 1 | |
| IC10 | 134ЛБ2А БКО.347.083 ТУ1 | 1 | |
| IC11 | 134ТВ14 БКО.347.083 ТУ1 | 1 | |
| IC12 | 134ЛР2А БКО.347.083 ТУ1 | 1 | |
| IC13 | 134ТВ14 БКО.347.083 ТУ1 | 1 | |
| IC14, IC15 | 134ЛБ1А БКО.347.083 ТУ1 | 2 | |
| IC16 | 134ТВ14 БКО.347.083 ТУ1 | 1 | |
| IC17 | 134ЛР1А БКО.347.083 ТУ1 | 1 | |
| IC18 | 134ТВ14 БКО.347.083 ТУ1 | 1 | |
| IC19, IC20 | 134ЛБ2А БКО.347.083 ТУ1 | 2 | |
| IC21, IC22 | 134ЛБ1А БКО.347.083 ТУ1 | 2 | |
| IC23 | 134ТВ14 БКО.347.083 ТУ1 | 1 | |
| IC24 | 134ЛР2А БКО.347.083 ТУ1 | 1 | |
| IC25 | 134ТВ14 БКО.347.083 ТУ1 | 1 | |
| IC26 | 134ЛР4А БКО.347.083 ТУ4 | 1 | |
| IC27 | 134ЛР1А БКО.347.083 ТУ1 | 1 | |
| | Резисторы R534 RX-74.381/IMF-151-82 | | |
| R1, R2 | R534 1,5 kOhm $\pm 2\%$ | 2 | /0,125Вт $\pm 10\%$ / |
| R3 | R534 1 kOhm $\pm 2\%$ | 1 | /0,125Вт $\pm 10\%$ / |

Продолжение

| Поз. обозн. | Наименование | Кол. | Примечание |
|----------------|-------------------------------|------|--------------------|
| R4...R28 | R534 15 kOhm \pm 2% | 25 | /0,125Вт \pm 10% |
| D1...D3 | Диод 2Д522Б дРЗ.362.029-01 ТУ | 3 | |

Сборочный чертеж платы ДПКД

ПРИЛОЖЕНИЕ 32

32. MELLÉKLET

PFO panel összeszerelési rajza

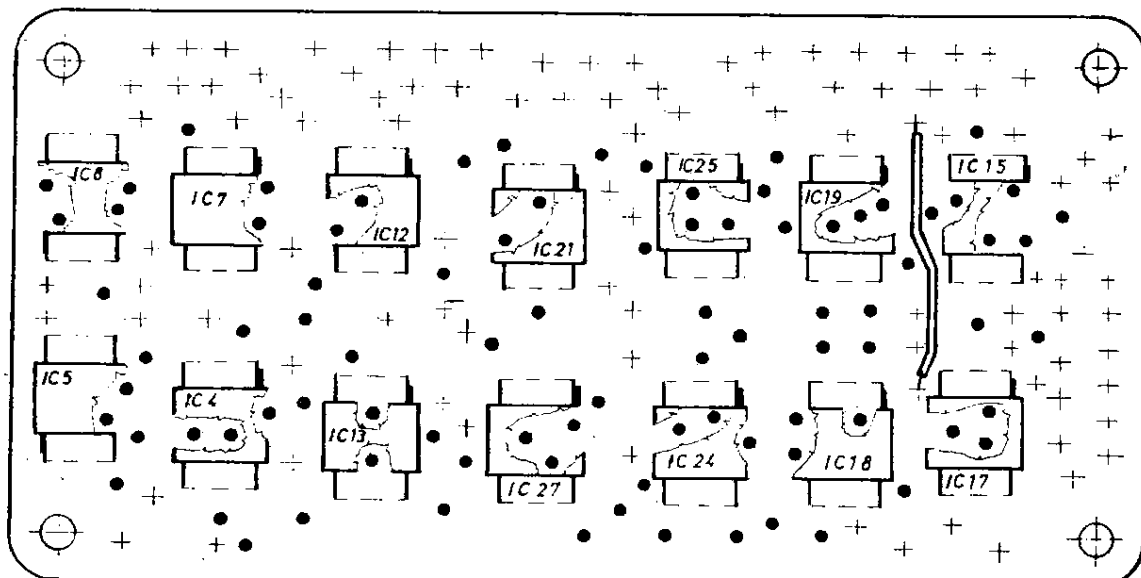
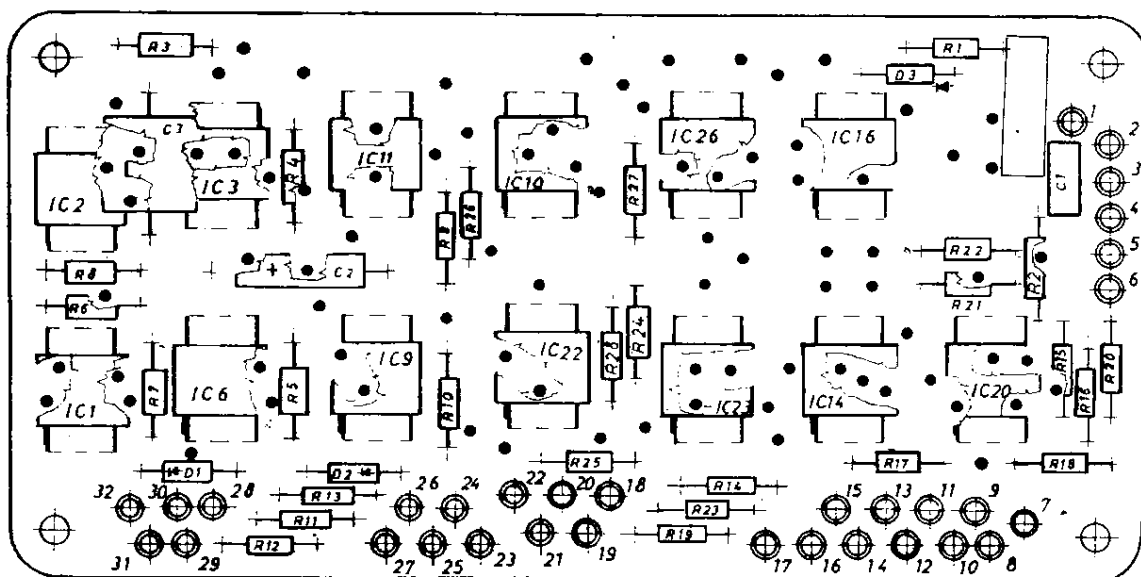
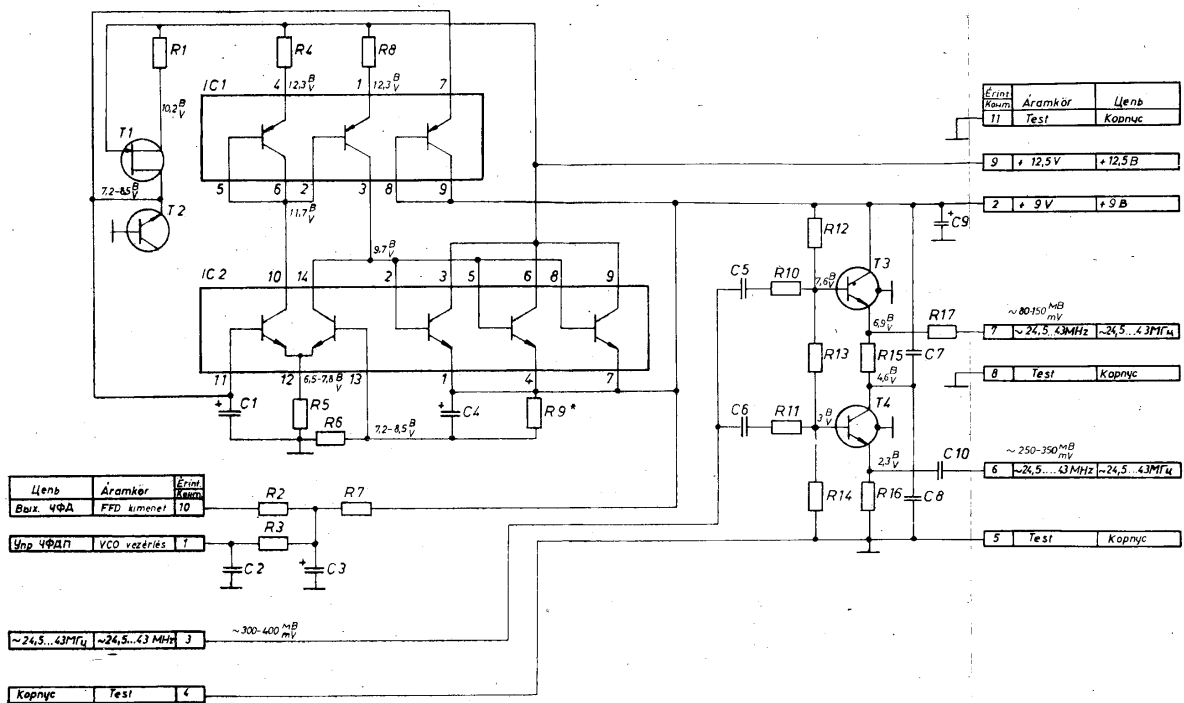


Схема электрическая принципиальная платы ВС
AIE elektromos elvi kapcsolási rajza

ПРИЛОЖЕНИЕ 33
33. MELLÉKLET



ПРИМЕЧАНИЯ:

Напряжения, указанные на контрольных гнездах и элементах, даны для справок.

MEGJEGYZÉS:

Az ellenőrzési pontokon feltüntetett feszültségek talyékoztató jellegük.

ПРИЛОЖЕНИЕ 34

Перечень элементов БС

| Поз. обозн. | Наименование | Кол. | Примечание |
|----------------|---|------|---------------------------------------|
| IC1 | Микросхема 198НТ7А ШПО.348.002 ту | 1 | |
| IC2 | Микросхема 198НТ1А ШПО.348.002 ту | 1 | |
| | Конденсаторы КМ ОЖО.460.043 ту | | |
| | Конденсаторы К53-4 ОЖО.464.037 ту | | |
| C1 | K53-4-15-68 \pm 30% | 1 | |
| C2 | КМ-56-Н30-0,01 мкФ $\frac{+50}{-20}\%$ | 1 | |
| C3 | K53-4-15-0,47 \pm 20% | 1 | |
| C4 | K53-4-15-15 \pm 20% | 1 | |
| C5,C6 | КМ-56-Н90-0,047 мкФ $\frac{+80}{-20}\%$ | 2 | |
| C7,C8 | КМ-56-Н90-0,1 мкФ $\frac{+80}{-20}\%$ | 2 | |
| C9 | K53-4-15-15 \pm 20% | 1 | |
| C10 | КМ-56-Н90-0,047 мкФ $\frac{+80}{-20}\%$ | 1 | |
| | Резисторы R534 RX-74.381/1MF-151-82 | | |
| R1 | R534 3,3 kOhm \pm 2% | 1 | /0,125Вт \pm 10% |
| R2 | R534 330 Ohm \pm 2% | 1 | /0,125Вт \pm 10% |
| R3 | R534 6,8 kOhm \pm 2% | 1 | /0,125Вт \pm 10% |
| R4 | R534 510 Ohm \pm 2% | 1 | /0,125Вт \pm 10% |
| R5 | R534 3,3 kOhm \pm 2% | 1 | /0,125Вт \pm 10% |
| R6 | R534 10 kOhm \pm 2% | 1 | /0,125Вт \pm 10% |
| R7 | R534 1 kOhm \pm 2% | 1 | /0,125Вт \pm 10% |
| R8 | R534 12 Ohm \pm 2% | 1 | /0,125Вт \pm 10% |
| R9* | R534 1,5 kOhm \pm 2% | 1 | 680 Ом...3,3 Ом /0,125Вт \pm 10% |
| R10,R11 | R534 100 Ohm \pm 2% | 2 | /0,125Вт \pm 10% |
| R12 | R534 3,3 kOhm \pm 2% | 1 | /0,125Вт \pm 10% |
| R13 | R534 10 kOhm \pm 2% | 1 | /0,125Вт \pm 10% |
| R14 | R534 6,8 kOhm \pm 2% | 1 | /0,125Вт \pm 10% |
| R15,R16 | R534 470 Ohm \pm 2% | 2 | /0,125Вт \pm 10% |
| R17 | R534 2,2 kOhm \pm 2% | 1 | /0,125Вт \pm 10% |
| T1 | Транзистор 2П103Д ТФ3.365.000 ту | 1 | |
| T2 | Транзистор 2T312Б ЖКЗ.365.143 ту | 1 | |
| T3,T4 | Транзистор 2T368А СБО.336.051 ту | 2 | |

Сборочный чертеж платы БС

ПРИЛОЖЕНИЕ 35
35. MELLÉKLET

IE panel összeszerelési rajza

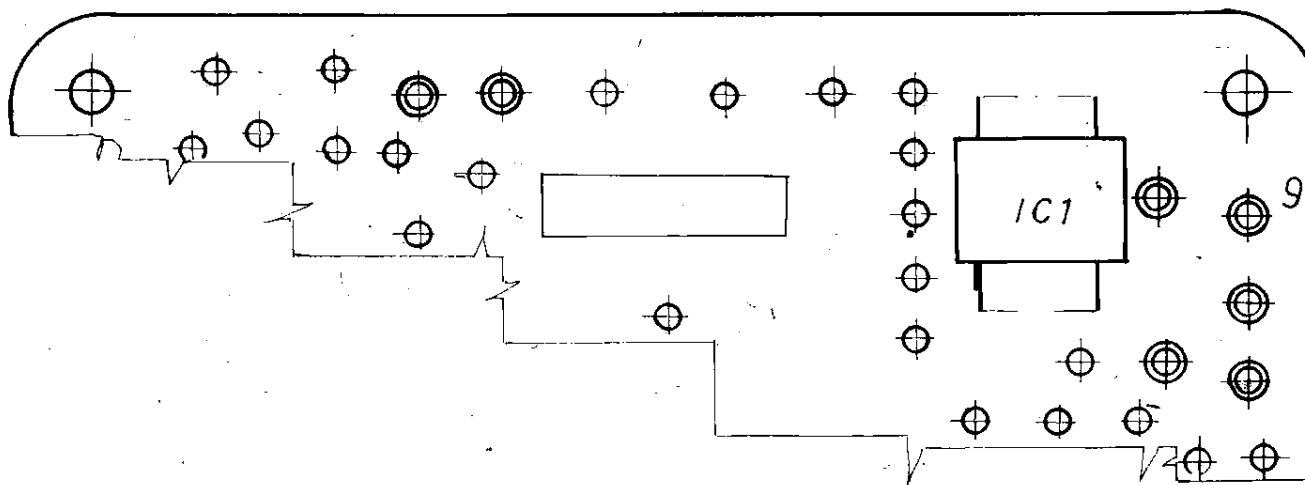
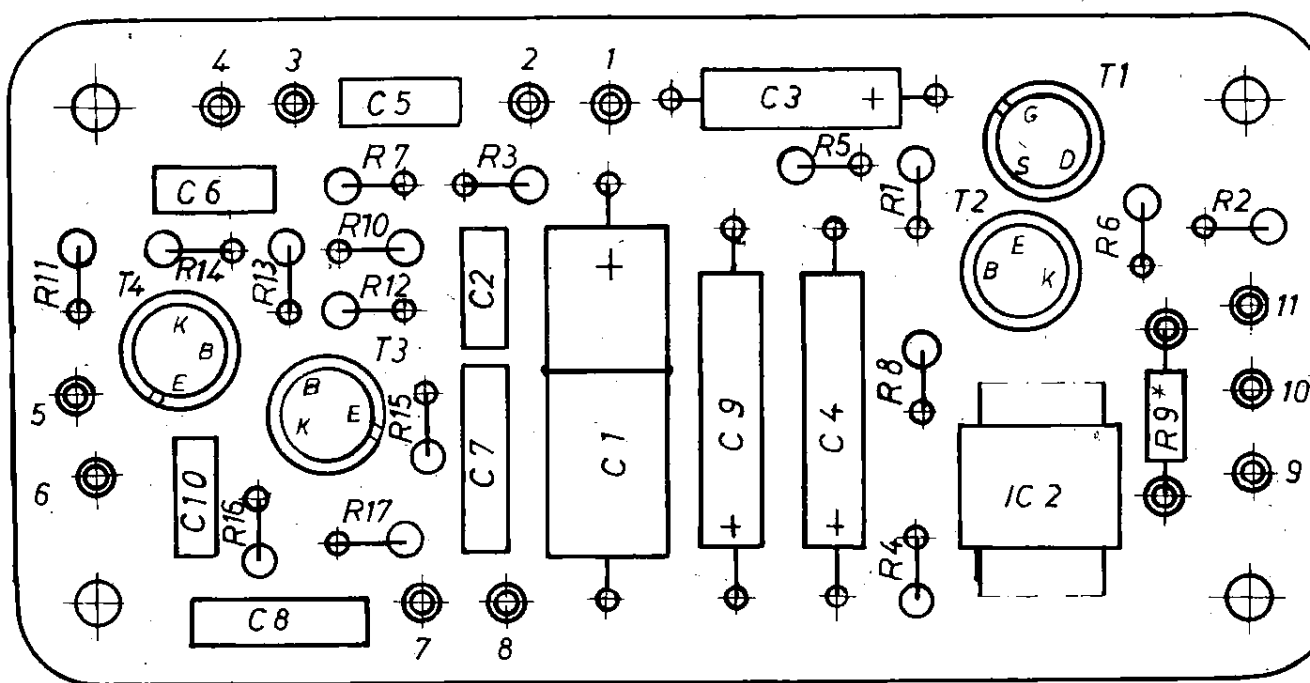
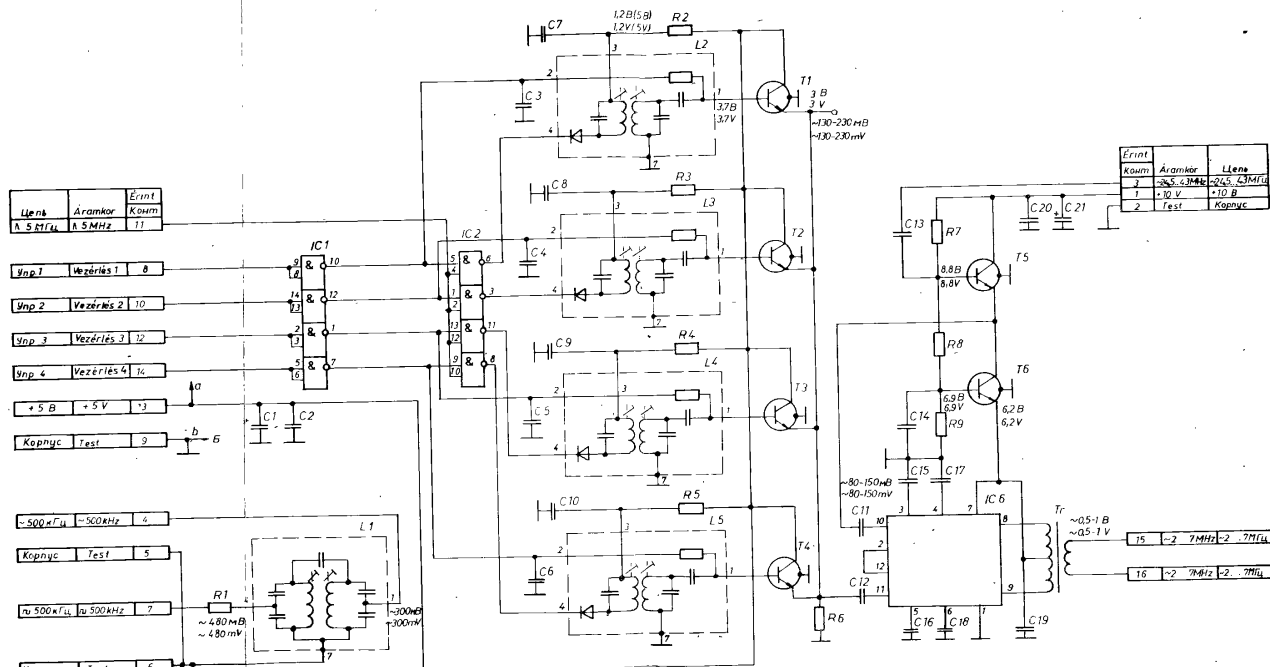


Схема электрическая принципиальная БОЧ
AFO egység elektromos kapcsolási rajza



ПРИМЕЧАНИЯ:

- Контакт 4 микросхемы IC1 и контакт 14 микросхемы IC2 соединены с точкой "a" /+5,0 В/.
- Контакт 11 микросхемы IC1 и контакт 7 микросхемы IC2 соединены с точкой "б" /корпус/.
- Напряжения, указанные на контрольных гнездах и элементах, даны для справок.

МЕГЈЕGYZÉS:

- Az IC1 4. érintkezője és az IC2 14. érintkezője összekötve az "a" ponttal (+5,0V).
- Az IC1 11. érintkezője és az IC2 7. érintkezője összekötve a "b" ponttal (test).
- Az ellenőrzési pontokon feltüntetett feszültségek tájékoztató jellegűek.

ПРИЛОЖЕНИЕ 37

Перечень элементов БОЧ

| Поз. обозн. | Наименование | Кол. | Примечание |
|----------------|--|------|----------------------------|
| L1 | Фильтр 42-067-620-00 ЯГ2.067.120 | 1 | |
| L2 | Фильтр 42-067-619-00 ЯГ2.067.118-03 | 1 | |
| L3 | Фильтр 42-067-618-00 ЯГ2.067.118-02 | 1 | |
| L4 | Фильтр 42-067-617-00 ЯГ2.067.118-01 | 1 | |
| L5 | Фильтр 42-067-616-00 ЯГ2.067.118 | 1 | |
| IC6 | Микросхема 526ПС1 бКО.347.035 тУ Конденсатор КМ ОЖО.460.043 тУ Конденсаторы К53-4 ОЖО.464.037 тУ | 1 | |
| C1 | K53-4-20-4,7 _{+20%} | 1 | |
| C2 | КМ-5б-Н90-0,1 мкФ _{-20%} ^{+80%} | 1 | |
| C3..C10 | КМ-5б-Н30-0,01 мкФ _{-20%} ^{+50%} | 8 | |
| C11..C13 | КМ-5б-Н90-0,047 мкФ _{-20%} ^{+80%} | 3 | |
| C14..C20 | КМ-5б-Н90-0,1 мкФ _{-20%} ^{+80%} | 7 | |
| C21 | K53-4-20-4,7 _{+20%} Микросхемы | 1 | |
| IC1 | 134ЛБ1А бКО.347.083 тУ1 | 1 | |
| IC2 | 133ЛАЗ И6/И63.088.023 тУ7 Резисторы R534 RX-74.381/IMF-151-82 | 1 | |
| R1 | R534 1 kOhm _{+2%} | 1 | /0,125Вт _{+10%} / |
| R2..R6 | R534 3,3 kOhm _{+2%} | 5 | /0,125Вт _{+10%} / |
| R7 | R534 1,8 kOhm _{+2%} | 1 | /0,125Вт _{+10%} / |
| R8 | R534 3,3 kOhm _{+2%} | 1 | /0,125Вт _{+10%} / |
| R9 | R534 12 kOhm _{+2%} | 1 | /0,125Вт _{+10%} / |
| T1..T6 | Транзистор 2T368А СБО.336.051 тУ | 6 | |
| Tr1 | Трансформатор 44-770-606-00 ЯГ4.770.010 | 1 | |

Сборочный чертеж платы БОЧ

ПРИЛОЖЕНИЕ 38

38. MELLÉKLET

AFO panel összeszerelési rajza

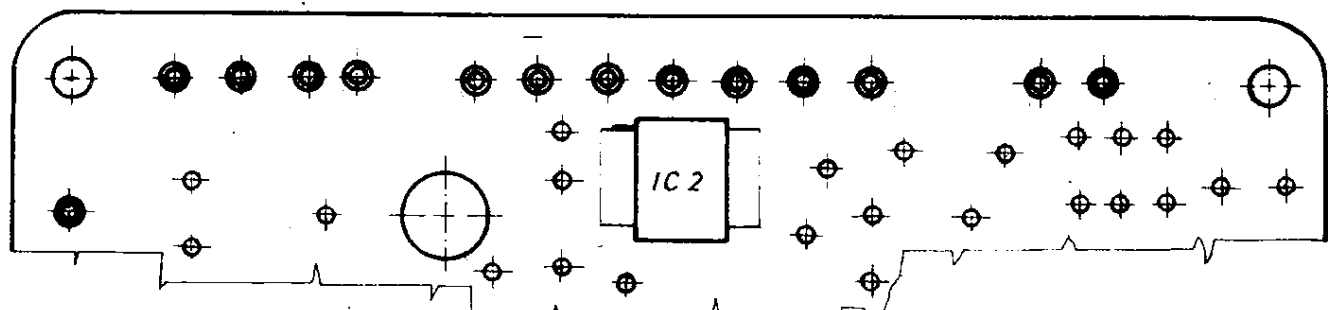
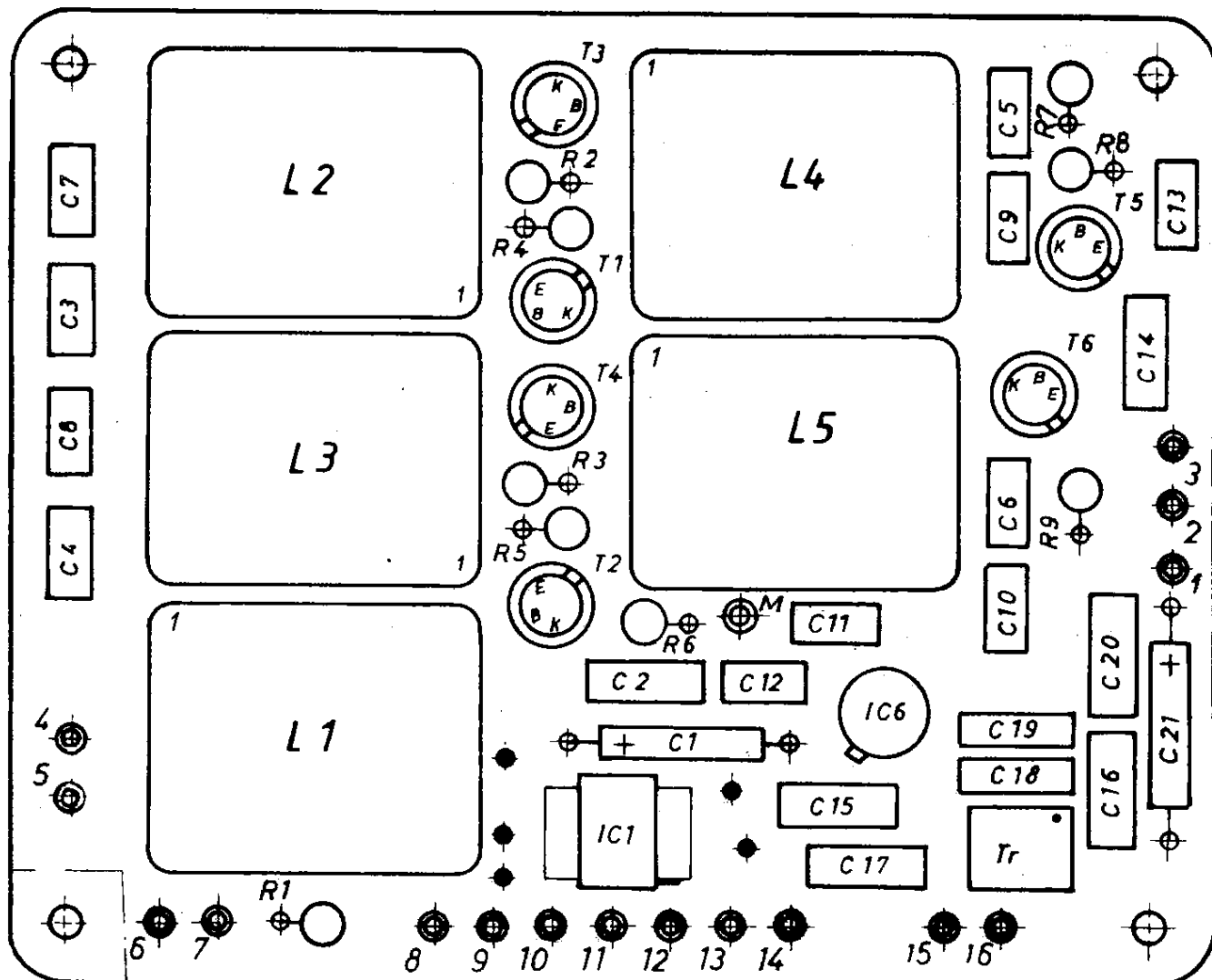
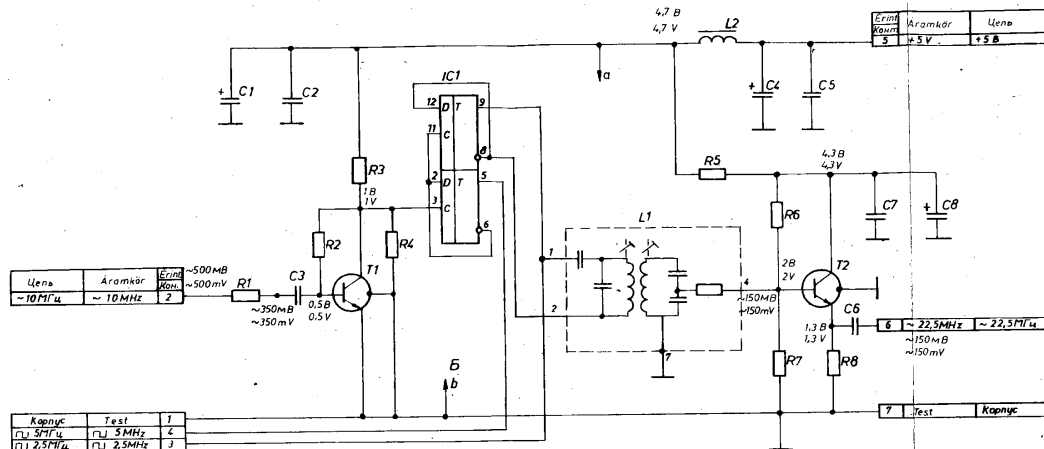


Схема электрическая принципиальная платы УМЧ
FrS elektromos elvi kapcsolási rajza

ПРИЛОЖЕНИЕ 39
39. MELLÉKLET



ПРИМЕЧАНИЯ:

- Контакт 14 микросхемы IC1 соединен с точкой "a" (+5,0 В).
- Контакт 7 микросхемы IC1 соединен с точкой "б" /корпус/.
- Напряжения, указанные на контрольных гнездах и элементах, даны для справок.

MEGJEGYZÉS:

- Az IC1 14. érintkezője összekötve az "a" ponttal (+5,0V).
- Az IC1 7. érintkezője összekötve a "б" ponttal (test).
- Az ellenőrzési pontokon feltüntetett leszultségek tüjekoztató jellegük.

Перечень элементов УМЧ

| Поз. обозн. | Наименование | Кол. | Примечание |
|----------------|---|------|----------------|
| L1 | Фильтр 42-067-621-00 ЯГ2.067.119 | 1 | |
| | Конденсаторы КМ ОЖО.460.043 ту | | |
| | Конденсаторы К53-4 ОЖО.464.037 ту | | |
| C1 | K53-4-15-15+20% | 1 | |
| C2 | KM-56-H90-0,1 мкФ +80% -20% | 1 | |
| C3 | KM-56-H30-0,047 мкФ +50% -20% | 1 | |
| C4 | K53-4-15-15+20% | 1 | |
| C5 | KM-56-H90-0,1 мкФ +80% -20% | 1 | |
| C6 | KM-56-H90-0,047 мкФ +80% -20% | 1 | |
| C7 | KM-56-H90-0,1 мкФ +80% -20% | 1 | |
| C8 | K53-4-6-4,7+20% | 1 | |
| IC1 | Микросхема 133ТМ2 Ге/И63.088.023 ту20 | 1 | |
| | Резисторы R534 RX-74.381/IMF-151-82 | | |
| R1 | R534 220 Ohm+2% | 1 | /0,125Вт+10%/- |
| R2 | R534 47 kOhm+2% | 1 | /0,125Вт+10%/- |
| R3, R4 | R534 2,2 kOhm+2% | 2 | /0,125Вт+10%/- |
| R5 | R534 100 Ohm+2% | 1 | /0,125Вт+10%/- |
| R6, R7 | R534 10 kOhm+2% | 2 | /0,125Вт+10%/- |
| R8 | R534 470 Ohm+2% | 1 | /0,125Вт+10%/- |
| T1, T2 | Транзистор 2T368А СБО.336.051 ту | 2 | |
| L2 | Дроссель высокочастотный ДМ-0,1-500 мкГн+5%-В ГИО.477.005 ту | 1 | |

Сборочный чертеж платы УМЧ

ПРИЛОЖЕНИЕ 41

41. MELLÉKLET

FrS panel összeszerelési rajza

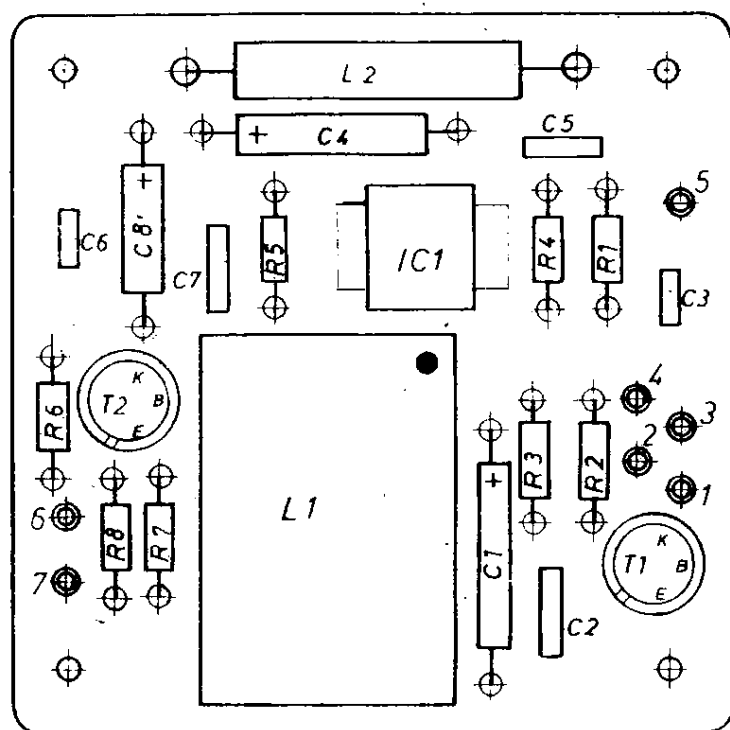
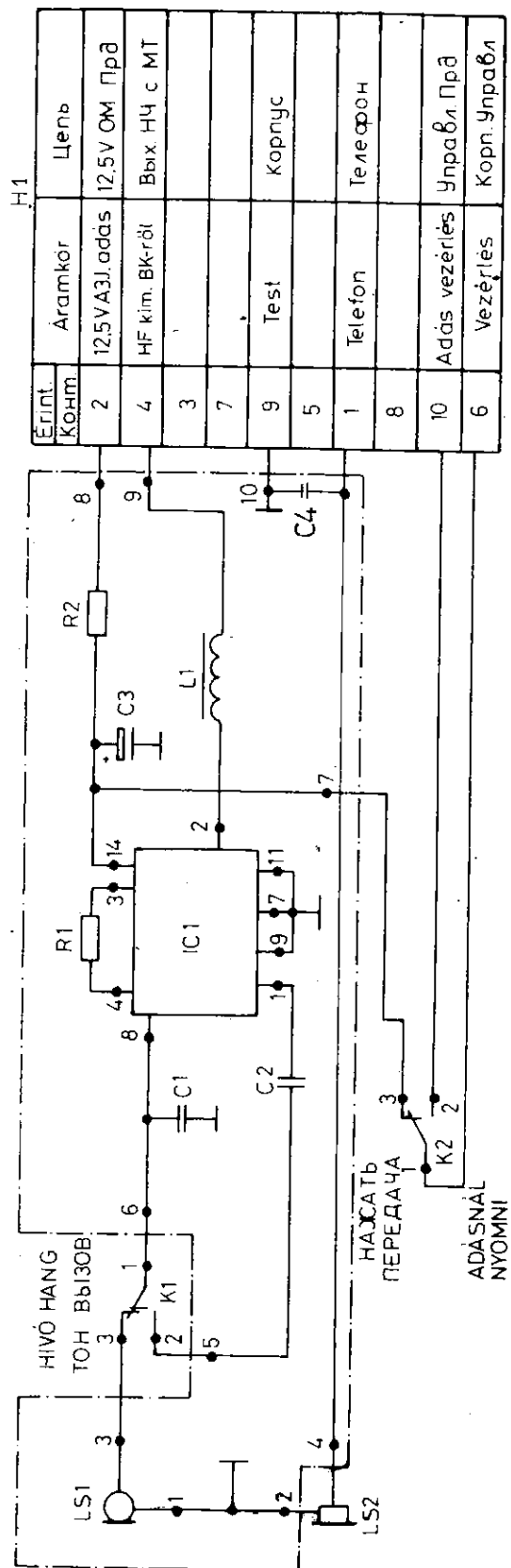


Схема электрическая принципиальная МТ

BK elektromos elvi kapcsolási rajza

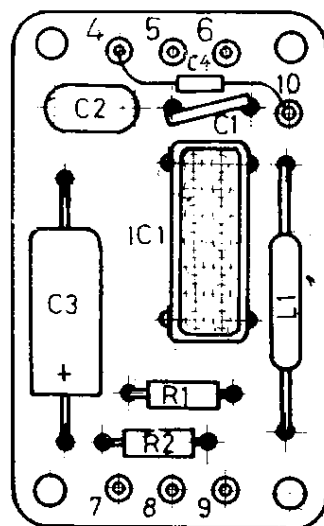


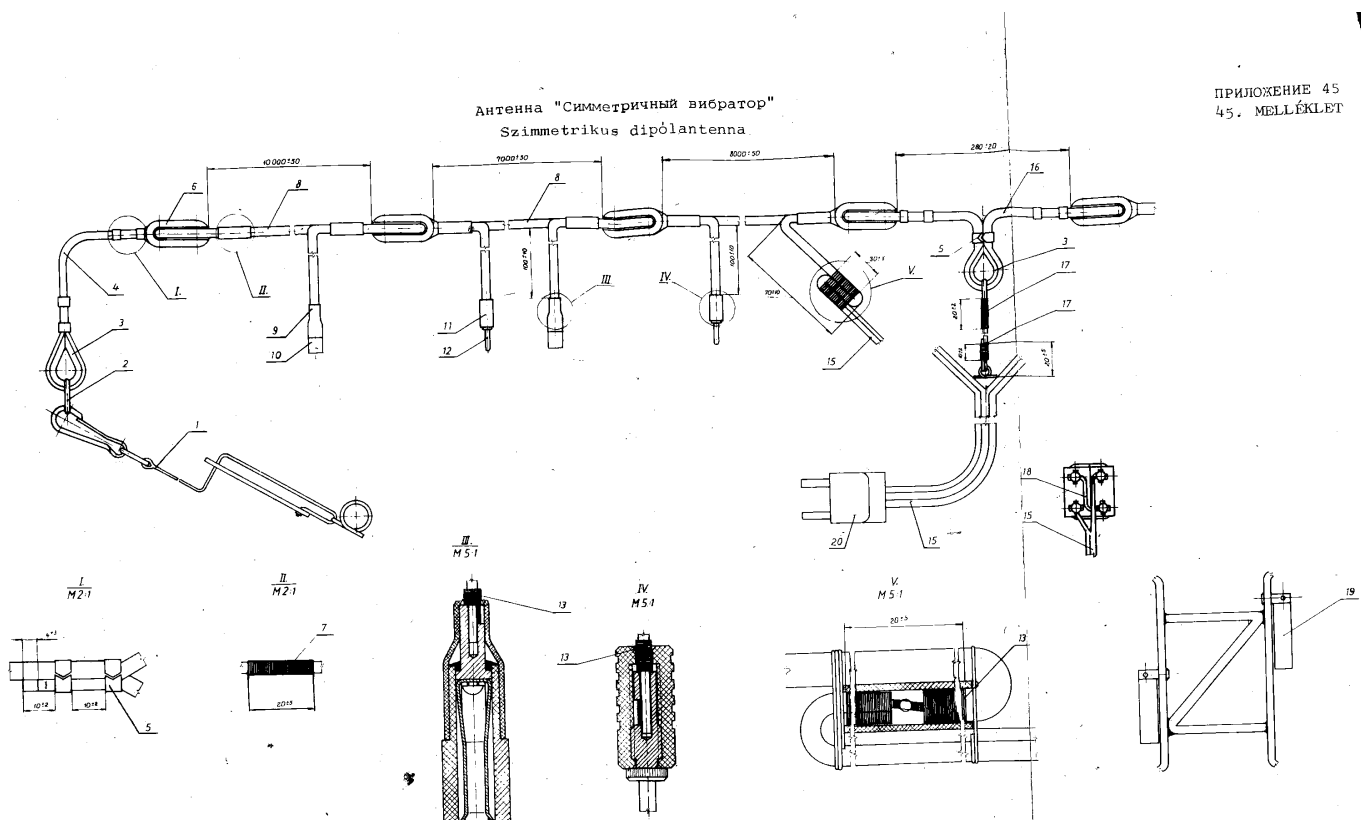
Перечень элементов МТ

| Поз. обозн. | Наименование | Кол. | Примечание |
|----------------|---|------|---------------------|
| IC1 | Микросхема 435УН1 бКО.347.009 ТУ | 1 | |
| LS1 | Микрофон ДЭМШ-1А РЛЗ.842.031 ТУ | 1 | |
| | Конденсаторы | | |
| C1 | КМ-5Б-Н30-0,033 мкФ $\frac{+50\%}{-20\%}$ ОЖО.460.043ТУ | 1 | |
| C2 | КМ-6А-М1500-0.01 мкФ $\pm 20\%$ ОЖО.460.061ТУ | 1 | |
| C3 | К53-4-20-47мкф $\pm 20\%$ ОЖО.464.037 ТУ | 1 | |
| L1 | Дроссель высокочастотный ДМ-0,1-200 мкГн $\pm 5\%$ ВГИО.477.005 ТУ | 1 | |
| | Резисторы R534 RX-74.381/1MF-151-82 | | |
| R1 | R534 100 Ohm $\pm 2\%$ | 1 | /0,125Вт $\pm 10\%$ |
| R2 | R534 1,6 kOhm $\pm 2\%$ | 1 | /0,125Вт $\pm 10\%$ |
| K1, K2 | Микропереключатель КМ-1-1 ОЖО.360.011ТУ | 2 | |
| LS2 | Телефоны головные ТГ-7М РЛЗ.844.008ТУ | 1 | |
| H1 | Розетка 2РМ22КПН10Г1В1 ГЕО.364.126ТУ | 1 | |
| C4 | КМ-5Б-Н30-0,047 мкФ $\frac{+50\%}{-20\%}$ ОЖО460.043 ТУ | 1 | |

Сборочный чертеж платы МТ
BK panel összeszerelési rajza

ПРИЛОЖЕНИЕ 44
44. MELLEKLET





ПРИМЕЧАНИЯ:

1 - оттяжка антенны; 2 - кольцо; 3 - коуш; 4 - шнур плетеный альянная L=340 мм; 5 - скоба; 6 - изолятор антенны; 7 - маты кручения катроновые ЭК сурьные; 8 - провод; 9 - колпачок; 10 - гнездо; 11 - корпус; 12 - штатив; 13 - нитки хлопчатобумажные глициевые черные; 14 - карданны; 15 - фидер; 16 - шнур плетеный альянной L=340 мм; 17 - леска; 18 - перемычка; 19 - держатель антенны; 20 - штекерсель.

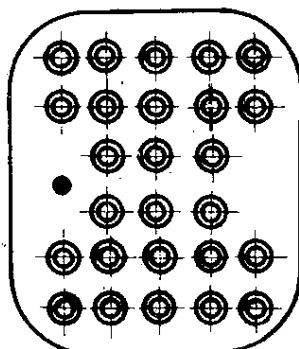
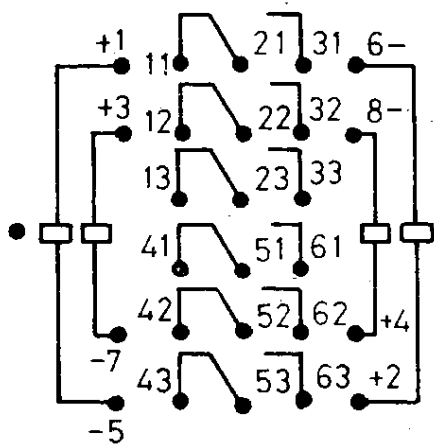
MEGJEGYZÉS:

1 - antenna feszíték, 2 - gyűrű, 3 - kotályszem, 4 - fonott zsinag l=340mm, 5 - biliucs, 6 - antenna szigetelő, 7 - lemezsínr, 8 - vezetők, 9 - védő gumicsö, 10 - csatlakozó, 11 - test, 12 - csap, 13 - medvecérna, 14 - rugós horog, 15 - antenna kábel, 16 - kötél l=340mm, 17 - damil, 18 - vezeték, 19 - antenna tartó, 20 - villás csatlakozó.

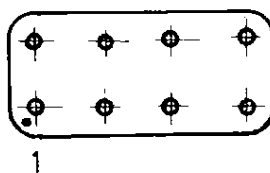
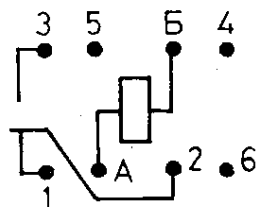
Цоколевка реле

ПРИЛОЖЕНИЕ 46
46. MELLÉKLET

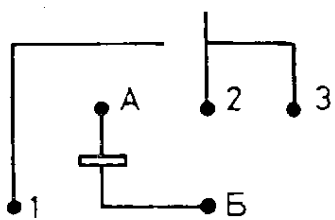
Реле „РПС 36Б РС4.520.267-01 ЯЛ0.452.078 ТУ“



Реле „РЭС 59А ХП0.450.002 ТУ ХП4.500.020-01“



Реле „РПВ 2/7 БГ0.452.000 ТУ РС4.521.952, РС4.521.959“



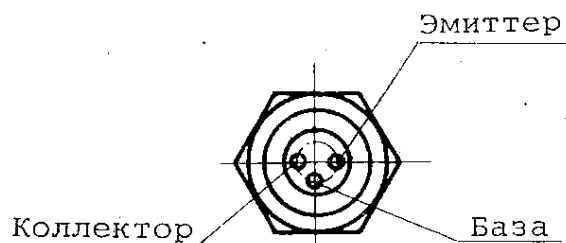
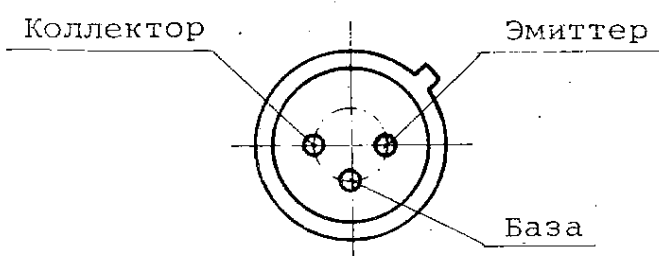
ПРИЛОЖЕНИЕ 47

47. MELLÉKLET

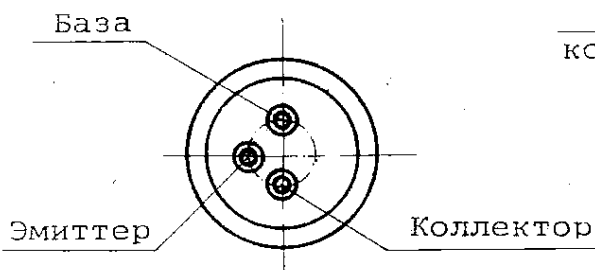
Цоколевка полупроводниковых приборов и микросхем

2T203Б, 2T201Б, 2T363A

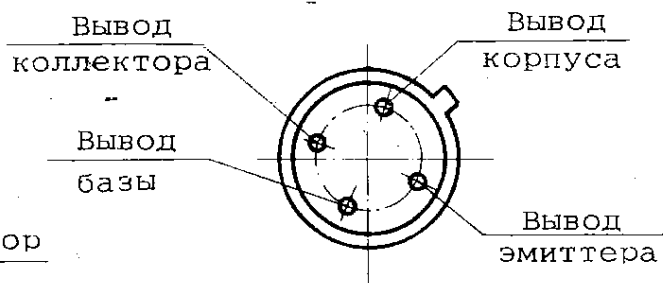
2T921A, 2T904A



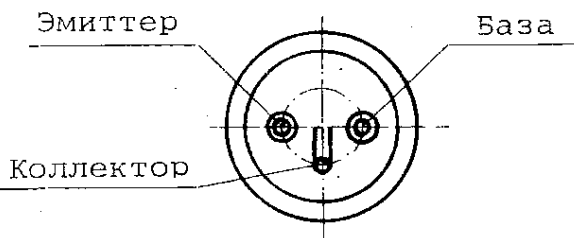
2T312Б



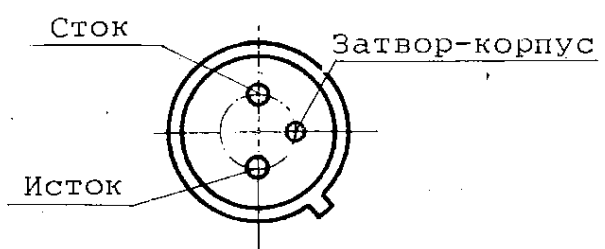
2T368A



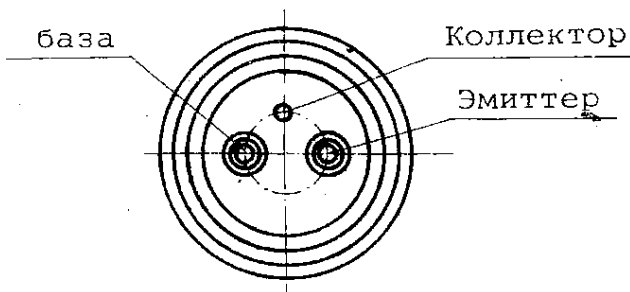
МП26Б



2П103Д

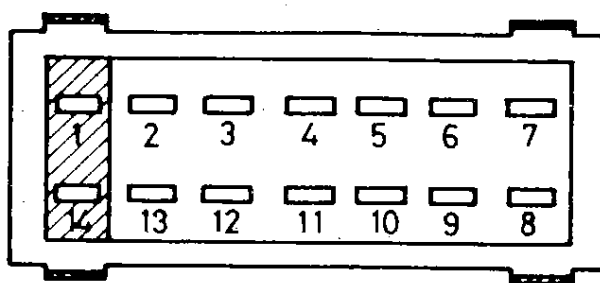


2T602Б



Микросхема 435УН1

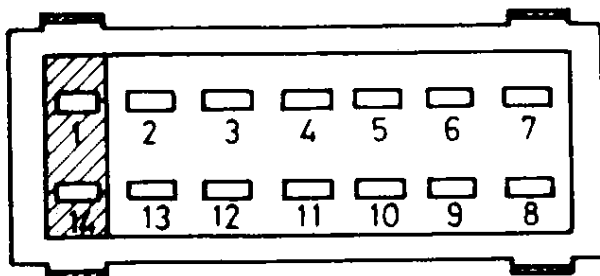
Функциональное назначение - универсальный симметричный усилитель



| Вывод | Назначение |
|-------|-----------------------------------|
| 1 | Выход эмит. второго повторителя |
| 2 | Выход эмит. первого повторителя |
| 3 | К внешней обратной связи |
| 4 | К внешней обратной связи |
| 5 | Вход дифференциального усилителя |
| 6 | Вход дифференциального усилителя |
| 7 | Корпус |
| 8 | Вход дифференциального усилителя |
| 9 | Вход дифференциального усилителя |
| 10 | Дополнительный резистор |
| 11 | Общий |
| 12 | Выход дифференциального усилителя |
| 13 | Выход дифференциального усилителя |
| 14 | Питание |

Микросхема 435 ХА1

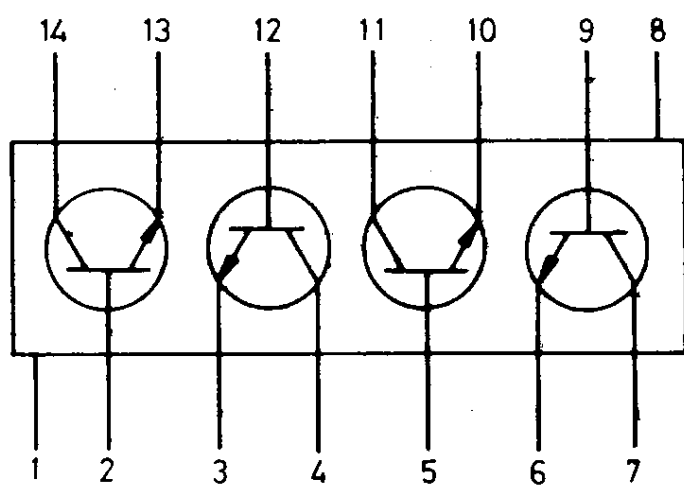
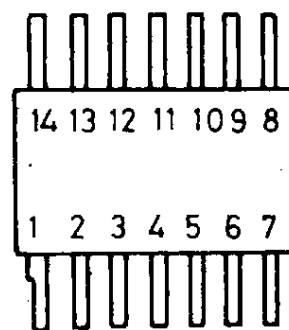
Функциональное назначение - двойной балансный смеситель



| Вывод | Назначение |
|-------|-----------------------------------|
| 1 | Напряжение питания смесителя |
| 2 | Выход на симметричную нагрузку |
| 3 | Выход на симметричную нагрузку |
| 4 | Подключение внешн. обратной связи |
| 5 | Дополнительный резистор |
| 6 | Подключение внешн. обратной связи |
| 7 | Корпус |
| 8 | Вход сигнальный |
| 9 | Вход сигнальный |
| 10 | Общий |
| 11 | Вход гетеродинный |
| 12 | Вход гетеродинный |
| 13 | Напряжение питания смесителя |
| 14 | Напряжение питания |

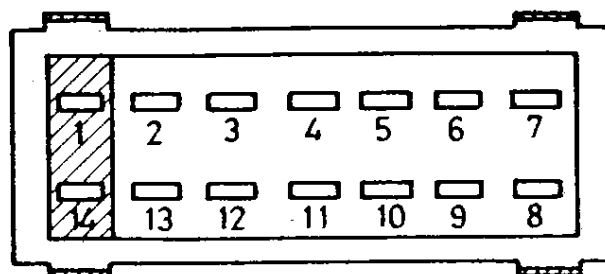
Микросхема 1НТ251

Функциональное назначение - транзисторная матрица



Микросхема 435ДА1

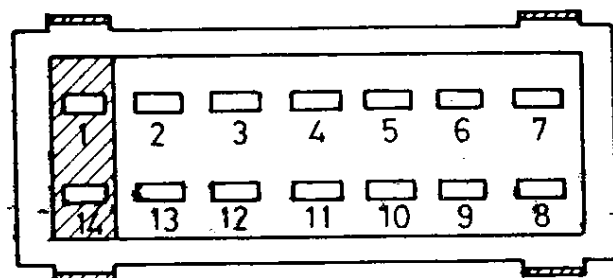
Функциональное назначение - детектор А1 сигналов и целей АРУ



| Выводы | Назначение |
|--------|---------------------------------|
| 1 | Выход АРУ |
| 2 | Выход НЧ |
| 3 | Вход дополнительного детектора |
| 4 | Выход дополнительного детектора |
| 5 | Выходы для ОС |
| 6 | Выходы для ОС |
| 7 | Корпус |
| 8 | Входы детектора |
| 9 | Входы детектора |
| 10 | Общий /Ин.п./ |
| 11 | Выходы детектора |
| 12 | Выходы детектора |
| 13 | Выходы детектора |
| 14 | Питания |

Микросхема 435ХП1

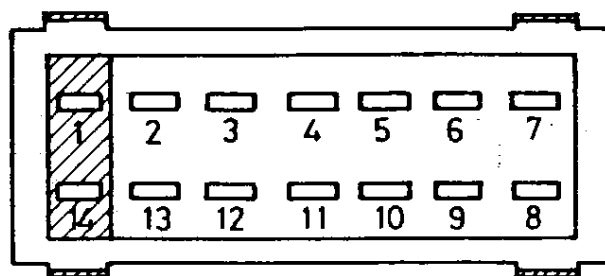
Функциональное назначение - универсальная ВЧ схема



| Вывод | Назначение |
|-------|----------------------|
| 1 | Вход |
| 2 | Общий |
| 3 | Дополнительный вывод |
| 4 | Выход с эмиттера |
| 5 | Подключение нагрузки |
| 6 | Подключение нагрузки |
| 7 | Корпус |
| 8 | Вход |
| 9 | Общий |
| 10 | Дополнительный вывод |
| 11 | Выход с эмиттера |
| 12 | Подключение нагрузки |
| 13 | Подключение нагрузки |
| 14 | Напряжение питания |

Микросхема 435УВ1

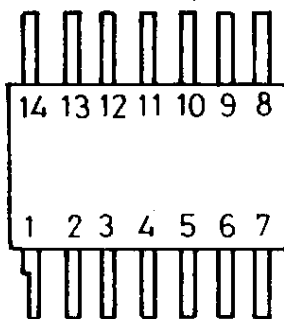
Функциональное назначение – усилитель ВЧ и ПЧ с АРУ



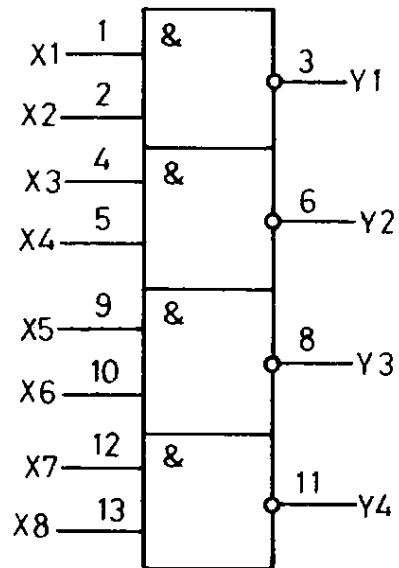
| Выход | Назначение |
|-------|-------------------------------------|
| 1 | Выход эмит. повторителя |
| 2 | Вход эмит. повторителя |
| 3 | Подключение нагрузки |
| 4 | Подключение нагрузки |
| 5 | Выход цепи питания |
| 6 | Вход дифференциального цепи питания |
| 7 | Корпус |
| 8 | Вход усилителя |
| 9 | Общий |
| 10 | Выход для цепи ОС |
| 11 | Выход для цепи ОС |
| 12 | Напряжение АРУ |
| 13 | — |
| 14 | Напряжение питания |

Микросхема 133ЛАЗ

Функциональное назначение - четыре логических элемента 2И-НЕ



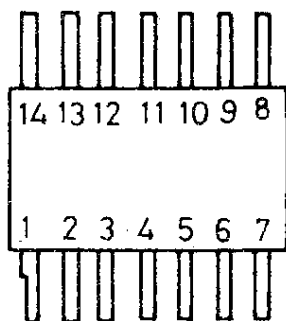
| Выход | Назначение |
|-------|------------|
| 1 | Вход X1 |
| 2 | Вход X2 |
| 3 | Выход Y1 |
| 4 | Вход X3 |
| 5 | Вход X4 |
| 6 | Выход Y2 |
| 7 | Общий |
| 8 | Выход Y3 |
| 9 | Вход X5 |
| 10 | Вход X6 |
| 11 | Выход Y4 |
| 12 | Вход X7 |
| 13 | Вход X8 |
| 14 | Питание |



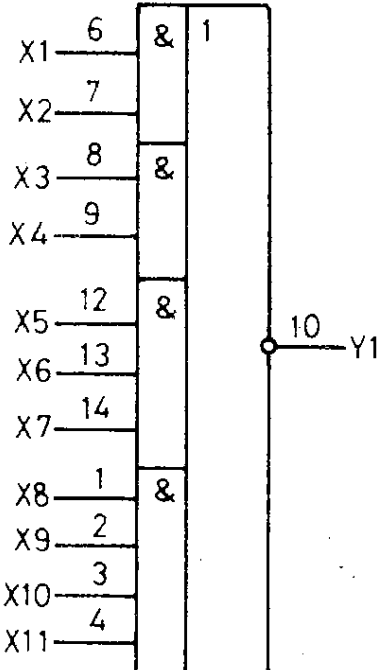
| |
|---|
| Напряжение питания 5+0,5В |
| Выходное напряжение лог. "0" не более 0,35В |
| Выходное напряжение лог. "1" не менее 2,4В |

Микросхема 134ЛР2А,Б

Функциональное назначение - логический элемент
2И-2И-ЗИ-4И-ИЛИ-НЕ



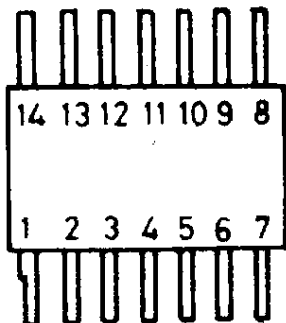
| Вывод | Назначение |
|-------|------------|
| 1 | Вход X8 |
| 2 | Вход X9 |
| 3 | Вход X10 |
| 4 | Питание |
| 5 | Вход X11 |
| 6 | Вход X1 |
| 7 | Вход X2 |
| 8 | Вход X3 |
| 9 | Вход X4 |
| 10 | Выход Y1 |
| 11 | Общий |
| 12 | Вход X5 |
| 13 | Вход X6 |
| 14 | Вход X7 |



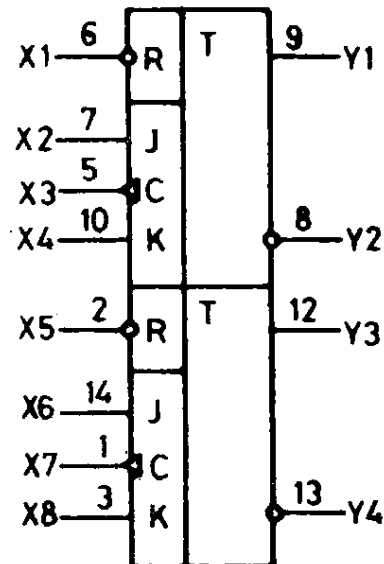
| |
|---|
| Напряжение питания 5+0,5В |
| Выходное напряжение лог. "0" не более 0,35В |
| Выходное напряжение лог. "1" не менее 2,4В |

Микросхема 134ТВ14

Функциональное назначение - двойной I-K-триггер



| Выход | Назначение |
|-------|-----------------------|
| 1 | Вход синхронизации X7 |
| 2 | Вход установки "0" X5 |
| 3 | Вход K-X8 |
| 4 | Питание |
| 5 | Вход синхронизации X3 |
| 6 | Вход установки "0" X4 |
| 7 | Вход I-X2 |
| 8 | Выход Q-Y2 |
| 9 | Выход Q-Y1 |
| 10 | Вход K-X4 |
| 11 | Общий |
| 12 | Выход Q-Y3 |
| 13 | Выход Q-Y4 |
| 14 | Вход I-X6 |



Напряжение питания 5±0,5В

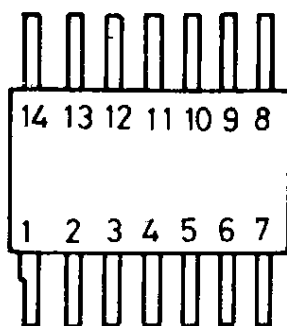
Выходное напряжение лог. "0" не более 0,3В

Выходное напряжение лог. "1" не менее 2,4В

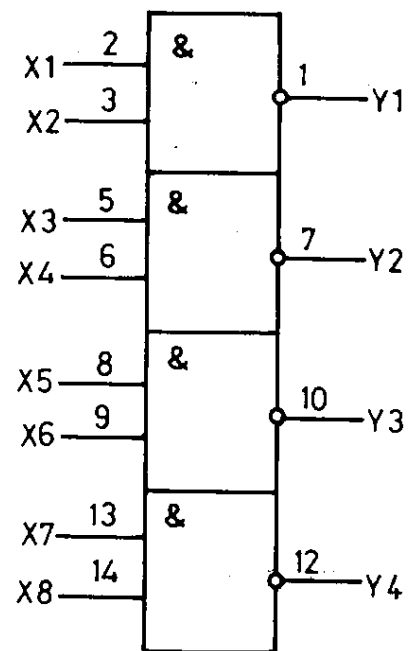
| Таблица истинности | | |
|--|---|---------------------------|
| Время до прихода синхроимпульса t_n | Время после прихода синхроимпульса t_n+1 | Выходы $y_1 / y_3 /$ |
| Входы X2/x6/ | Входы X4/x8/ | Выходы $y_1 / y_3 /$ |
| 0 | 0 | $y_1 / y_3 /$ |
| 1 | 0 | 1 |
| 0 | 1 | 0 |
| 1 | 1 | $\bar{y}_1 / \bar{y}_3 /$ |

Микросхема 134ЛБ1А, Б

Функциональное назначение - четыре логических элемента 2И-НЕ



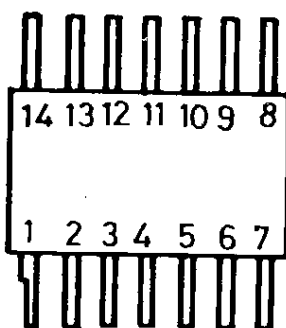
| Вывод | Назначение |
|-------|------------|
| 1 | Выход Y1 |
| 2 | Вход X1 |
| 3 | Вход X2 |
| 4 | Питание |
| 5 | Вход X3 |
| 6 | Вход X4 |
| 7 | Выход Y2 |
| 8 | Вход X5 |
| 9 | Вход X6 |
| 10 | Выход Y3 |
| 11 | Общий |
| 12 | Выход Y4 |
| 13 | Вход X7 |
| 14 | Вход X8 |



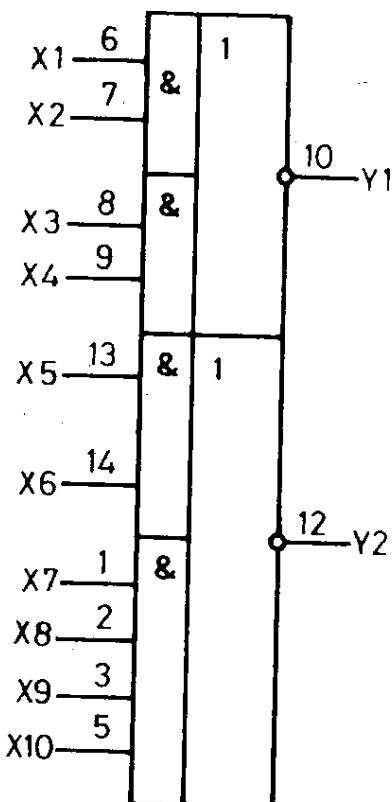
| |
|--|
| Напряжение питания 5+0,5В |
| Выходное напряжение лог. "0" не более 0,3В |
| Выходное напряжение лог. "1" не менее 2,4В |

Микросхема 134ЛБ2А, Б

Функциональное назначение - два логических элемента 4И-НЕ и
логический элемент НЕ



| Вывод | Назначение |
|-------|------------|
| 1 | Вход X7 |
| 2 | Вход X8 |
| 3 | Вход X9 |
| 4 | Питание |
| 5 | Вход X10 |
| 6 | Вход X1 |
| 7 | Вход X2 |
| 8 | Вход X3 |
| 9 | Вход X4 |
| 10 | Выход Y1 |
| 11 | Общий |
| 12 | Выход Y2 |
| 13 | Вход X5 |
| 14 | Вход X6 |



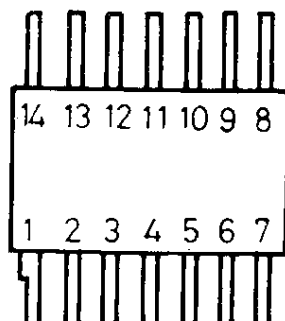
Напряжение питания 5±0,5В

Выходное напряжение лог.
"0" не более 0,3В

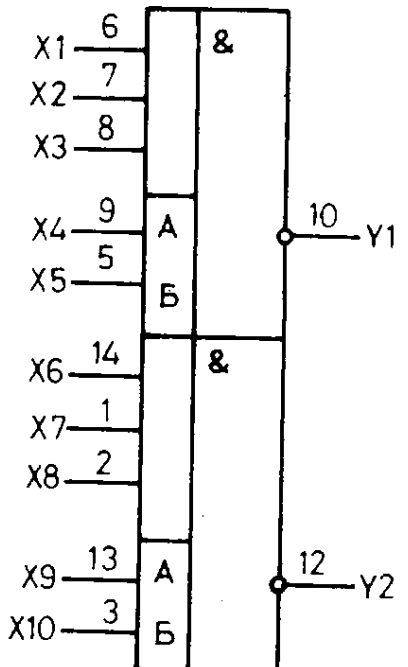
Выходное напряжение лог.
"1" не менее 2,4В

Микросхема 106ЛБ2

Функциональное назначение - два логических элемента ЗИ-НЕ с возможностью расширения по ИЛИ



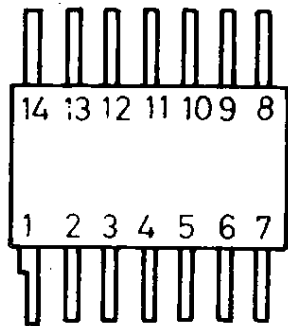
| Вывод | Назначение |
|-------|----------------------|
| 1 | Вход X7 |
| 2 | Вход X8 |
| 3 | Вход расширенный X10 |
| 4 | Питание |
| 5 | Вход расширенный X5 |
| 6 | Вход X14 |
| 7 | Вход X2 |
| 8 | Вход X3 |
| 9 | Вход расширенный X4 |
| 10 | Выход Y1 |
| 11 | Общий |
| 12 | Выход Y2 |
| 13 | Вход расширенный X6 |
| 14 | Вход X6 |



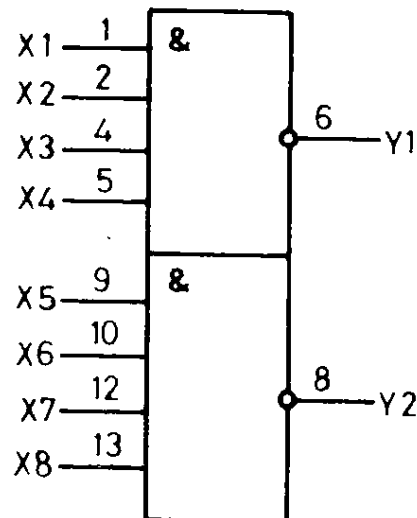
| |
|---|
| Напряжение питания 5+0,5В |
| Выходное напряжение лог. "0" не более 0,25В |
| Выходное напряжение лог. "1" не менее 2,3В |

Микросхема 133ЛА1

Функциональное назначение - два логических элемента 4И-НЕ



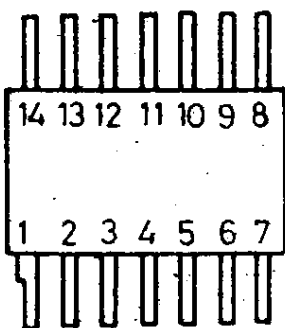
| Вывод | Назначение |
|-------|------------|
| 1 | Вход X1 |
| 2 | Вход X2 |
| 3 | — |
| 4 | Вход X3 |
| 5 | Вход X4 |
| 6 | Выход Y1 |
| 7 | Общий |
| 8 | Выход Y2 |
| 9 | Вход X5 |
| 10 | Вход X6 |
| 11 | — |
| 12 | Вход X7 |
| 13 | Вход X8 |
| 14 | Питание |



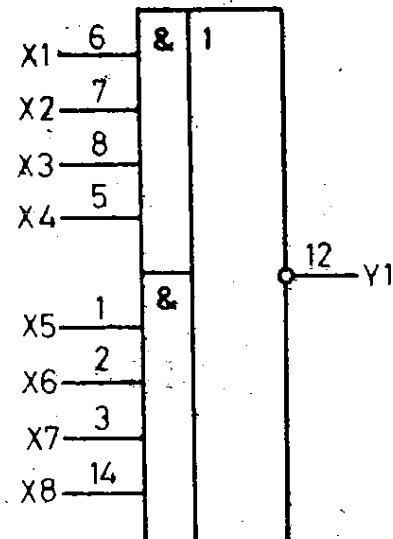
| |
|---|
| Напряжение питания 5+0,5В |
| Выходное напряжение лог. "0" не более 0,35В |
| Выходное напряжение лог. "1" не менее 2,4В |

Микросхема 134ЛР4А

Функциональное назначение - логический элемент
4И-4И-2ИЛИ-НЕ



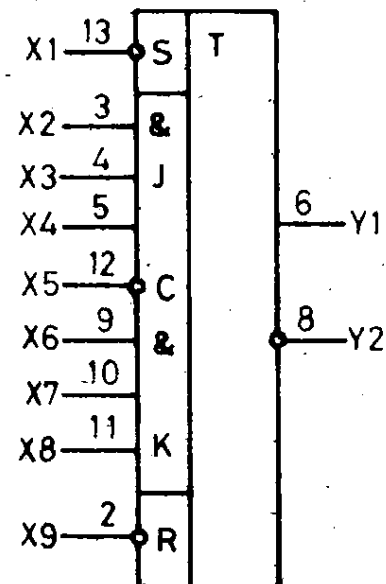
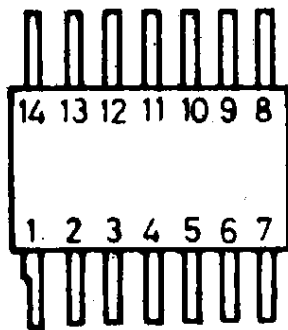
| Вывод | Назначение |
|-------|------------|
| 1 | Вход X5 |
| 2 | Вход X6 |
| 3 | Вход X7 |
| 4 | Питание |
| 5 | Вход X4 |
| 6 | Вход X1 |
| 7 | Вход X2 |
| 8 | Вход X3 |
| 9 | — |
| 10 | — |
| 11 | Общий |
| 12 | Выход Y1 |
| 13 | — |
| 14 | Вход X8 |



| |
|--|
| Напряжение питания 5 ₊ 0,5В |
| Выходное напряжение лог. "0" не более 0,3В |
| Выходное напряжение лог. "1" не менее 2,4В |

Микросхема 136ТВ1

Функциональное назначение - I-K-триггер



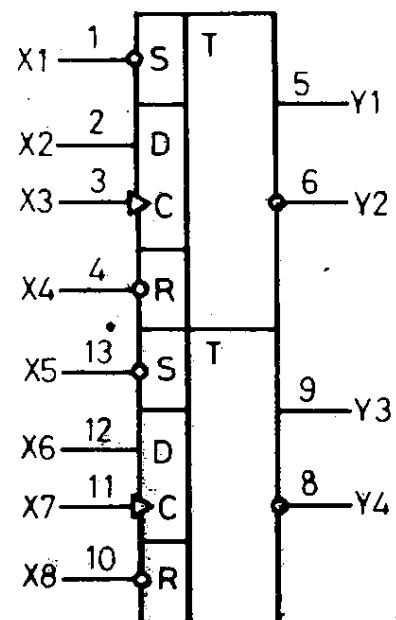
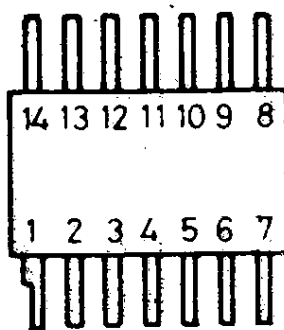
| Выход | Назначение |
|-------|-------------------------|
| 1 | - |
| 2 | Вход установки "0" - X9 |
| 3 | Вход I-X2 |
| 4 | Вход I-X3 |
| 5 | Вход I-X4 |
| 6 | Выход \bar{Q} -Y1 |
| 7 | Общий |
| 8 | Выход \bar{Q} -Y2 |
| 9 | Вход K-X6 |
| 10 | Вход K-X7 |
| 11 | Вход K-X8 |
| 12 | Вход синхронизации X5 |
| 13 | Вход установки "1" - X1 |
| 14 | Питание |

| |
|--|
| Напряжение питания $5 \pm 0,5$ В |
| Выходное напряжение лог. "0" не более 0,35 В |
| Выходное напряжение лог. "1" не менее 2,4 В |

| Таблица истинности | | |
|--|---|------------|
| Время до прихода синхроимпульса t_n | Время после прихода синхроимпульса t_{n+1} | |
| Вход X2, X3, X4 | Вход X6 X7 X8 | Y1 |
| 0 | 0 | Y1 |
| 1 | 0 | 1 |
| 0 | 1 | 0 |
| 1 | 1 | $\bar{Y}1$ |

Микросхема 133ТМ2

Функциональное назначение - два триггера типа Д



| Вывод | Назначение |
|-------|-------------------------|
| 1 | Вход установки "1" - X1 |
| 2 | Вход D-X2 |
| 3 | Вход синхронизации X3 |
| 4 | Вход установки "0" - X4 |
| 5 | Выход Q-Y1 |
| 6 | Выход Q-Y2 |
| 7 | Общий |
| 8 | Выход Q-Y4 |
| 9 | Выход Q-Y3 |
| 10 | Вход установки "0" - X8 |
| 11 | Вход синхронизации - X7 |
| 12 | Вход D-X6 |
| 13 | Вход установки "1" - X5 |
| 14 | Питание |

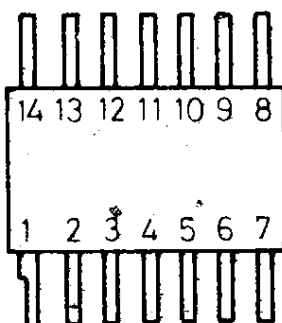
| |
|---|
| Напряжение питания 5+0,5В |
| Выходное напряжение лог. "0" не более 0,35В |
| Выходное напряжение лог. "1" не менее 2,4В |

| Таблица истинности | | | |
|---|---|---|---|
| Состояние входа до прихода синхроимпульса t_n | | Состояние выхода после прихода синхроимпульса $t_n + 1$ | |
| Вход D | Q | Q | Q |
| 0 | 0 | 0 | 1 |
| 1 | 1 | 1 | 0 |

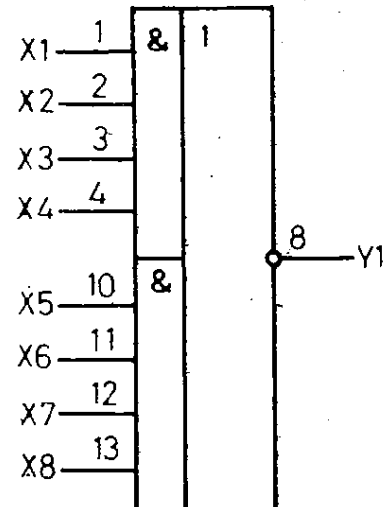
Микросхема 136ЛР4

Функциональное назначение - логический элемент

4И-4И-2ИЛИ-НЕ



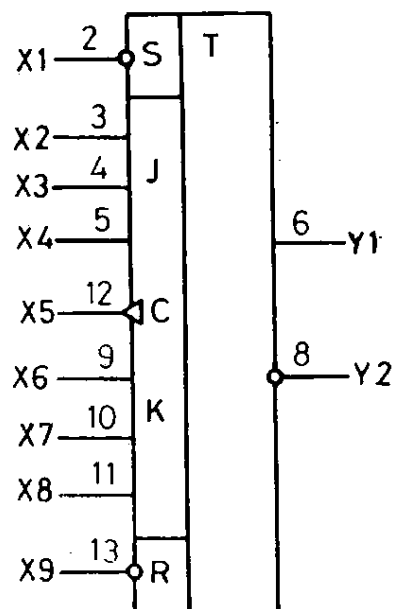
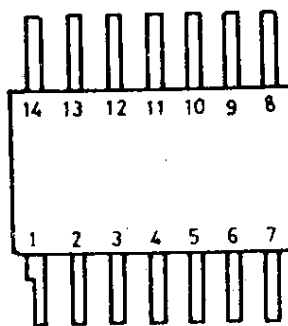
| Выход | Назначение |
|-------|------------|
| 1 | Вход X1 |
| 2 | Вход X2 |
| 3 | Вход X3 |
| 4 | Вход X4 |
| 5 | — |
| 6 | — |
| 7 | Общий |
| 8 | Выход Y1 |
| 9 | — |
| 10 | Вход X5 |
| 11 | Вход X6 |
| 13 | Вход X7 |
| 12 | Вход X8 |
| 14 | Питание |



| |
|---|
| Напряжение питания 5+0,5В |
| Выходное напряжение лог. "0" не более 0,3 В |
| Выходное напряжение лог. "1" не менее 2,4В |

Микросхема 133ТВ1

Функциональное назначение - триггер И-К с логической на входе ЗИ



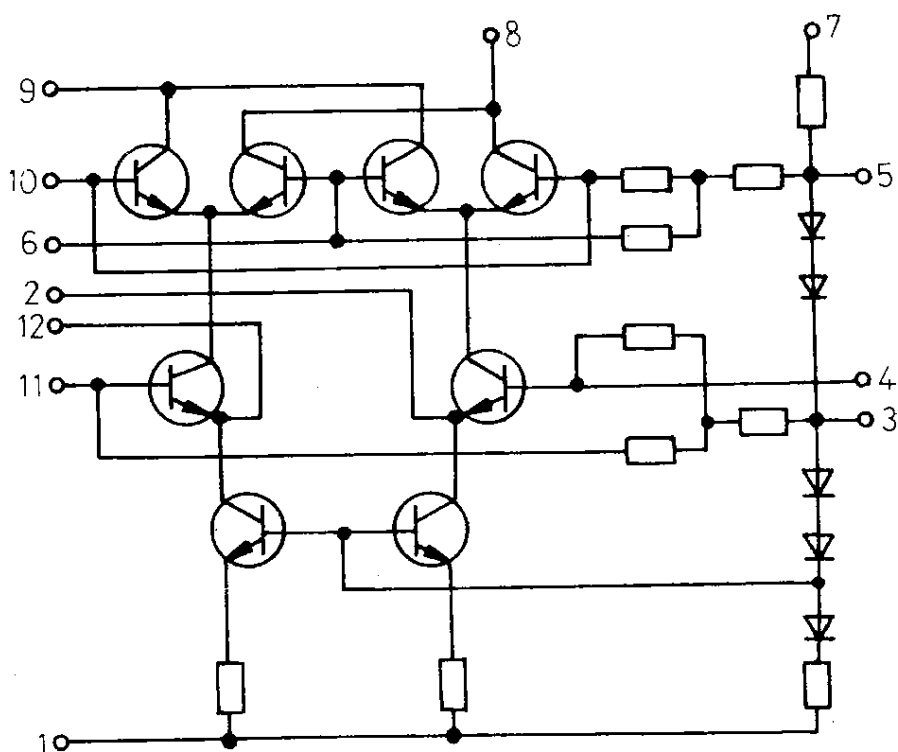
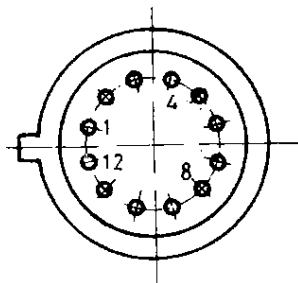
| Выход | Назначение |
|-------|-------------------------|
| 1 | — |
| 2 | Вход установки "1" - X1 |
| 3 | Вход И-X2 |
| 4 | Вход И-X3 |
| 5 | Вход И-X4 |
| 6 | Выход Q-Y1 |
| 7 | Общий |
| 8 | Выход Q-bar-Y2 |
| 9 | Вход К-X6 |
| 10 | Вход К-X7 |
| 11 | Вход К-X3 |
| 12 | Вход синхронизации X5 |
| 13 | Вход установки "0" X9 |
| 14 | Питание |

| |
|--|
| Напряжение питания 5+0,5В |
| Выходное напряжение лог. "0" не более 0,3В |
| Выходное напряжение лог. "1" не менее 2,4В |

| Таблица истинности | | |
|---------------------------------------|--|----|
| Время до прихода синхроимпульса t_n | Время после прихода синхроимпульса t_{n+1} | |
| Вход X2, X3, X4 | Вход X6, X7, X8 | Y1 |
| 0 | 0 | Y1 |
| 1 | 0 | 1 |
| 0 | 1 | 0 |
| 1 | 1 | Y1 |

Микросхема 526ПС1

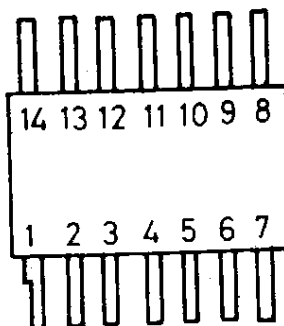
Функциональное назначение – двойной балансный смеситель



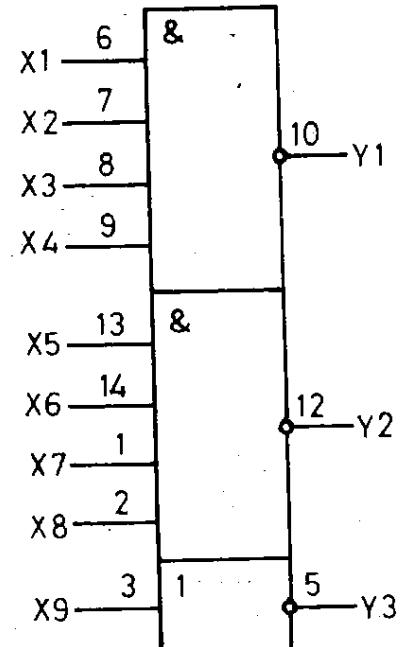
| Выводы | Назначение | Выводы | Назначение |
|--------|------------|--------|------------|
| 1 | Общий – | 7 | Питание |
| 2 | Выход | 8 | Выход |
| 3 | Выход | 9 | Выход |
| 4 | Вход | 10 | Вход |
| 5 | Выход | 11 | Вход |
| 6 | Вход | 12 | Выход |

Микросхема 134ЛР1А

Функциональное назначение - логический элемент
2И-2И-2ИЛИ и логический элемент 2И-4И-2ИЛИ-НЕ



| Вывод | Назначение |
|-------|------------|
| 1 | Вход X7 |
| 2 | Вход X8 |
| 3 | Вход X9 |
| 4 | Питание |
| 5 | Выход Y3 |
| 6 | Вход X1 |
| 7 | Вход X2 |
| 8 | Вход X3 |
| 9 | Вход X4 |
| 10 | Выход Y1 |
| 11 | Общий |
| 12 | Выход Y2 |
| 13 | Вход X5 |
| 14 | Вход X6 |



| |
|---|
| Напряжение питания 5±0,5В |
| Выходное напряжение лог. "0" не более 0,3 В |
| Выходное напряжение лог. "1" не менее 2,4В |

МАРКИРОВКА РЕЗИСТОРОВ, ИСПОЛЬЗУЕМЫХ
В УСТРОЙСТВЕ

МАРКИРОВКА РЕЗИСТОРОВ ПЯТИПОЛОСНОЙ
ЦВЕТНОЙ МЕТКОЙ

| ЦВЕТА | ПОЛОСА ЗНАЧЕНИЙ | | | КОЭФФИЦИЕНТ УМНОЖЕНИЯ Ом | |
|------------|--------------------|---|---|---------------------------------|-----------------|
| серебряный | 1 | 2 | 3 | $\times 10^{-2} = 10\text{ м}$ | Полоса допусков |
| золотой | | | | $\times 10^{-1} = 100\text{ м}$ | $\pm 1\%$ |
| черный | | 0 | 0 | $\times 10^0 = 1$ | |
| коричневый | | 1 | 1 | $\times 10^1 = 10$ | 1 |
| красный | 2 | 2 | 2 | $\times 10^2 = 100$ | 2 |
| оранжевый | 3 | 3 | 3 | $\times 10^3 = 1\text{ к}$ | |
| желтый | 4 | 4 | 4 | $\times 10^4 = 10\text{ к}$ | |
| зеленый | 5 | 5 | 5 | $\times 10^5 = 100\text{ к}$ | 0,5 |
| синий | 6 | 6 | 6 | $\times 10^6 = 1\text{ М}$ | 0,25 |
| фиолетовый | 7 | 7 | 7 | $\times 10^7 = 10\text{ М}$ | 0,1 |
| серый | 8 | 8 | 8 | $\times 10^8 = 100\text{ М}$ | |
| белый | 9 | 9 | 9 | $\times 10^9 = 1\text{ Г}$ | |



Например: Р534

красный-фиолетовый-желтый-красный-коричневый =
= 27400 = 27,4 кОм $\pm 1\%$

МАРКИРОВКА РЕЗИСТОРОВ ЧЕТЫРЕХПОЛОСНОЙ
ЦВЕТНОЙ МЕТКОЙ

